平成 19-20 年度 学内グラント報告書

乳癌の内分泌療法抵抗性獲得メカニズムの解明

研究代表者 池田 和博(埼玉医科大学 ゲノム医学研究センター) 分 担 者 井上 聡¹⁾, 佐伯 俊昭²⁾

はじめに

乳癌は近年増加傾向を示しており、わが国において は女性が罹る癌の中で最も頻度が高くなっている. 乳 癌の発症原因としては性ステロイドホルモンであるエ ストロゲンによる暴露が重要な危険因子として考え られている¹⁾. すなわち, 初潮年齢の低下, 初産年齢 の上昇, 出産児数の減少, 遅い閉経などが乳癌の発生 率を上昇させていると考えられている. 乳癌の多くは エストロゲン受容体(ER)を発現しており、エストロ ゲン依存性の増殖を示すことが知られている. ERは 細胞核内に存在するリガンド依存性の転写因子であ り、ゲノム中のエストロゲン応答配列 (ERE) に結合し てその近傍の標的遺伝子の発現量を直接制御するこ とによりエストロゲンの作用を媒介していると考え られている²⁾. 従って、ERとその機能を制御する関連 因子ならびにエストロゲン標的遺伝子の発現制御と 機能を明らかにすることは、乳癌の診断と治療に密接 に関わると考えられる. 現在、乳癌の内分泌療法とし て抗エストロゲン製剤であるタモキシフェンやアロ マターゼ阻害剤が臨床応用されており、効果を発揮し ている.しかしながら、これらの内分泌治療薬の長期 投与によって耐性を獲得する癌が生じることが問題と なっており、このような癌に対しては有効な治療方法 が存在しない.加えて、乳癌の中にはもともとERを発 現していないものも存在しており, 内分泌療法が奏効 しない症例も存在している. このような乳癌のエスト ロゲン非依存性の増殖機構、ならびに、エストロゲン 依存性から非依存性を獲得する過程におけるスイッ チングのメカニズムに関しては全く解明されていない 現状である.

乳癌の多くはエストロゲン受容体 (ER) およびプロゲステロン受容体 (PR) 陽性であり、エストロゲン応答性の増殖を示すことが知られている. ERとPRはリ

ガンド依存性の転写因子として機能する核内受容体 のメンバーであり、ヒトでは48種の核内受容体ファ ミリーが存在している. そのうち, ERとの相同性が 最も高いエストロゲン関連受容体 α (ERR α) は、乳 癌の55%で発現しており、予後不良のバイオマーカー として報告されている³. しかしながら、ERを除くそ の他の核内受容体の乳癌における作用はほとんど明 らかになっていない. また、核内受容体は、その他の 転写因子と相互作用し、複雑なネットワークを形成し ていると考えられている. 最近, フォークヘッド転写 因子(FOX)が、ERまたはアンドロゲン受容体(AR)と 結合し、 転写を調節することが明らかになり注目され ているが⁴, 乳癌におけるその転写ネットワークの解 明は十分ではない、本研究では、乳癌サンプルならび に内分泌療法抵抗性の乳癌細胞モデルを用いて、ER をはじめとする核内受容体およびそれらを制御する関 連因子の発現機能解析を行い、乳癌の内分泌療法抵抗 性獲得に関わる分子の解析を行った.

研究方法

乳癌の臨床サンプルを用いた解析は、国際医療センター乳腺腫瘍科との共同研究として行った.パラフィン包埋した乳癌組織を薄切後、定法に従って脱パラフィンと親水化を行った後、121 $^{\circ}$ $^{\circ}$ で10分間の抗原賦活化処理を行った.その後、抗ER α 抗体,抗ERR α 抗体をはじめとし、ERに関連する因子の抗体を用いて免疫染色を行い、ポリマー試薬法(Envision, DAKO社)で発色を行い、解析した.

ER α を発現し、エストロゲン応答能を有することが知られているMCF-7細胞を抗エストロゲン剤であるタモキシフェン (10^{-6} M)を含むDMEM 培地で2 ヶ月間継代培養することにより、タモキシフェン耐性株 (Tam-R)を複数樹立した。また、MCF-7細胞をフェノールレッドを含まないDMEM 培地にチャコール処理血清を添加した培地で4 ヶ月間培養することにより、エストロゲン枯渇耐性株 (Long Term Estrogen Deprived,

1) 埼玉医科大学 ゲノム医学研究センター 2) 埼玉医科大学 国際医療センター 乳腺腫瘍科 LTED)を複数樹立した.

Tam-R 細胞の細胞増殖速度の解析は生細胞数測定試薬 SF(ナカライテスク社)を用いて行った。4000 個の細胞を24 well-plateに播種してタモキシフェン存在下または非存在下で培養した。その後,24,72,120時間後にWST-8 試薬を10 μ l混合し,2 時間 37 $^{\circ}$ で培養した後,450 nmの吸光度を測定し,細胞増殖を評価した。また,Tam-R 細胞をウエスタンブロット用サンプルバッファーにて溶解し,SDS-PAGEを用いて分離後,抗ER α 抗体 (Cell Signaling Technology 社)を用いてウエスタンブロット解析を行い,ER タンパク質の発現量を定量化した。Tam-R 細胞およびLTED 細胞における遺伝子のmRNAの発現量は,これらの細胞より採取したRNAからcDNAを合成し,遺伝子特異的プライマーを用いた定量的 PCR 法 (ABI PRISM 7000,アプライドバイオシステムズ社) により解析を行った。

研究結果と考察

はじめに、内分泌療法を施行し臨床効果が評価で きる乳癌サンプルを用いて免疫染色を行い、ERなら びに関連因子の発現と臨床効果とに関連があるか解析 を行った. 本研究では、2004年11月から2007年7月 までに乳腺腫瘍科において浸潤性乳癌と診断され治療 を行った閉経後患者のうち、内分泌療法を施行し、臨 床効果が評価可能であった20例を用いた. これら20 症例は年齢:57~89歳(中央値77歳),病期: I~Ⅲ 期18症例, IV期2症例であり、ホルモン受容体の発現 はER陽性且つPR陽性が13症例, ER陽性でPR陰性が 7症例であった. 治療薬としてはアロマターゼ阻害剤 であるレトロゾール投与:2症例,アナストロゾール 投与:3症例, エキセメスタン投与:15症例であった. これらの症例においてERR α 陽性は12症例 (60%) で あったが、ERR αの発現と治療効果との相関には一 定の傾向は認められなかった. 今後さらに症例数を増 やして検討する必要があると考えられた.

MCF-7細胞をタモキシフェン存在下 (10^6M) で2ヶ月間継代培養することにより,タモキシフェン耐性株 (Tam-R)を18個樹立した.このうち6クローンについて,細胞増殖アッセイ (WST-8 aasay)とエストロゲン受容体などの発現量を解析し,基礎的な性状解析を行った.その結果,これらのタモキシフェン耐性株はMCF-7細胞に比較して,タモキシフェン耐性株はMCF-7細胞に比較して,タモキシフェン存在下においても細胞増殖速度が亢進していることが明らかになった.また,これらのタモキシフェン耐性株においてはER α タンパク質の発現がやや亢進している傾向がウエスタンブロット解析によって観察された.また,Tam-R株とMCF-7細胞におけるエストロゲン受容体を含めた核内受容体の発現変化ならびにエストロゲン応答性について定量的 PCR 法を用いて解析を行った.そ

の結果, $ER \alpha mRNA$ の発現およびエストロゲン応 答性は両者で大きく変化しなかった. 前述のウエス タンブロット解析においてはTam-R細胞で $ER \alpha$ タン パク質の発現量の亢進が観察されたことから、タン パク質レベルでの制御機構の関与が示唆された. 一 方, ER β mRNAの発現はTam-Rで上昇傾向が観察さ れた. また、その他の核内受容体においては、プロ ゲステロン受容体 (PR) の発現量がTam-R 株で低下し ている一方で、グルココルチコイド受容体 (GR) の発 現量が亢進していることなどが明らかとなり、複数の 核内受容体の発現変動が検出された. PRはエストロ ゲン受容体と同様に多くの乳がんで発現しており, 内 分泌療法施行の診断マーカーと考えられている. GR は乳がんの進行に伴い発現量が減少することが報告 されているほか、そのリガンドであるグルココルチコ イドは乳腺細胞に対してはアポトーシスを抑制する ことが知られている⁵. Tam-R細胞においてこれらの 核内受容体の発現変動が生じていることは、内分泌療 法抵抗性獲得との関係に関与している可能性が示唆 された. また、最近のゲノム研究から、Forkhead box (FOX) 転写因子群が核内受容体と相互作用してその 転写活性を調節することが判明し,注目されている⁴. 特に、FOXA1はERおよびアンドロゲン受容体(AR)と 結合してERの転写を促進する作用を有することが知 られている. Tam-Rにおいては、FOXA1の発現亢進 が観察された.

さらにMCF-7細胞をチャコール処理血清とフェノー ルレッド無添加培地で長期間培養することによりエス トロゲン枯渇耐性株 (LTED) を数クローン樹立した. これらのLTEDにおけるER α , ER β , FOXA1の発現 を解析したところ、ER βとFOXA1の発現はTam-Rの 場合と同様に親株であるMCF-7細胞より発現が上昇 していた. 一方, ER α の発現はTam-Rと異なる傾向 を示し、LTEDではER α の発現が増加していた. これ らの結果から、タモキシフェン耐性乳がんの細胞モデ ルとなるTam-Rならびにアロマターゼ阻害剤耐性モデ ルとなるLTEDの解析によって、ER α 、ER β 、PR、 GRの核内受容体ならびにそれらの活性を制御すると 想定されるFOX転写因子の発現変動が示されたこと は、核内受容体とFOX転写因子による遺伝子発現ネッ トワークが、乳癌細胞の治療薬抵抗性と密接に関連し ていることが示唆された.

おわりに

臨床サンプルおよび内分泌療法抵抗性の細胞モデルを用いた解析により、乳癌のエストロゲン応答性に関わる遺伝子がエストロゲン非依存性を獲得した際に発現変動を示すことを明らかにした。これらの解析は、乳癌が治療に対して抵抗性を獲得する際のスイッチング機構の解明をもたらし、内分泌療法に抵抗性を示す

乳癌の新たな診断や創薬に応用可能な分子標的へと展開できると考えられた.

研究成果リスト

論文

- 1. Takayama K, Kaneshiro K, Tsutsumi S, Horie-Inoue K, <u>Ikeda K</u>, Urano T, Ijichi N, Ouchi Y, Shirahige K, Aburatani H, <u>Inoue S</u>. Identification of novel androgen response genes in prostate cancer cells by coupling chromatin immunoprecipitation and genomic microarray analysis. Oncogene 2007;26:4453-63.
- Ijichi N, <u>Ikeda K</u>, Horie-Inoue K, Yagi K, Okazaki Y, <u>Inoue S</u>. Estrogen-related receptor α modulates the expression of adipogenesis-related genes during adipocyte differentiation. Biochem Biophys Res Commun 2007;358:813-8.
- Ichikawa T, Horie-Inoue K, <u>Ikeda K</u>, Blumberg B, <u>Inoue S</u>. Vitamin K2 induces phosphorylation of protein kinase A and expression of novel target genes in osteoblastic cells. J Mol Endocrinol 2007;39:239-47.
- Kubo M, Ijichi N, <u>Ikeda K</u>, Horie-Inoue K, Takeda S, <u>Inoue S</u>. Modulation of adipogenesis-related gene expression by estrogen-related receptor γ during adipocytic differentiation. Biochim Biophys Acta 2009;1789:71-7.
- Takayama K, Horie-Inoue K, <u>Ikeda K</u>, Urano T, Murakami K, Hayashizaki Y, Ouchi Y, <u>Inoue S</u>. FOXP1 is an androgen-responsive transcription factor that negatively regulates androgen receptor signaling in prostate cancer cells. Biochem Biophys Res Commun 2008;374:388-93.
- 6. Takayama K, Tsutsumi S, Suzuki T, Horie-Inoue K, <u>Ikeda K</u>, Kaneshiro K, Fujimura T, Kumagai J, Urano T, Sakaki Y, Shirahige K, Sasano H, Takahashi S, Kitamura T, Ouchi Y, Aburatani H, <u>Inoue S</u>. Amyloid precursor protein is a primary androgen target gene that promotes prostate cancer growth. Cancer Res 2009;69:137-42.
- 7. Takeo C, <u>Ikeda K</u>, Horie-Inoue K, <u>Inoue S</u>. Identification of Igf2, Igfbp2 and Enpp2 as Estrogen-Responsive Genes in Rat Hippocampus. Endocrine J 2009;56:113-20.

学会発表

1. <u>池田和博</u>, 池田秀利, 三谷幸之介, <u>井上聡</u> ウイルス抵抗性におけるTRIM5αとEfp (TRIM25) 遺伝子の共通もしくは特異的な作用メカニズム 第55回日本ウイルス学会 2007年10月21-23日 札幌市

- 2. 伊地知暢広,<u>池田和博</u>,堀江公仁子,<u>井上聡</u>脂肪細胞分化におけるエストロゲン関連受容体の機能的役割 第28回日本肥満学会 2007年10月19-20日 東京都
- 3. 竹尾愛理, <u>池田和博</u>, 菱沼俊樹, 堀江公仁子, <u>井上聡</u> ラット海馬におけるエストロゲン標的遺 伝子の解析 第15回日本ステロイドホルモン学会 2007年11月23-24日 仙台市
- 4. Nobuhiro Ijichi, Mayumi Kubo, <u>Kazuhiro Ikeda</u>, Kuniko Horie-Inoue, and <u>Satoshi Inoue</u>. Functional role of estrogen-related receptor family in adipocyte differentiation 第13回アディポサイエンス研究会シンポジウム 平成20年8月22日豊中市
- 5. Nobuhiro Ijichi, <u>Kazuhiro Ikeda</u>, Kayoko Murakami, Kuniko Horie-Inoue, Jun Kawai, Yoshihide Hayashizaki, <u>Satoshi Inoue</u>. Gene expression profiles of nuclear hormone receptors regulated by estrogen in human breast cancer MCF-7 cells The 26th Congress of the International Association for Breast Cancer Research September22-24, 2008, Kurashiki, Okayama, Japan
- 6. 窪麻由美, 伊地知暢広, <u>池田和博</u>, 堀江公仁子, 竹田省, <u>井上聡</u> 脂肪細胞分化モデルとマウス高脂肪食モデルを用いたエストロゲン関連受容体 ERR y の機能解析 第29回日本肥満学会 2008年 10月17-18日 大分市
- 7. <u>Kazuhiro Ikeda</u>, Nobuhiro Ijichi, Mayumi Kubo, Kuniko Horie-Inoue, <u>Satoshi Inoue</u>. Estrogenrelated receptors in fats and adipogenesis. CBI Annual Meeting 2008 International Symposium August 22-24, 2008 Tokyo
- 8. 伊地知暢広, <u>池田和博</u>, 堀江公仁子, <u>井上聡</u> EPAS1/HIF2 α はグルココルチコイドにより発現が誘導され, 骨芽細胞分化を抑制する 第16回 ステロイドホルモン学会 2008年11月22日福井市
- 9. 上山和也,<u>池田和博</u>,堀江公仁子,竹田省,<u>井上聡</u> エストロゲン応答遺伝子 Efp を標的とする二本鎖 核酸分子による乳癌・子宮癌細胞の増殖,腫瘍形 成抑制効果 第16回日本ステロイドホルモン学会 2008年11月22日 福井市
- 10. <u>池田和博</u>, 伊地知暢広, 村上佳代子, 堀江公仁子, 河合純, 林崎良英, <u>井上聡</u> 乳癌細胞 MCF7における核内受容体およびフォークヘッド転写因子のエストロゲンによる発現調節と機能 BMB2008 (第31回日本分子生物学会年会・第81回日本生化学会大会合同大会) 2008年12月9-12日 神戸市
- 11. <u>池田和博</u>, <u>井上聡</u> Glutamate receptor subunit 2D (Grin2d) 遺伝子の脳における発現制御と機能解析 遺伝情報 DECODE・冬のワークショップ (転写研究会共催) 2009年1月19-21日新潟県湯沢町

- 12. 池田和博, 上山和也, 堀江公仁子, 竹田省, <u>井上聡</u> ホルモン依存性がんの治療をめざしたエストロゲン応答遺伝子 Efpを標的とする二本鎖核酸分子の 開発 第9回関東ホルモンと癌研究会 2009年1月 24日 東京都
- 13. 伊地知暢広, <u>池田和博</u>, 堀江公仁子, <u>井上聡</u> ヒト 乳癌細胞におけるエストロゲン刺激による核内受 容体ならびにフォークヘッド転写因子の包括的 発現機能解析 第9回関東ホルモンと癌研究会 2009年1月24日 東京都

参考文献

 Huang WY, Newman B, Millikan RC, Schell MJ, Hulka BS, Moorman PG. Hormone-related Factors and Risk of Breast Cancer in Relation to Estrogen Receptor and Progesterone Receptor Status. Am J Epidemiol 2000;151:703-14.

- 2) Lone RO, Frith MC, Karlsson EK, HansenRosen U. Mol Endocrinol 2004;18:1859-75.
- 3) Suzuki T, Miki Y, Moriya T, Shimada N, Ishida T, Hirakawa H, Ohuchi N, Sasano H. Estrogen-related receptor alpha in human breast carcinoma as a potent prognostic factor. Cancer Res 2004;64:4670-6.
- 4) Carroll JS, Meyer CA, Song J, Li W, Geistlinger TR, Eeckhoute J, Brodsky AS, Keeton EK, Fertuck KC, Hall GF, Wang Q, Bekiranov S, Sementchenko V, Fox EA, Silver PA, Gingeras TR, Liu XS, Brown M. Genome-wide analysis of estrogen receptor binding sites. Nat Genet 2006;38:1289-97.
- 5) Wu W, Chaudhuri S, Brickley DR, Pang D, Karrison T, Conzen SD. Microarray analysis reveals glucocorticoid-regulated survival genes that are associated with inhibition of apoptosis in breast epithelial cells. Cancer Res 2004;64:1757-64.

http://www.saitama-med.ac.jp/jsms/

平成19年度 学内グラント報告書

悪性リンパ腫の新規予後因子 nm23 に対する 分子標的治療法の開発

研究代表者 新津 望(埼玉医科大学 国際医療センター 血液内科)

緒言

悪性リンパ腫の治療成績は向上し、Hodgkinリンパ 腫では約80%の症例で治癒可能となってきた. そのた め、不妊や二次性発癌といった晩期有害事象の発現 をおさえるための治療法が選択されており、また、抗 CD30 抗体などの分子標的治療の開発が盛んに行なわ れている.一方、非ホジキンリンパ腫はWHO分類に より40種類以上に細分類されており、近年各々の病 型に対する病型特異的治療が行なわれ、治療成績の改 善が見られている. 現在は、B細胞性リンパ腫に対し ては抗CD20抗体であるrituximabの臨床応用により治 療成績は改善したが、それでも約30%の症例では再 発あるいは治療抵抗性を認め、高用量化学療法を併用 した末梢血幹細胞移植、同種骨髄移植、ミニ移植など が必要となっている. また, リンパ腫患者は年々増加 し、全腫瘍死亡率の第6-7位を占め、白血病の3倍の発 生頻度とも言われている. また, 高齢化社会を反映し てリンパ腫患者の年齢中央値は60-65歳と言われ、高 齢者に対する有害事象の少なく、より効果のある分子 標的治療法の開発は急務である. 近年腫瘍細胞の生物 学的特性に基づく予後因子が明らかにされ、それに よる予後の判定が行われ、個々の患者に最適と考えら れる治療方法の選択が行われつつある. また、DNAマ イクロアレーを用いた予後因子の検討が行われている が、DNA マイクロアレーは、高価であり、検査に時 間がかかるため、治療前に行うことは難しく、臨床応 用にはまだ時間がかかり、治療前に簡便に使用できる 予後因子が臨床の場では重要である. また, 分子標的 療法による予後因子は一般的な化学療法による予後因 子と異なる可能性が考えられる.

nm23 遺伝子は、高転移性がん細胞において低い発現を示す転移抑制遺伝子として単離され、ヌクレオシドニリン酸キナーゼ活性及び白血病の分化誘導抑制因子活性などを示す多機能性蛋白である。nm23-H1

およびnm23-H2は88%のアミノ酸配列にホモロジー を持ち、これらは17g21染色体上に認められる. 我々 は、以前埼玉がんセンター研究所との共同研究で急 性骨髄性白血病においてnm23-H1 mRNA 発現レベル が高い程有意に予後不良であることを報告してきた. しかし、nm23-H1のmRNAレベルでの発現を検討 することは時間および手間がかかり、治療開始前に 予後予測し治療方法を検討することは難しい. 特に リンパ腫では、リンパ節およびリンパ組織の再生検 をすることは患者さんへの侵襲も大きく, ほとんど 不可能である. そのため、我々は簡単に測定できる血 清でのnm23の測定が可能かどうかを検討し、血中に nm23-H1蛋白が検出されることを見出し、少量の血清 を短時間で定量的に測定できる系をELISA法で作成 し報告してきた¹⁾. その結果, 急性骨髄性白血病およ び悪性リンパ腫患者で正常対照に比し高値を示し、新 しい優れた予後不良因子となることを明らかにし報 告した^{2,3)}. その後、血清 nm23-H1 は indolent リンパ腫 およびNK/T細胞性リンパ腫に対しても単独で有意な 独立した予後因子であることを報告した4,5,また、細 胞表面および細胞質内 nm23についても検討し、血清 nm23-H1とそれぞれが相関することを見いだした^{6,7)}. また、再発例に対する予後因子になるかどうかも検討 し、再発あるいは難治性高齢者T細胞性リンパ腫にお ける予後不良因子であることを報告した8,9 . 非ホジ キンリンパ腫は節外性に発症することが約半数あり, それぞれの節外臓器によって予後が異なることより. 臓器別の予後因子として細胞質内 nm23を検討し、甲 状腺では非胚中心型とは独立した予後不良因子になる ことを見いだした¹⁰⁾.しかし,いまだ悪性リンパ腫に おけるnm23-H1の機能については不明な点が多い. そのため、今回は分子標的治療の標的分子の同定と して、Hodgkinリンパ腫の病型別のnm23の発現と予 後、および血清nm23値と細胞質内nm23の発現との相 関について検討した.

28 新津 望

対象および方法

対象は、Hodgkinリンパ腫 133 例 (うち結節性リンパ球優位型 Hodgkinリンパ腫 5 例、古典的 Hodgkinリンパ腫 128 例)であり、パラフィン切片に対する免疫組織化学染色 (CD3, CD15, CD20, CD30, Ki-67, TIA-1, nm23-H1)を行った。Hodgkin-Reed-Sternberg細胞 30 個の染色態度を検討し、20 個以上染色されている症例を陽性とした。また、血清 nm23-H1 は我々が確立したELISA法により測定した^{1,2)}.

結 果

1) nm23-H1の免疫組織化学染色の結果

図1に示すように反応性リンパ節では、リンパ濾胞の胚中心領域、濾胞間領域、および髄索に着色がみられた。弱拡大では胚中心の中心芽細胞、濾胞間領域の大型リンパ球、および髄索の形質細胞にnm23-H1 発現がみられ、マントル領域の細胞は陰性であった。一方、Hodgkinリンパ腫ではReed-Sternberg細胞およびHodgkin細胞に発現を認めた。表1に結節硬化型(NS)、混合細胞型(MC)、結節性リンパ球優位型Hodgkinリンパ腫(NLP)の各病型のCD15、CD30、CD20、Ki-67、EBER、TIA-1、nm23-H1の染色結果を示す。EBERはMCで有意に陽性率が高く、一方nm23-H1はMCでの陽性率が低かった。

2) nm23-H1と臨床的特徴との関係(表2)

nm23-H1 発現は、International prognostic score (IPS)の因子が4つ以上 (p=0.003)、bulky mass 有り (p=0.005)、B 症状あり (p=0.006)で有意に高率であった。しかし、年齢、性別、血清 LDH 値、病期、

白血球数,血清アルブミン値,へモグロビン値とは相関を認めなかった.また,nm23-H1陽性例の完全奏功 (CR) 割合は57.3%であり,陰性例に比し有意に低率であった (p<0.019).

3) 血清 nm23-H1と細胞質内 nm23-H1の検討

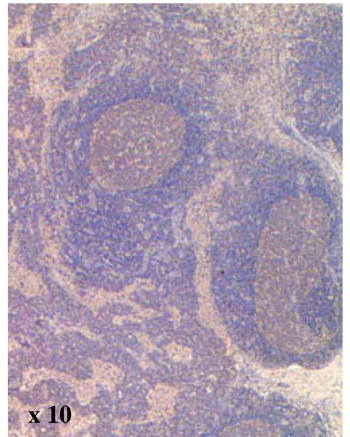
細胞質内 nm23-H1 発現が陽性であった 77 例の血清 nm23-H1 値は 56.24 ± 27.52 ng/ml ($mean\pm SD$) であったが、細胞質内 nm23-H1 発現が陰性であった 51 例では血清 nm23-H1 は 22.56 ± 15.45 ng/ml であり、細胞質内 nm23 陽性例で有意に高値であった (p=0.0005) (図 2). この結果から、血清 nm23-H1 は リンパ腫細胞から直接産生されている可能性が示唆された.

4) nm23-H1と予後

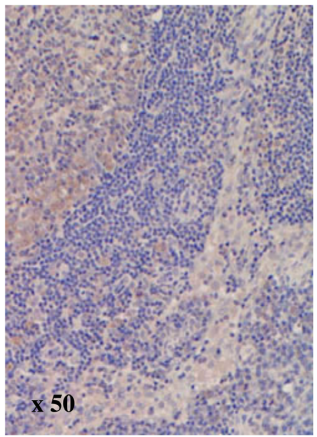
128 例全症例の5 年生存割合は85.1%,5年無増 悪進行割合は77.6%であった.MCとNSで有意差 を認めなかったが,TIA-1陽性例の5 年無増悪生存 割合は41.7%,陰性例のそれは83%と有意差を認 めた(図3).全症例に対する細胞質内nm23陽性例 と陰性例の検討では、陽性例の5 年無増悪生存割合 は63.4%,陰性例は93.8%であった.また,MCに 限って検討したが、陽性例の5 年無増悪生存割合は 36.1%,陰性例は88.1%であった.(図4)同様にNS に関して検討したが、nm23 陽性例 68.4%,陰性例 86.1%であった.

血清 nm23-H1に対する検討では, nm23-H1 が80 ng/ml以上の31 例の5 年無増悪生存割合は49.8%, 80 ng/ml未満の97 例では94.1%と有意に血清 nm23-H1が高値例で予後不良であった (p=0.0001). EBV 陽性例と陰性例では生存期間に有意差を認めなかった.

反応性

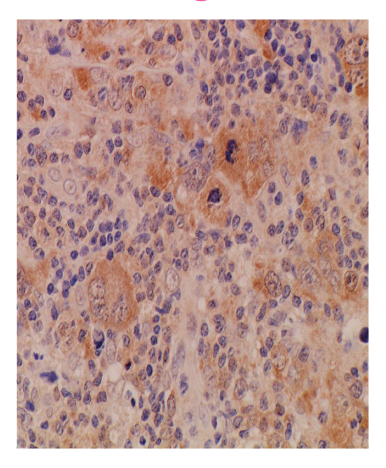


リンパ濾胞の胚中心領域,濾胞間 は、および髄索に着色がみられ ス



胚中心の中心芽細胞,濾胞間領域の大型リンパ球,および髄索の形質細胞にnm23-H1 発現がみられる。マントル領域の細胞は陰性で

Hodgkin



Reed-Sternberg細胞およびHodgkin 細胞に発現を認める.

図 1. nm23-H1 immunostaining.

表 1. Immunohistochemistry of Hodgkin Lymphoma

	NS (n=87)	MC (n=41)	NLP(n=5)	P-Value
CD15	69(79%)	32(78%)	0(0%)	0.87
CD30	85 (98%)	40(98%)	0(0%)	0.96
CD20	9 (10%)	5(12%)	5 (100%)	0.75
Ki-67	81(93%)	38(93%)	4 (80%)	0.93
EBER	16 (18%)	28(68%)	0(0%)	<0.001
TIA-1	9 (10%)	5 (12%)	0(0%)	0.75
nm23-H1	64 (78%)	13(32%)	3(60%)	<0.001

NS; Nodular sclerosis, MC; Mixed cellularity, NLP; Nodular lymphocyte-predominant , p; Fisher's extact probability, NS vs.MC

表 2. nm23-H1 Levels and Clinicopathological Factors

Гол		No. of	nm23-H1	P-Value	
Factors		Patients(n=128)	Positive (n=77)	r-value	
Age (yr) ≧	≟ 45	67	40 (59.7%)	N.S.	
<	45	61	37 (60.7%)		
Gender M	ale	84	53 (63.1%)	N.S.	
Fen	nale	44	24 (54.5%)		
Serum LDH leve	I				
No	rmal	56	36 (64.2%)	N.S.	
> N	ormal	72	41 (56.9%)		
Ann Arbor stage	•				
Ī	–III	104	61 (58.7%)	N.S	
1	V	24	16 (66.7%)		
WBC counts ≧	15,000/µi	31	17 (54.8%)	N.S.	
<	: 15,000/µl	97	60 (59.4%)		
Serum albumin I	evel > 4g/dl	92	54 (58.7%)	N.S.	
	"4g/dl	36	23 (63.9%)		
Hemoglobin leve	el > 10.5 g/dl	113	67 (59.3%)	N.S.	
	"10.5g/dl	19	11 (57.9%)		
International pro	gnostic score				
	0-3	107	61 (57%)	0.003	
	≧ 4	21	16 (76.2%)		
Bulky mass	Absent	101	58 (55.2%)	0.005	
	Preset	27	20 (74.1%)		
B symptoms	Absent	77	40 (51.9%)	0.006	
	Present	51	37 (72.5%)		
Therapeutic resp	onse CR	117	67 (57.3%)	0.019	
	Non-CR	11	10 (90.1%)		

Abbreviations : CR; complete remission, Mann-Whitney U-test

5) 単変量解析および多変量解析

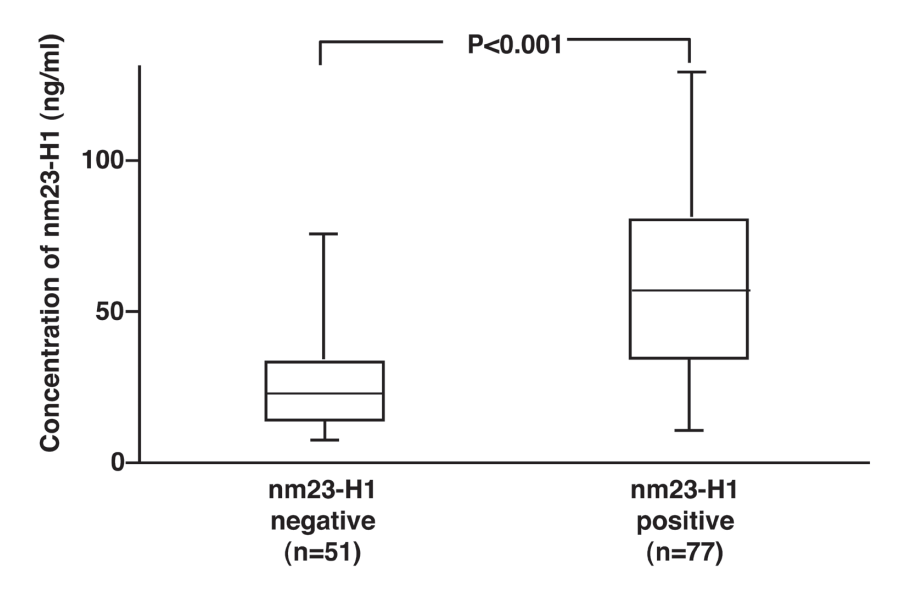
無増悪生存に対する予後不良因子は,病期 IV, performance status 2以上,貧血,アルブミン低下,45歳以上,TIA-1発現,nm23-H1発現であった.また,有意な予後因子に対する多変量解析の結果ではTIA-1 (hazards ratio,5.09,95% CI,1.85 to 7.25;p=0.0001)と nm23-H1 発現 (Hazards ratio,3.31,95% CI,1.23 to 5.87; p=0.0032)が独立した予後因子となった.

考察

nm23 遺伝子は、1988年 Steegら¹¹⁾によりマウスメラノーマ細胞株において、低転移性株で発現が高く、高転移性株において逆にその発現が低下している遺伝

子として単離され、がん転移抑制遺伝子として報告された。その後この遺伝子産物はnucleoside diphosphate kinase (NDPK)活性を有し、増殖促進、分化抑制、転写調節、c-myc 転写活性 (PuF)、ショウジョウバエの形態形成 (awd 遺伝子)、接着分子などの機能があることが判明した。また、nm23-H1の高発現が、肺癌、黒色種、卵巣がん、口腔がん、直腸がんなどの11種類のがんで転移が抑制されることが知られている。これらの機序として、nm23-H1が過剰発現によりインスリン様成長因子 (IGF)、血小板由来成長因子 (PDGF)、リゾフォスファチジル酸 (LPA)を含む血清由来の化学遊走物質ががん細胞の細胞運動能を無効にして、転移と浸潤を減らすと考えられている¹²⁾。また、*in vitro*ではnm23-H1は乳癌、結腸がん、前立腺がんなどのコ

30 新津 望



☑ 2. Relationship between the Serum nm23-H1 Level and Cytoplasimic nm23-H1 Expression.

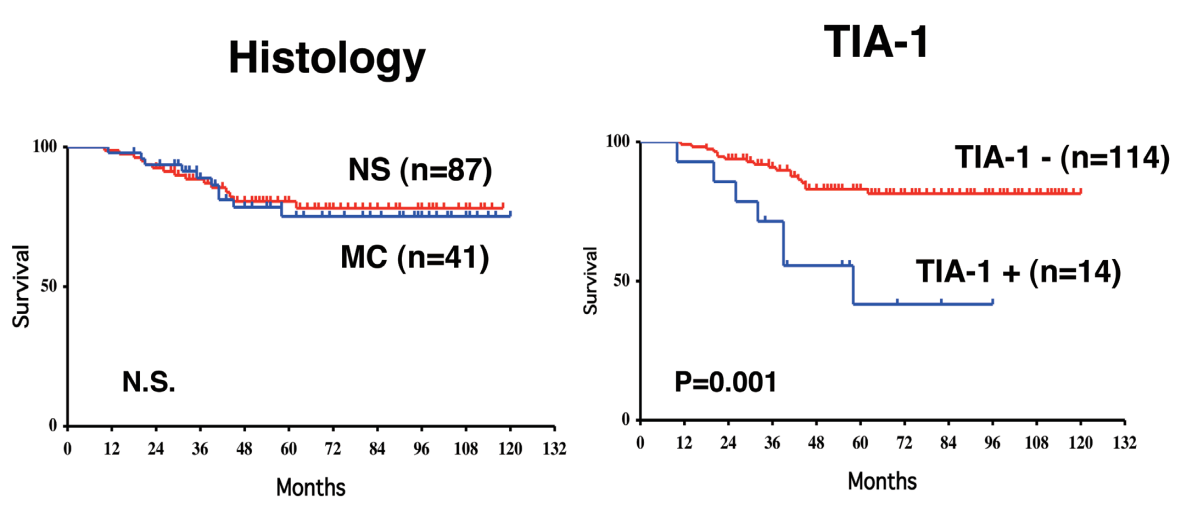
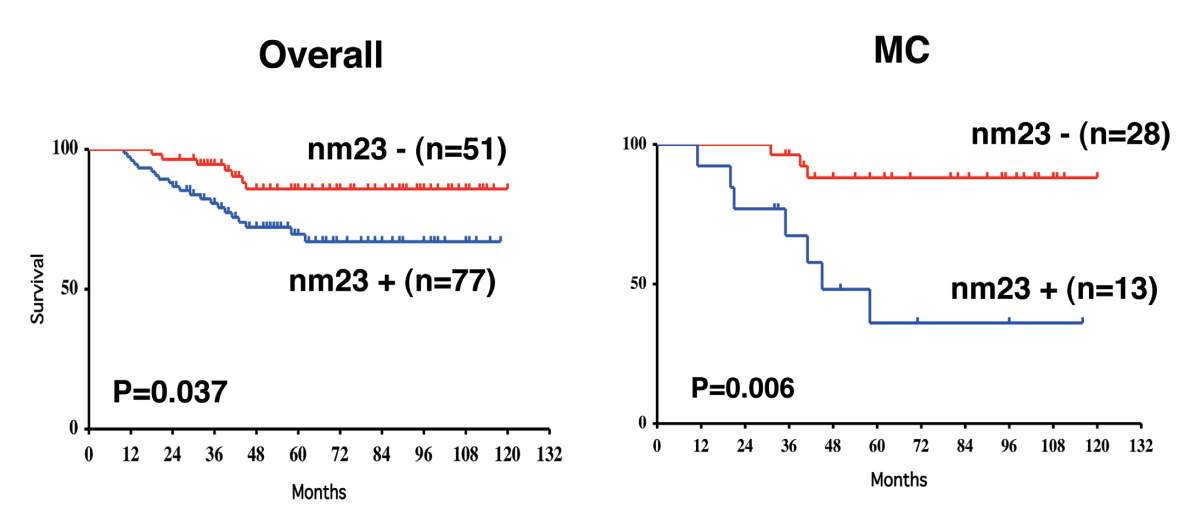


図 3. Progression-Free Survival Curve of Patients with Classical Hodgkin Lymphoma according to the Histology or TIA-1.



☑ **4.** Progression-Free Survival Curve of Patients with Classical Hodgkin Lymphoma according to the Cytoplasmic nm23-H1.

ロニー形成を抑制する. 最近, nm23-H1下流分子が, 乳癌細胞の転移を抑制することが報告されている. また, nm23-H1ファミリーのシグナル伝達経路の報告 もあり、グリセルアルデヒド3リン酸塩脱水素酵素、 Hsc70, テロメア, ROR(レチノイン酸関連オーハン 受容体), Rad, Ras 関連 GTPase などのいろいろな細 胞内蛋白との関連が報告されている¹³⁾. このように nm23-H1に関するいろいろな機序が徐々に解明されつ つあるが、未だ不明な点は多い. 近年、いろいろな癌 において免疫組織染色によるnm23の発現と予後との 検討が行われている. 悪性黒色腫, 乳癌, 胃癌などで は、nm23の発現と患者の生存率との間に有意な逆相 関を認めたが,一方神経芽細胞腫,大腸癌,膵癌では 病期進行とともにむしろ発現が増強し予後不良となる ことが報告されている. 埼玉県立がんセンター角ら14 は、マウスの分化抵抗性骨髄性白血病細胞 (M1 細胞) の培養上清中から分化誘導抑制因子 (inhibitory factor; I-factor)を検出し、M1細胞の分化能を制御する重要 な因子として精製し、それがnm23 蛋白と同一もので あることを見出した. そのため、我々は白血病やリン パ腫などの造血器腫瘍に対するnm23の意義に着目し、 現在予後因子としての意義の検討や分子標的治療への 応用を検討している.

本研究では、Hodgkinリンパ腫の病理組織標本を用い、免疫組織化学的検討を行った。細胞質内nm23-H1 発現と血清nm23-H1値が相関していることより、血清nm23-H1の一部はリンパ腫細胞が直接産生している可能性が示唆された。また、細胞質内nm23-H1発現は、血清nm23-H1と同様に重要な予後因子であり、治療戦略を考える上でも有用であることが示唆された。

我々は以前、血清 nm23-H1のELISA法による測定系を作成し^{1,2)}、非ホジキンリンパ腫および急性骨髄性白血病の予後因子となることを見いだした.血清 nm23-H1は、正常対照に比し悪性リンパ腫で高値を示し、特に末梢性T細胞性リンパ腫 (peripheral T-cell lymphoma; PTCL) および成人T細胞白血病/リンパ腫で高値を示した. aggressive lymphomaにおいてnm23-H1高値群と低値群に分けて全生存割合、無増悪生存割合について検討したが、nm23-H1高値群では低値群に比し有意に予後不良であった³⁾.様々な非ホジキンリンパ腫の病型に対して血清 nm23-H1高値例が予後不良因子となり、リンパ腫では腫瘍細胞の増殖に関与している可能性が示唆された.

本研究では、Hodgkinリンパ腫に対する血清 nm23-H1 を測定し、血清 nm23-H1 高値症例では有意に予後不良であり、特にMC群での予後不良因子となることが示唆された。血清 nm23-H1は少量の血清で簡単に測定できるが、細胞質内 nm23-H1はリンパ腫の診断時の免疫染色と同時に行なえるメリットがある。nm23-H1 発現

は血清 nm23-H1と同様に重要な予後因子であり、治療 戦略を考える上で有用であることが示唆された.

文 献

- 1) Niitsu N, Okabe-Kado J, Kasukabe T, Yamamoto-Yamaguchi Y, Umeda M, Honma Y: Prognostic Implications of the Differentiation Inhibitory Factor nm23-H1 Protein in the Plasma of Aggressive Non-Hodgkin's Lymphoma. Blood 1999;94:3541-50.
- Niitsu N, Okabe-Kado J, Nakayama M, Wakimoto N, Sakashita A, Maseki N, Motoyoshi K, Umeda M, Honma Y: Plasma levels of the differentiation inhibitory factor nm23-H1 protein and their clinical implications in acute myelogenous leukemia. Blood 2000;96:1080-6.
- 3) Niitsu N, Okabe-Kado J, Okamoto M, Takagi T, Yoshida T, Aoki S, Hirano M, Honma Y: Serum nm23-H1 protein as a prognostic factor in aggressive non-Hodgkin lymphoma. Blood 2001;97:1202-10.
- 4) Niitsu N, Okamoto M, Okabe-Kado J, Takagi T, Yoshida T, Aoki S, Honma Y, Hirano M Serum nm23-H1 protein as a prognostic factor for indolent non-Hodgkin's lymphoma. Leukemia. 2001;15:832-9.
- 5) Niitsu N, Okamoto M, Honma Y, Nakamine H, Tamaru JI, Nakamura S, Yoshino T, Higashihara M, Hirano M, Okabe-Kado J. Serum levels of the nm23-H1 protein and their clinical implication in extranodal NK/T-cell lymphoma. Leukemia. 2003;17:987-990.
- 6) Niitsu N, Honma Y, Iijima K, Takagi T, Higashihara M, Sawada U, Okabe-Kado J: Clinical significance of nm23-H1 proteins expressed on cell surface in non-Hodgkin's lymphoma Leukemia 2003;17;196-202.
- 7) Niitsu N, Nakamine H, Okamoto M, Akamatsu H, Higashihara M, Honma Y, Okabe-Kado J, Hirano M. Clinical Significance of Intracytoplasmic nm23-H1 Expression in Diffuse Large B-Cell Lymphoma. Clin Cancer Res. 2004;10:2482-90.
- 8) Niitsu N, Nakamine H, Okamoto M, Akamatsu H, Honma Y, Higashihara M, Okabe-Kado J, Hirano M. Expression of nm23-H1 is associated with poor prognosis in peripheral T-cell lymphoma. Br J Haematol 2003;123:621-30.
- 9) Niitsu N, Kohori M, Higashihara M, Bessho M. Phase II study of the irinotecan (CPT-11), mitoxantrone and dexamethasone regimen in elderly patients with relapsed or refractory peripheral T-cell lymphoma. Cancer Sci. 2007;98:109-12.
- 10) Niitsu N, Okamoto M, Nakamura N, Nakamine H, Bessho M, Hirano M. Clinicopathologic correlations

- of stage IE/IIE primary thyroid diffuse large B-cell lymphoma. Ann Oncol. 2007;18:1203-8.
- 11) Steeg PS, Bevilacqua G, Kopper L, et al: Evidence for a novel gene associated with low tumor metastatic potential. J Natl Cancer Inst 1988;80:200.
- 12) Horak CE, Lee JH, Elkahloun AG, et al. Nm23-H1 suppresses tumor cell motility by down-regulating the lysophosphatidic acid receptor EDG2. Cancer Res. 2007;67:7238.
- 13) Seong HA, Jung H, Ha H. NM23-H1 tumor suppressor physically interacts with serine-threonine kinase receptor-associated protein, a transforming growth factor-beta (TGF-beta) receptor-interacting protein, and negatively regulates TGF-beta signaling. J Biol Chem. 2007;282:12075.
- 14) Okabe-Kado J, Kasukabe T, Honma Y, et al. Purification of a factor inhibiting differentiation from conditioned medium of nondifferentiating mouse myeloid leukemia cells. J Biol Chem. 1988; 263:10994.

研究成果リスト

論文

- Niitsu N, Okamoto M, Nakamine H, Hirano M. Clinicopathologic features and treatment outcome of primary breast diffuse large B-cell lymphoma. Leuk Res. 2008:32:1837-41.
- 2) <u>Niitsu N</u>, Nakamine H, Okamoto M, Tamaru J, Hirano M. A clinicopathological study of nm23-H1 expression in classical Hodgkin lymphoma. Ann Oncol.2008;19:1941-6.
- 3) <u>Niitsu N</u>, Okamoto M, Miura I, Hirano M. Clinical significance of 8q24/c-MYC translocation in diffuse large B-cell lymphoma. Cancer Sci. 2008 Nov 25.

- [Epub ahead of print]
- 4) Niitsu N, Okamoto M, Miura I, Hirano M. Clinical features and prognosis of de novo diffuse large B-cell lymphoma with t(14;18) and 8q24/c-MYC translocations.: Leukemia. 2009 Jan 8[Epub ahead of print]

学会発表

- 1) N Niitsu, M Okamoto, I Miura, M Hirano, Clinical features and prognosis of diffuse large B-cell lymphoma with t(14;18) and 8q24 translocations. 10th International Conference on Malignant Lymphoma. 2008.6. Lugano, Switzerland.
- 2) N Niitsu, M Okamoto, M Bessho, I Miura Clinical features and prognosis of diffuse large B-cell lymphoma with t(14;18) and 8q24/c-MYC translocation. Blood (ASH Annual Meeting Abstracts), Nov 2008.
- 3) 新津望, 岡本昌隆, 萩原由貴, 田苗健, 田丸淳一, 中峯寛和, 中村直哉, 平野正美. 乳腺原発びまん 性大細胞型 B 細胞性リンパ腫 30 例の臨床病理学的 検討.第45回癌治療学会総会.2007.10.京都.
- 4) 新津望, 岡本昌隆, 萩原由貴, 田苗健, 中峯寛和, 角純子, 平野正美. Hodgkinリンパ腫における 細胞質内nm23-H1の検討. 第105回日本内科学会 講演会. 2008.4.東京.
- 5) N Niitsu, M Okamoto, H Nakamine, J-I Tamaru, T Yoshino, M Hirano. A clinicopathological study of nm23-H1 expression in classical Hodgkin lymphoma. 第67回日本癌治療学会学術総会. 名古屋2008.10.
- 6) 新津望, 萩原由貴, 田苗健, 岡本昌隆, 田丸淳一, 吉野正, 中峯寛和. 末梢性T細胞リンパ腫における 細胞質内 nm23-H1の臨床的意義. 第46回日本癌治療学会総会. 名古屋2008.10.

平成19年度 学内グラント報告書

アジュバント活性の多様性とその応用

研究代表者 東 丈裕(埼玉医科大学 医学部 免疫学) 松下 祥1, 水野 洋介2, 酒井 輝行3, 竹井 宣一郎⁴⁾ 研究分担者

緒言

アレルギー疾患は特定のアレルゲンに対するIgEク ラスの抗体が産生されることにより引き起こされる. このIgEクラスの抗体が産生されるためにはT細胞の 中でもTh2細胞が分化誘導される必要がある. 免疫学 における近年のトピックスは、Th2細胞の強力で有 効な分化には特定の性質を持った樹状細胞 (Dendritic cells: DC)の存在が分かった点にある. このような樹 状細胞をDC2と呼ぶ¹⁾. 他方Th1細胞を誘導するDC はDC1と呼ばれる²⁾. それに対応した用語としてTh1/ Th2アジュバントも用いられている. これまで, 住血 吸虫由来のphosphatidylserine, 環境ホルモン, エスト ロゲンやプロスタグランジンE2などはTh2アジュバン トとして知られている. DCは生体内でも, 表皮や粘 膜直下という, 環境と直接接する場所に多く存在し, 感染性物質や環境化学物質などの影響を直接受けてお り、DCの分化の解析を行えば、Th1/Th2アジュバン トとしての評価が可能であると結論できる.

アトピー性皮膚炎(AD)は、 増悪・ 寛解を繰り返す、 掻痒のある湿疹を主病変とする疾患であり、患者の 多くはアトピー素因をもつ. アトピー素因とはアレル ギー疾患の家族歴・既往歴とIgE 抗体を産生しやすい 素因とされている. つまり、ADそのものが、IgEを産 生しやすい素因を有するということができる. ADは 多彩な遺伝要因と環境要因が複雑に絡み合って発症 し、その症状が維持されていくと考えられている.環 境要因に関しては、化学物質、感染性微生物、食品な どの外的環境要因のほかにも、これらに影響されて形 成される腸内細菌叢、皮膚黄色ブドウ球菌などの内的 環境要因の関与が推測されている. これまで、様々な IgEクラスの抗体の上昇を認めるADにおいて、T細胞 はTh2に、またDC2に分化しているかどうかについて

のコホートを用いたこれら内的環境要因の質的評価を 伴う大規模研究は未だ行われていない.

そこで、我々はTh1/Th2アジュバント活性の検討 をin vitroで大規模にかつ定量的に解析する方法を確 立し,乳幼児期のAD 患者及び健常者を対象として, コホートを用いたこれら内的環境要因の質的評価を伴 う大規模研究を行った.

材料及び方法

1)細胞株 THP-1をphorbol 12-myristate 13-acetate (PMA)にて48時間刺激を行い, 抗原提示様細胞を誘導 した. このPMA処理THP-1細胞にTh1アジュバントの 代表格であるLPS, Th2アジュバントの代表格である forskolinにて10分刺激し、細胞を溶解して、ELISAに より細胞内 cAMPを測定した.

2) 次に、1)で確立した方法を用いて、生後6ヶ月の時 点でのatopic dermatitis (AD) (+)群55例,AD(-)55 例の生後4日目における母乳の有するアジュバント活 性の検討を行った.

(この研究は千葉大学倫理委員会の承認を得ている.) 具体的には、PMA 処理 THP-1 細胞 (DC-like line) を 母乳で30分刺激し、細胞内cAMP濃度をELISAで定量 した.

(PMA 処理 THP-1 細胞+母乳のcAMP 濃度) - (母乳 のみのcAMP濃度)をPMA処理THP-1細胞内に誘導さ れたcAMPとして、Mann-WhitneyのU検定にて比較 した.

結 果

まず、様々な濃度のPMAでTHP-1を48時間刺激 し、誘導したPMA処理THP-1細胞を様々な濃度の forskolinで刺激し、細胞内 cAMPを測定した(図1). cAMP濃度は50 ng/mlをピークにのPMA濃度依存 性に上昇した(図2). またforskolinに関しては, 5-10 μMをピークに濃度依存性に上昇した. この結果よ り、以後の検討をすべてPMA 50 ng/mlで前処理を

¹⁾ 埼玉医科大学 医学部 免疫学 2) 埼玉医科大学 ゲノム医学研究センター 3) キリンビール株式会社 医薬カンパニー・医薬探索研究所 4) 埼玉医科大学 医学部 第4内科

行った.

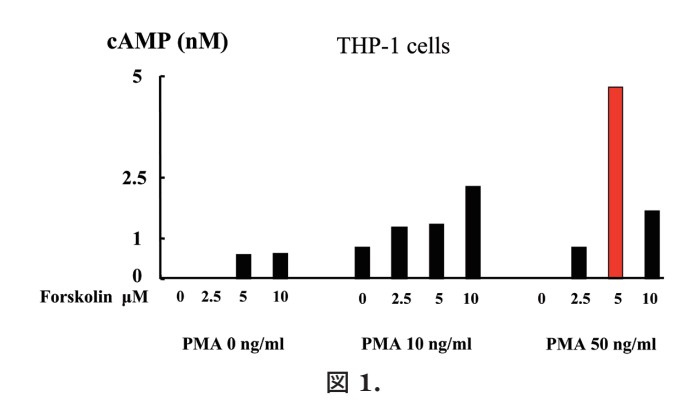
PMA処理THP-1細胞内cAMP濃度は,forskolin (Th2アジュバント)にて上昇するのに対し,LPS(Th1アジュバント)では上昇も低下も認められなかった(図3).更には,LPSはforskolinに拮抗して,濃度依存性に細胞内cAMP濃度を減少させた.これらのことからTh2アジュバント活性を有する物質は、PMA処理THP-1細胞内のcAMP濃度を上昇させ,Th1アジュバント活性を有する物質はそれに拮抗することが考えられた.

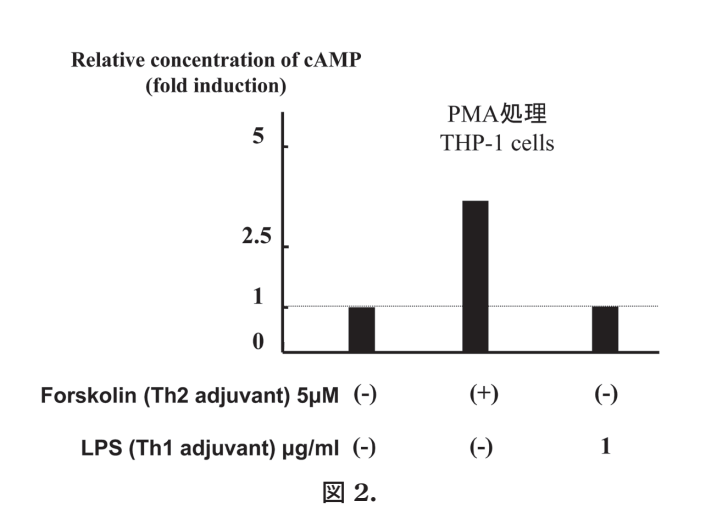
次にこの方法を用いて母乳の有するアジュバント活性についての検討を行った.AD有群の母乳はAD無群の母乳に比し,PMA処理THP-1細胞内cAMP濃度が,優位に高かった.これはAD有群の摂取した母乳は,AD無群のそれより,高いTh2アジュバント活性を有すると考えられた.

考察

これまでadjuvantの評価法としては、

- Mixed lymphocyte reaction(MLR)を用いて、 dendritic cell(DC)によるT細胞分化誘導を行い、産 生するサイトカインを測定する方法
- ・adjuvant 暴露による抗原提示細胞内のNotch ligand 発現を評価する方法





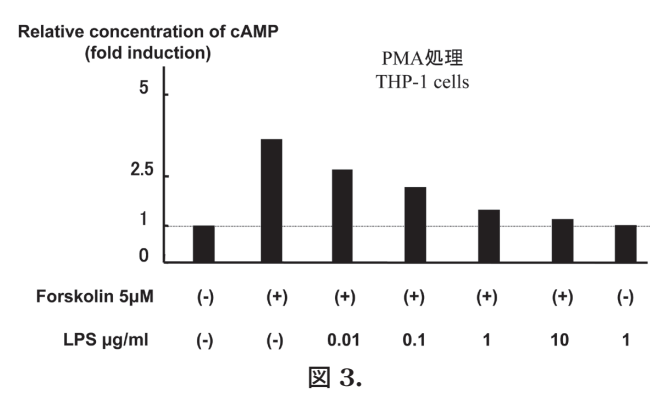
が報告されている $^{3.4}$ が、これらの方法は個体差を排除できない、1度に大量の検体を処理できないなどの欠点がある。今回の我々が行った、PMA処理THP-1細胞内のcAMP濃度を測定し、アジュバント活性を観る方法は、

- ・細胞株を用いるため、個体差を排除できる
- ・暴露時間が10分と短時間であるため、母乳のような 生菌を含むような検体でも測定可能である
- ・1度に大量の検体を処理できる
- ・定量的である

といった利点がある.しかしながら、生理学的な反応を観察しているわけではないため、スクリーニングとしては優れているが、生理学的な反応についてはMLRを組み合わせて検討すべきであると考えられる.

母乳に関しては、米国小児科学会 (AAP) 栄養・アレルギー・免疫委員会 によると⁵、母乳栄養と atopic dermatitis (AD) の発症リスクの関連性には一定の見解が得られていない.

しかし本研究により得られた結果は、一部のAD 患児が摂取した母乳はTh2 adjuvant 活性が高い事を示唆するものであり、非常に興味深い、今後母乳の有するTh2アジュバント活性物質の同定などが必要であるが、乳幼児期のAD発症の予防の寄与する可能性があると示唆された。



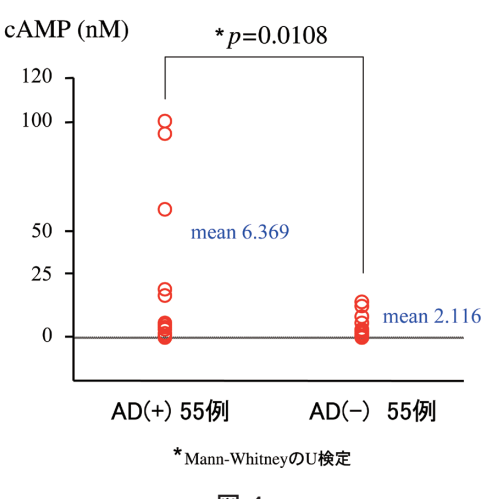


図 4.

参考文献

- 1) Kalinski P, Schuitemaker JH, Hilkens CM, Kapsenberg ML. Prostaglandin E2 induces the final maturation of IL-12-deficient CD1a + CD83 + dendritic cells: the levels of IL-12 are determined during the final dendritic cell maturation and are resistant to further modulation. J Immunol. 1998;161:2804-9.
- 2) Kaisho T, Akira S. Toll-like receptors as adjuvant receptors. Biochim Biophys Acta. 2002;1589:1-13.
- 3) Matsushita S, Liu T, Wakui M, Uemura Y. Adjuvants that enhance Th2 or Tr responses. Allergol Int. 2005;54:507-13.
- 4) Wakui M, Nakano K, Matsushita S. Notch ligand mRNA levels of human APCs predict Th1/Th2-promoting activities. Biochem Biophys Res Commun. 2007;358:596-601.
- 5) Greer FR, Sicherer SH, Burks AW. Effects of early nutritional interventions on the development of atopic disease in infants and children: the role of maternal dietary restriction, breastfeeding, timing of introduction of complementary foods, and hydrolyzed formulas. Pediatrics. 2008;121:183-91.

論文発表

- 1) Mizobe T, Tsukada J, <u>Higashi T</u>, Mouri F, Matsuura A, Tanikawa R, Minami, Y, Yoshida Y, Tanaka Y, Constitutive association Myd88 to IRAK in HTLV-I-transformed T cells. Exp Hematol. 2007;35(12):1812-22.
- 2) Mouri F, Tsukada J, Mizobe T, <u>Higashi T</u>, Yoshida Y, Minami Y, Izumi H, Kominato Y, Kohno K, Tanaka Y. Intracellular HMGB1 transactivates the human IL1B gene promoter through association with an Ets transcription factor PU.1. Eur J Haematol. 2008;80(1):10-9.
- Takagi R, <u>Higashi T</u>, Hashimoto K, Nakano K, <u>Mizuno Y</u>, Okazaki Y and <u>Matsushita S</u>. B-cell chemoattractant CXCL13 is preferentially expressed by human Th17 cell clones. J. Immunol. 2008;181:186-9.
- 4) Nakano K, <u>Higashi T</u>, Hashimoto K, Takagi R,

- Tanaka Y and <u>Matsushita S</u>. Antagonizing dopamine D1-like receptor inhibits Th17 cell differentiation: Preventive and therapeutic effects on experimental autoimmune encephalomyelitis. Biochem. Biophys. Res. Commun. 2008;373:286-91.
- 5) <u>Matsushita S.</u> and <u>Higashi T</u>. Human Th17 cell clones and natural immune responses. Allergol. Int. 2008;57(2):135-40.
- 6) <u>Higashi T</u>, Wakui M, Nakano K, Hashimoto K, Takagi R, Tanaka Y and <u>Matsushita S</u>. Evaluation of adjuvant activities using human antigen presenting cells in vitro. Allergol. 2008;Int.57:219-22.
- 7) Nakano K, <u>Higashi T</u>, Takagi R, Hashimoto K, Tanaka Y, <u>Matsushita S</u>. Dopamine released by dendritic cells polarizes Th2 differentiation. Int Immunol. 2009;21:645-54.
- 8) Hashimoto K, Inoue T, <u>Higashi T, Takei S</u>, Awata T, Katayama S, Takagi R, Okada H, <u>Matsushita S</u>. Dopamine D1-like receptor antagonist, SCH23390, exhibits a preventive effect on diabetes mellitus that occurs naturally in NOD mice. Biochem. Biophys. Res. Commun. 2009;383:460-3.

学会発表

- ・<u>東丈裕</u>,橋本久実子,高木理英,田中良哉,下条直樹,河野陽一,<u>松下祥</u>.アトピー性皮膚炎患児摂取母乳の試験管内アジュバント活性評価法を用いたコホート研究(ミニシンポジウム).第58回日本アレルギー学会秋季学術大会 東京 2008年11月
- ・高木理英,<u>東丈裕</u>,橋本久実子,中野和久,<u>水野洋介</u>, 岡崎康司,<u>松下祥</u>. Th17細胞特異的に発現するB 細胞 chemoattractant CXCL13. 第58回日本アレル ギー学会秋季学術大会 東京 2008年11月
- ・<u>東丈裕</u>,橋本久実子,高木理英,田中良哉,下条直樹,河野陽一,<u>松下祥</u>. 株化細胞を用いた試験管内アジュバント活性定量的評価法とその応用. 第38回日本免疫学会総会 京都 2008年12月
- Rie Takagi, <u>Takehiro Higashi</u>, Kumiko Hashimoto, Kazuhisa Nakano, <u>Yosuke Mizuno</u>, Yasushi Okazaki, <u>Sho Matsushita</u>. B-cell chemoattractant CXCL13 is preferentially expressed by human Th17 cell clones.
 第38回日本免疫学会総会 京都 2008年12月

平成 19 年度 学内グラント報告書

発癌および化生における RNA 転写制御に関わる染色体高次構造の解析

研究代表者 村田 晋一(埼玉医科大学 医学部 病理学)

緒言

近年、細胞の遺伝子発現を制御するメカニズムの1つとして、細胞核内の染色体構造、特に高次構造が注目を浴びている。すなわち、正常細胞においては、23対の染色体は核内にランダムに存在するのではなく、遺伝子濃度に準じて、核内の一定部位に配置(chromosome territory)している。また、各染色体領域での短腕・長腕、セントロメア、テロメアの位置は、無秩序に形成されているのではなく、一定の規則性のもとに形成されていることが明らかになってきた¹⁻³.

さらに、特定の遺伝子はchromosome territoryの範 囲から外へ出て(subchromosomal positioning), 微小 環境を変化させることにより、RNA転写をより容易に 行うシステムが存在することが明かになってきた^{4,5)}. 例えば, Epidermal differentiation complex (EDC)は, 1番染色体上に存在する遺伝子で, small proline-rich proteins (SPRRs), Loricrin, Involucrin, S100Aなど 扁平上皮細胞の分化やcornified envelopeに関与する 蛋白をコードしている. EDC 遺伝子は、培養リンパ 球では1番染色体のchromosome territory内に存在 するのに対して、培養扁平上皮細胞では1番染色体 のchromosome territoryの外に存在することが多い. このことから、EDC遺伝子は、染色体領域内での存在 部位 (subchromosomal positioning) を変化させること によって, 転写活性亢進を引き起こし, タンパク発現 を制御していると考えられている.

以上のように培養正常細胞では、細胞核内の染色体構造、特に高次構造がRNA転写制御に関わることが明かされつつあるものの、腫瘍を含む病的状態にある細胞における細胞形質の変化と核内染色体の高次構造の解析はいまだ報告がほとんどなく、不明な点が多い、本研究では、1) 悪性甲状腺腫瘍における10番、18番および19番のchromosome territory、2) 扁平上皮化生におけるEDC 遺伝子の subchromosomal positioning を

解析し、腫瘍細胞および化生細胞におけるRNA転写制 御に関わる染色体高次構造の変化を検討した.

材料と方法

対象は,正常甲状腺組織(4例),乳頭癌(6例),未 分化癌(2例),慢性子宮頸管炎(1例)で,いずれも外 科的に摘出された材料から得た. 凍結置換法(表1)に て材料を固定,パラフィン包埋した後,4 μmの切片 標本を作製した6.1番,10番,18番,19番染色体 およびEpidermal differentiation complex (EDC) 遺伝 子の視覚化には、Multicolor FISH法(表2)を用いた (図1、図2) 7 . 用いたprobes は1番(biotinラベル), 10番(biotinラベル), 18番(FITCラベル), 19番(Cy3) ラベル) 染色体に対する painting probes (Cambio 社) とEDCに対応するPAC clone (P1-derived artificial chromosome; RP1-148L21と RP1-13P20)から作成した probe (digoxigeninラベル) を用いた. FISH 染色標本 は、蛍光顕微鏡 (Olympus BX50) 下に観察した後、白 黒 CCD カメラ (Olympus, DP30BW) を使って, 染色 体およびEDC遺伝子染色像を別々の白黒デジタル画 像を採取した後, 疑似カラーを付け, 重ね合わせ, FISH染色画像とした. 図3に示されるように、10番、 18番, 19番染色体のchromosome territory を, 染色 体数と核縁からの直径比で10%の領域に存在するか 否かによって、4つのパターンに分類し、それぞれ のパターンを示す細胞の頻度をカウントした. EDC 遺伝子のsubchromosomal positioningに関しては, EDC 遺伝子が、1番染色体のchromosome territory の内部 (center),内部辺縁 (periphery),外部近傍 (neighborhood),外部 (outside)のいずれに位置する かによって分類し、それぞれのパターンを示す細胞 の頻度をカウントした. 切片標本のため、EDC 遺伝 子からのシグナルが1つの細胞と2つの細胞が認めら れたが、1つのシグナルを持つ細胞のみについて検討 した.

表 1. 凍結置換法のプロトコール

- Preparation of isopentane-propane cryogen (−193°C) by air propane in isopentane cooled in liquid nitrogen
- 2) Plunging the tissue samples into the cryogen
- 3) Preparation of chilled freeze-substitution solution (-80°C) of pure acetone containing 2% paraform aldehyde
- 4) Moving the frozen tissue samples to the freezesubstitution solution (48 hrs)
- 5) Gradual elevation of the temperature to room temperature
- 6) Incubation in acetone, ethanol and xylene
- 7) Embedding in paraffin

表 2. Multicolor FISH 法のプロトコール

- 1) Pretreatment 0.3% pepsin / 0.01N HCl (37°C, 30 min) 4% PFA/0.1M PBS RT, 5 min) 0.1% NP-40/2xSSC (37°C, 30 min) denature (85°C, 5 min)
- 2) Hybridization (37°C, overnight) PAC probes for EDC (RP1-13P20 or RP1-148L21) Whole chromosome No 1 painting probe (Cambio)
- 3) Washes $50\% \ Formamide + 0.1\% \ Tween20/2xSSC \ (45^{\circ}C, \\ 10 \ min, twice) \\ 1\times SSC \ (65^{\circ}C, 10 \ min, twice)$
- 4) Visualization using fluorescence (FITC, Cy3, Alexa Fluor 647)

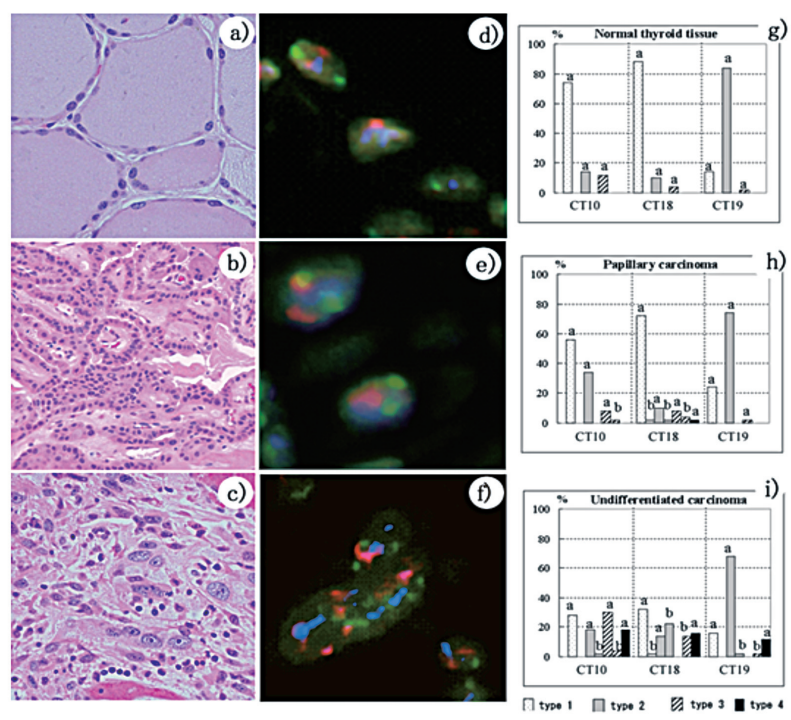


図 1. 甲状腺の正常組織,乳頭癌症例,未分化癌症例それぞれのHE 組織像(a, b, c), 10番(CT10;赤擬似色), 18番(CT18;緑擬似色), 19番(CT19;青擬似色)染色体のmulticolor FISH像(d, e, f), および chromosome territoryの分布 (g, h, i).

結 果

1) 甲状腺病変における 10番, 18番, 19番染色体の chromosome territory

図1は代表的甲状腺病変における10番, 18番, 19番 染色体の代表的 FISH 画像と各染色体のchromosome territory 分布パターンである. また, 正常甲状腺, 乳 頭癌および未分化癌における10番, 18番, 19番染色 体のchromosome territoryの分布パターンの解析結果

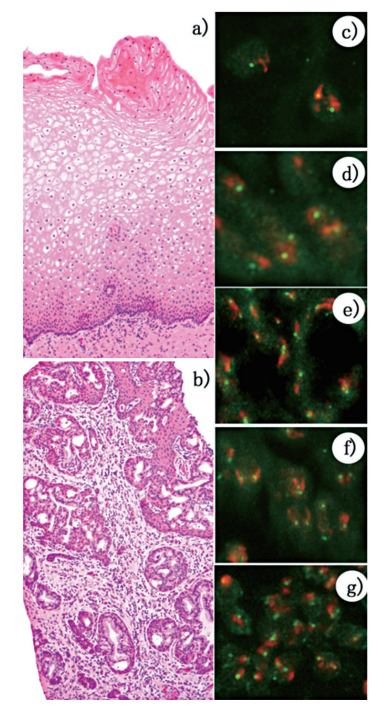


図 2. 子宮頸部の扁平上皮, 腺細胞, 扁平上皮化生細胞およびリンパ球における1番 染色体内のEpidermal differentiation complex (EDC)遺伝子のsubchromosomal positioning. HE組織像(a, b)とmulticolor FISH像(棘細胞(c), 基底細胞(d), 腺細胞(e), 扁平上皮化生細胞(f)およびリンパ球(g). Multicolor FISH染色にはBACから作成したprobes (RP1-148L21 c, d); RP1-13P20 e, f, g)を用いた. 1番染色が赤擬似色で、RP1-148L21およびRP1-13P20が緑擬似色で示されている.

38 村田 晋一

を図4に示す. 正常甲状腺では、10番染色体は約60% 以上の細胞で核縁に、18番染色体は約80%以上の細 胞で核縁に、19番染色体は約80%以上の細胞で核中 央に存在した. 乳頭癌においても, 正常甲状腺と類似 した傾向が見られたが、19番染色体が核縁に存在する 細胞が増加した. 未分化癌においては、染色体増幅を 示す細胞やchromosomal territoryの乱れを示す細胞が 多数認められた.

2) 子宮頸部組織におけるEDCのsubchromosomal positioning

表的 FISH 画像を図 2に示す. 内部 (center), 内部辺縁 (periphery), 外部近傍 (neighborhood), 外部 (outside) に分類されたEDCのsubchromosomal positioningの解 析結果が図5に示されている. どの種類の細胞におい ても、1番染色体のchromosome territoryの内部辺縁 と外部近傍 (periphery and neighborhood) にEDC 遺伝 子が存在する細胞の頻度が最も高かった. 正常の扁平

考 察 子宮頸部組織における1番染色体とEDC遺伝子の代 核内で染色体DNAが形成する最も大きな高次構造 である染色体領域 (chromosome territory) が,遺伝子 発現と密接に関係し、細胞の機能や分化を制御するメ カニズムの1つとして働いていることが明らかにされ はじめた^{3,8-10)}. 染色体の構造は、オングストロームレ ベルの微細構造およびマイクロメータレベルの高次 構造の観点から論じられる. いずれのレベルの構造の 異常もRNA転写の制御、ひいてはタンパク発現の制

色体の外側に存在した.

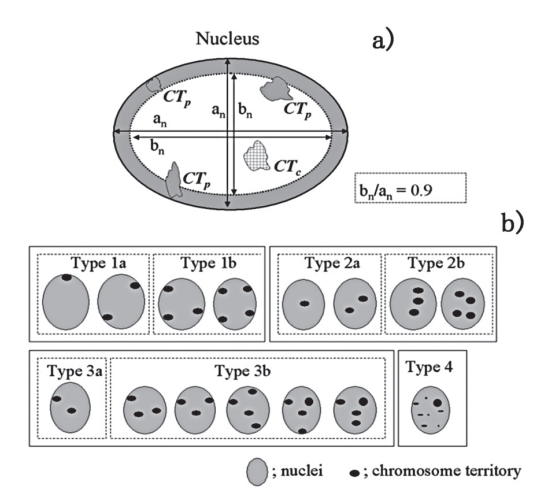


図 3.10番, 18番, 19番染色体のchromosome territory分 布パターン分類. 直径比で核縁側10%領域にchromosome territoryの少なくとも一部が含まれるものをCTp, それ以 外をCTcと定義した. Type 1-3は含まれる染色体数が4個 以下のもの、type 4は5個以上のもので、type 1は全ての 染色体がCTp, type 2は全ての染色体がCTc, type 3と4は CTpとCTcが混在するものである.

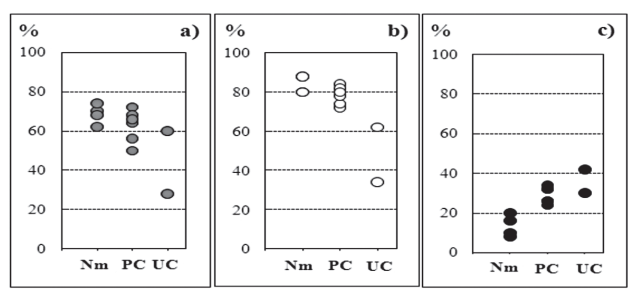
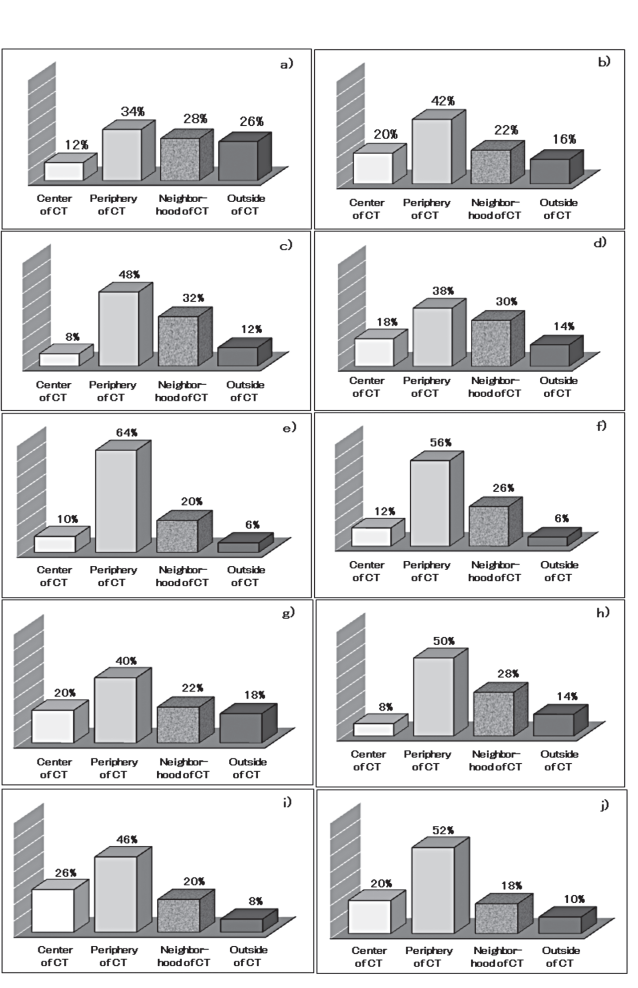


図 4. 甲状腺の正常 (NM) 組織群,乳頭癌 (PC) 症例群,未 分化癌 (UC) 症例群の10番 (a), 18番 (b), 19番 (c) 染色体の chromosome territoryの分布解析結果.



上皮では、基底層、中層および表層においてやや異

なるものの、38-54%の細胞において、EDC遺伝子は

1番染色体のchromosome territoryの外側(外部近傍と

外部) に存在した. 一方, 腺上皮では26-32%の細胞に

おいて, リンパ球では28%の細胞において, また, 腺

上皮から扁平上皮への形質変換である扁平上皮化生細

胞では38-42%の細胞において、EDC遺伝子は1番染

図 5. 棘細胞 (a, b), 基底細胞 (c, d), 腺細胞 (e, f), 扁平 上皮化生細胞 (g, h) およびリンパ球 (i, h) における1番染 色体内のEpidermal differentiation complex (EDC) 遺伝子の subchromosomal positioning解析結果. RP1-148L21による 解析結果 (a, c, e, g, i)と RP1-13P20 による解析結果(b, d, f, h, j).

御を通じて、発癌メカニズムや癌細胞の細胞生物学的特性の発現に大きな影響を与えていると考えられる. 我々は、ヒト甲状腺癌を中心とした癌細胞の細胞生物学的特性および発癌メカニズムについて、Texture analysisやMicroscopic FRET(fluorescence resonance energy transfer) 法の技術を応用し、染色体の微細構造の解析を行ってきた¹¹⁻¹⁷. 本研究では、我々が従来行ってきた研究成果に、染色体の高次構造の解析を加え、癌細胞核や化生細胞などの形質変換を来した細胞核における染色体高次構造の変化と、悪性度、細胞増殖、RNA 転写制御、核クロマチン形態などの細胞特性との関係を解析した.

染色体の高次構造の1つであるchromosome territory は、間期細胞核における各染色体の核内配置である. 正常細胞では18番染色体と19番染色体はほぼ同じ大 きさの染色体であるが、遺伝子を多く含む19番染色 体は核の中心部に、遺伝子の少ない18番染色体は核 辺縁に存在するというように、染色体は含まれる遺 伝子の密度に従って一定の規則性をもって核内に存 在することが明らかにされている. 一方, 核クロマ チン分布異常を示す腫瘍細胞におけるchromosome territoryを解析した報告はほとんど見られない. 本研 究では, 正常甲状腺および乳頭癌の大部分の細胞で は、18番染色体は核縁に、10番および19番染色体は 核中央部に配置した. ただし, 乳頭癌細胞では, 正常 甲状腺細胞と比較して、核中央部に配置する18番染色 体や核縁に配置する10番および19番染色体を持つ細 胞が増加した. 未分化癌では, 各染色体の数が増加し, かつ、chromosome territoryの規則性が失われていた. これらの結果より、甲状腺の腫瘍化において、細胞異 型に乏しく悪性度の低い高分化癌では多くの細胞で chromosome territoryの基本的規則性は保たれるもの の,一部に乱れが生じている.一方,細胞異型が強く 悪性度の高い未分化癌では多くの細胞でchromosome territoryの乱れが顕著になることが示された.

Subchromosomal positioningは、間期細胞核における遺伝子のchromosome territory 内あるいは外での位置であり、染色体の高次構造の1つである。先に述べたように、細胞はある種の遺伝子のsubchromosomal positioningを変化させることによって、RNA転写活性、引いてはタンパク発現や細胞形質発現をコントロールしていると考えられている。ほどんどのsubchromosomal positioningの研究は培養細胞を用いた研究であり、実際のヒト組織内で形質変換を示した細胞のsubchromosomal positioningを解析した報告はまれである。本研究では、ヒト子宮頸部組織において扁平上皮の分化と関連するEDC遺伝子のsubchromosomal positioningが、細胞の種類および分化によって変化することが示された。すなわち、扁平上皮細胞では、腺上皮細胞やリンパ球と比

較して、1番染色体のchromosome territoryの外側 (外部近傍と外部) にEDC 遺伝子が存在する細胞の頻度が高かった. さらに、腺上皮からの形質転換した扁平上皮化生細胞では、腺上皮よりも1番染色体のchromosome territoryの外側にEDC 遺伝子が存在する細胞の頻度が高かった. 以上より、腺上皮が扁平上皮化生に際しては、EDC 遺伝子のsubchromosomal positioningが変化しており、EDC 遺伝子周囲のDNA環境を変化させることによって、EDC 遺伝子の発現(RNA転写) 亢進、引いてはEDC タンパクの産生亢進を来すことによって、化生が起こされている可能性が示唆された.

以上,1)癌細胞におけるchromosome territoryは、高分化癌では正常細胞に類似するものの、遺伝子異常が高頻度に認められる甲状腺未分化癌では高度な変化が見られること、2)chromosome territoryを始めとする染色体の高次構造の異常は核形態の異常(核異型)をもたらすこと、3)腺上皮における扁平上皮化生では、扁平上皮分化と関係するEDC遺伝子のsubchromosomal positioningを変化させること、が明らかとなった。すなわち、chromosome territoryやsubchromosomal positioningといった染色体高次構造の変化が、遺伝子発現(RNA転写)に影響し、蛋白発現の制御を通して、細胞の形態・機能といった形質変化や腫瘍化に関与している可能性が示唆された。

文 献

- 1) Boveri T. Die Blastomerenkerne von Ascaris megalocephala und die Theorie der Chromosomenindividualitat. Archiv fur Zellforschung. 1909;3:181-268.
- 2) Cremer T, Kurz A, Zirbel R, Dietzel S, Rinke B, Schrock E, et al. Role of chromosome territories in the functional compartmentalization of the cell nucleus. Cold Spring Harb Symp Quant Biol. 1993;58:777-92.
- 3) Tanabe H, Kupper K, Ishida T, Neusser M, Mizusawa H. Inter- and intra-specific genedensity-correlated radial chromosome territory arrangements are conserved in Old World monkeys. Cytogenet Genome Res. 2005;108:255-61.
- 4) Williams RR. Transcription and the territory: the ins and outs of gene positioning. Trends Genet. 2003;19:298-302.
- 5) Williams RR, Fisher AG. Chromosomes, positions please! Nat Cell Biol. 2003;5:388-90.
- 6) Ohno N, Terada N, Murata S, Katoh R, Ohno S. Application of cryotechniques with freeze-substitution for the immunohistochemical demonstration of intranuclear pCREB and

40 村田 晋一

chromosome territory. J Histochem Cytochem. 2005;53:55-62.

- Murata S, Katoh R. Technique and application of FISH method In: Histochmistry 2008 ed.). Kyoto: Nakanishi Insatsu, 2008:59-66.
- 8) Parada LA, McQueen PG, Misteli T. Tissue-specific spatial organization of genomes. Genome Biol. 2004;5:R44.
- 9) Solovei I, Schermelleh L, During K, Engelhardt A, Stein S, Cremer C, et al. Differences in centromere positioning of cycling and postmitotic human cell types. Chromosoma. 2004;112:410-23. Epub 2004 Jun 2009.
- 10) Guasconi V, Souidi M, Ait-Si-Ali S. Nuclear positioning, gene activity and cancer. Cancer Biol Ther. 2005;4:134-8.
- 11) Murata S, Herman P, Lin H-J, Lakowicz J. Fluorescence lifetime imaging of nuclear DNA; Effect of fluorescence resonance energy transfer. Cytometry. 2000;41:178-85.
- 12) Murata S, Kusba J, Piszczek G, Gryczynski I, Lakowicz J. Donor Fluorescence Decay Analysis for Energy Transfer in Double-Helical DNA with Various Acceptor Concentration. Biopolymers. 2000;57:306-15.
- 13) Murata S, Herman P, Lakowicz J. Texture analysis of fluorescence lifetime images of nuclear DNA with effect of fluorescence resonance energy transfer. Cytometry. 2001;43:94-100.
- 14) Murata S, Herman P, Lakowicz J. Texture analysis of fluorescence lifetime images of at- and gc-rich regions in nuclei. J Histochem Cytochem. 2001;49:1443-52.
- 15) Murata S, Mochizuki K, Nakazawa T, Kondo T, Nakamura N, Yamashita H, et al. Detection of underlying characteristics of nuclear chromatin patterns of thyroid tumor cells using texture and factor analyses. Cytometry. 2002;49:91-5.
- 16) Murata S, Herman P, Mochizuki K, Nakazawa T, Kondo T, Nakamura N, et al. Spatial distribution analysis of AT- and GC-rich regions in nuclei using corrected fuorescence resonance energy transfer. J Histochem Cytochem. 2003;51:951-8.
- 17) Murata S, Herman P, Iwashina M, Mochizuki K, Nakazawa T, Kondo T, et al. Application of microscopic Forster resonance energy transfer to cytological diagnosis of the thyroid tumors. J. Biomedial Optics. 2005;10:034008(034001-6).

研究成果リスト

英語論文:

- 1: Shimizu Y, Jin L, Yamaguchi H, Motosugi U, Sannohe S, Nagata K, Sakurai T, <u>Murata S</u>, Yasuda M, Shimizu M. Detection of lymphatic invasion in resected cases of primary pancreatic cancer based on immunohistochemistry of D2-40. Ann Diagn Pathol. 2009 Jun;13(3):168-72.
- 2: Motosugi U, <u>Murata S</u>, Shimizu M, Yasuda M, Sakurai T, Shimizu Y, Ban S, Nagata K, Yamaguchi H, Sannohe S. Extranodular background liver parenchyma of focal nodular hyperplasia: histopathological characteristics. Virchows Arch. 2009 May;454(5):557-62.
- 3: Motosugi U, Kato T, Kamakura Y, Saze T, Suzuki T, Yajima S, Shimizu Y, <u>Murata S</u>, Shimizu M, Ichikawa T, Araki T. Radiology contributes to better cytological diagnosis of lung tumors. Lung Cancer. 2009 Feb 3. [Epub ahead of print]
- 4: Kawasaki T, Nakamura S, Sakamoto G, <u>Murata S</u>, Tsunoda-Shimizu H, Suzuki K, Takahashi O, Nakazawa T, Kondo T, Katoh R. Neuroendocrine ductal carcinoma in situ (NE-DCIS) of the breast-comparative clinicopathological study of 20 NE-DCIS cases and 274 non-NE-DCIS cases. Histopathology. 2008 Sep;53(3):288-98.
- 5: Inoue S, Inoue M, Kawasaki T, Takahashi H, Inoue A, Maruyama T, Matsuda K, Kunitomo K, <u>Murata S</u>, Fujii H. Six cases showing radial scar/complex sclerosing lesions of the breast detected by breast cancer screening. Breast Cancer. 2008;15(3):247-51.
- 6: Nakazawa T, <u>Murata S</u>, Kondo T, Nakamura N, Yamane T, Iwasa S, Katoh R. Histopathology of the thyroid in amiodarone-induced hypothyroidism. Pathol Int. 2008 Jan;58(1):55-8.
- 7: Murata S, Nakazawa T, Ohno N, Terada N, Iwashina M, Mochizuki K, Kondo T, Nakamura N, Yamane T, Iwasa S, Ohno S, Katoh R. Conservation and alteration of chromosome territory arrangements in thyroid carcinoma cell nuclei. Thyroid. 2007 Jun;17(6):489-96.
- 8: Kondo T, Nakazawa T, <u>Murata S</u>, Kurebayashi J, Ezzat S, Asa SL, Katoh R. Enhanced B-Raf protein expression is independent of V600E mutant status in thyroid carcinomas. Hum Pathol. 2007 Dec;38(12):1810-8.
- 9: Kondo T, Hashi A, <u>Murata S</u>, Fischer SE, Nara M, Nakazawa T, Yuminamochi T, Hoshi K, Katoh R. Gastric mucin is expressed in a subset of endocervical tunnel clusters: type A tunnel clusters of gastric phenotype. Histopathology. 2007 Jun;50(7):843-50.

- 10: Nara M, Hashi A, <u>Murata S</u>, Kondo T, Yuminamochi T, Nakazawa K, Katoh R, Hoshi K. Lobular endocervical glandular hyperplasia as a presumed precursor of cervical adenocarcinoma independent of human papillomavirus infection. Gynecol Oncol. 2007 Aug;106(2):289-98.
- 11: Liu YL, Matsuzaki T, Nakazawa T, <u>Murata S</u>, Nakamura N, Kondo T, Iwashina M, Mochizuki K, Yamane T, Takata K, Katoh R. Expression of aquaporin 3 (AQP3) in normal and neoplastic lung tissues. Hum Pathol. 2007 Jan;38(1):171-8.

日本語論文:

- 1. <u>村田晋一</u>,廣川満良. 甲状腺微小癌 update. 病理と 臨床 2009;27(5):448-52.
- 2. 大野四季音, 村田晋一, 弓納持勉, 石井喜雄, 中澤久美子, 岩佐敏, 加藤良平 尿中に腫瘍細胞 が出現した乳頭状腎細胞癌の一例 日本臨床細胞 学会雑誌 2009;48(2):61-5.
- 3. <u>村田晋一</u> FISH法の実際と応用. 組織細胞化学 2008;59-66.
- 4. <u>村田晋一</u> 組織診および細胞診からみた尿路上皮 異形成の取り扱い 病理と臨床 2008 26巻 2号 152-6.
- 5. 赤池英憲, 板倉淳, 大澤俊也, 藤井秀樹, 中澤匡男, 村田晋一, 加藤良平 Granulocyte-colony stimulating factor(G-CSF) 産生膵腺扁平上皮癌の1剖検例 膵臓2008 23巻4号494-500
- 6. 石川めぐみ,安藤典子,岩本拓,原田和俊,古橋正男,

- 川村龍吉, 柴垣直孝, 佐藤栄一, <u>村田晋一</u>, 島田眞路 神経線維腫症1型に合併した悪性末梢神経鞘腫瘍 の姉弟例 臨床皮膚科 2008 62巻7号 487-9.
- 7. 欧陽いく暉,上條篤,<u>村田晋一</u>,遠藤周一郎,加藤良平, 増山敬祐 好酸球性副鼻腔炎患者におけるシス ティニルロイコトリエンレセプターの発現 耳鼻咽 喉科免疫アレルギー 2007 25巻 2号 150-1.
- 8. 三井広, 柴垣直孝, 金重勝博, <u>村田晋一</u>, 加藤良平, 島田眞路 四肢の紫斑, 潰瘍で発症した多発性 骨髄腫 皮膚病診療 2007 29巻10号 1157-60.

講演

- 1. <u>村田晋一</u>. 尿細胞診の診断アプローチとその細胞 生物学的背景 埼玉県細胞診講習会 埼玉 2009 年 1月24日
- 2. <u>村田晋一</u>. 尿細胞診の誤判定防止の要点 ~診断ア プローチと問題点~ 国立病院機構研修会 東京 2009年2月3日
- 3. <u>村田晋一</u>. 細胞診における細胞核異型の分子病 理学的背景 - 甲状腺と尿路上皮の病変を中心と して- 埼玉 埼玉県技師会
- 4. <u>村田晋一</u>. 尿路上皮病変における病理診断の問題 点と分子病理学的アプローチ 第12回泌尿器病理 研究会 小倉2008年6月25日
- 5. <u>村田晋一</u>. 尿細胞診の診断アプローチと問題点. 日本臨床細胞診学会山形県支部総会 山形 2008 年 7月19日

平成 19 年度 学内グラント報告書

CD34 陰性血液幹細胞からの無血清・無ストローマでの 血液分化誘導系の研究

研究代表者 浅田 留美子(埼玉医科大学 医学部 臨床検査医学科)研究分担者 池淵 研二*

緒言

我々は、ヒト造血幹細胞として従来のCD34陽性の 造血幹細胞に加え、CD34陰性の分画に属する、より 未分化と考えられる造血幹細胞の存在を明らかにし (Blood 101:2924-2931, 2003) これに関する研究を行って きた (Stem Cells 25:1348-1355, 2007). またCD34 陰性造 血幹細胞の持つ未分化性から, ES細胞 cell lineの培養 系のうちJean Luらの報告による培養条件(以下HESCO と略す)(PNAS 103(15):5688-5693,2006)に着目し、これ をヒト臍帯血 CD34 陰性細胞の培養に応用を試みた. 無 血清,ストローマフリーのin vitroの培養系にHESCO の培地と数種類のサイトカインを添加して,短期間(3 ~7日) 培養することで3系統の血球系への分化を確認 した. この際に見られる分化の過程が、特に赤芽球と一 部のリンパ球に関して、コントロールとして培養した CD34 陽性の分画からの分化動態と明らかな相違点が あることを確認した. 両者の異なる点としては、①培 養3~4日目以降,GPA陽性細胞の分化・増殖がCD34 陰性分画からの培養で優位に認められる,②培養3~4 日目においては、CD34 陰性分画からの培養でのみIL-7 レセプター陽性の小リンパ球様の細胞が認められる. の2点が挙げられた. 従来の研究ではCD34 陰性細胞は in vivoの移植系では骨髄に生着し赤芽球やリンパ球を 生成することは証明されているが, in vitro 系では確認 されていない.

以上の背景のもと、本研究ではまずCD34 陰性血液 幹細胞からの無血清・ストローマフリーでの赤芽球と 小リンパ球が確実に分化誘導できる系をそれぞれ確立 することを目標とした。さらにHESCOに含まれるサイトカインbFGF, BAFF, Wnt-3Aの他、血球分化に関わる サイトカインIL-3, G-CSF, SCF, EPO, GM-CSFのうち、何 が赤芽球およびリンパ球系細胞増殖に必須のシグナル であるか、組み合わせを変えて解析を行い解明することとした.

さらに、CD34陰性細胞から同じ培養条件で赤芽球と小リンパ球に分化する細胞が存在することから、共通の元になる幹細胞が存在するのか各々の細胞系の幹細胞が存在するのか、細胞表面抗原マーカーとセルソーティングを用いて単一細胞を培養する系で解析することを目標とした。幹細胞が同定された場合には遺伝子発現の解析からも幹細胞を同定することを目標とした。解析の候補としてc-kit, GATA-1, survivin(Leung CG, et al. *J Exp Med* 204: 1603-1611, 2007),HOXB4, Bmi-1, globin, Epo-R, c-Mpl, Nanog, SSEA-1, Oct4等を考えた.

材料と方法

(1) 標的細胞の純化方法

対象細胞として埼玉医科大学倫理委員会によって 承認された正常妊婦出産時の臍帯血を用いた. 其々の サンプルから単核球分画を比重遠心法で分離し, 一 旦凍結保存した. 解析時には細胞を解凍後に, マグ ネティックビーズ(Easy Sep negative selection)を用い てlineage 陽性細胞を除去後, 再度抗lineage (CD2, CD3, CD14, CD16, CD19, CD24, GPA, CD4, CD10,CD20, CD41) 抗体, 抗 CD45 抗体,抗 CD34 抗体,7AADを用い て多重染色後に, 本学中央研究施設に設置されている セルソーター (FACS Aria) を用いて目的とする細胞の純 化を行う.

(2) In vitro 培養系

ソーティングで得られた細胞をbFGF,Wnt-3A, BAFF, IL-3, G-CSF, SCF, EPO, GM-CSF, Insulin, transferrin, Albumin, Cholesterol lipid 存在下の培養条件で12,24または96well plateを用いて37 $^{\circ}$ C,5 $^{\circ}$ CO $_{2}$,5 $^{\circ}$ O $_{2}$ で培養する. 赤芽球またはリンパ球其々の分化誘導に必須のサイトカインシグナルを調べるため,サイトカインの組み合わせを変えた条件の培養も同時に行う. 必要に

*埼玉医科大学 医学部 臨床検査医学科

応じて細胞をサイトスピンで塗抹標本を作成し形態観察し、増殖能を調べるためにコロニーアッセイも行う. (3) 解析

実験の目的によって、 $day2 \sim 4$ またはday7, day14 の細胞を回収しGPA, CD34, CD36, CD45, IL-7R, c-kit 等の抗体を用いて染色後、フローサイトメーターで解析または、再度ソーティングし目的細胞を得る。再ソーティングで得られた細胞は遺伝子解析のためのサンプルとしてRNAを回収する。サイトスピンの作成も必要に応じて行う。

(4) その他

赤血球系の分化に関しては、正染性赤芽球まではサイトスピン標本で確認されているが、脱核した赤血球までの誘導が可能であるか検討する.

結 果

(1) 標的細胞の純化

ヒト臍帯血を用いて、比重遠心で単核球分離後、マグネティックビーズでlineage 陽性細胞を除去後、再度セルソーターにより細胞を分離した際のスキャッターグラムを図1に示す.7AADで死細胞を除去、lineage抗体のカクテル(FITC)とGPAによる染色でlineageとGPA陽性細胞を除いた分画をCD45とCD34抗原の染色で展開した.P7をCD34陽性細胞、P8をCD34陰性細胞として用いて実験を行った.

(2) In vitro 培養の条件による細胞の分化

CD34 陽性および陰性細胞を其々 HESCOの条件下で培養しday2およびday5にフローサイトメーターで解析を行ったところ、day5の細胞数はCD34 陽性細胞で6倍、陰性細胞では約2倍の増加を認め、CD34 陽性細胞の培養系ではGPA 陽性細胞は20%以下であったのに対し、CD34 陰性細胞では70-80%がGPA 陽性であった。また、CD34 陰性細胞の培養システムでは培養期間中にCD34 陽性細胞は生成されなかった。

次に、CD34 陽性および陰性細胞を5種 (IL-3, G-CSF, SCF, EPO, GM-CSF) の血球分化誘導サイトカイン存在下に培養した場合と、これら5種のサイトカインにbFGF, BAFF, Wnt-3Aを加えた条件下での培養を比較検討した。day5にCD34 陽性細胞の培養系ではCD34 陽性細胞が約40%を占めるのに対し、CD34 陰性細胞の培養系ではHESCOでの培養と同様CD34 陽性細胞は認め

られなかった.

CD36 陽性細胞に注目して観察したところ、CD34 陽性細胞の培養系では培養細胞の約40%を占めそのほとんどがCD45 陽性であったのに対し、CD34 陰性細胞の培養系ではほとんど全ての細胞がCD36 陽性で、これらはCD45が陰性の集団と弱く発現している異なる集団として分離された。またCD34 陽性細胞の培養系では出現しなかったCD61 陽性細胞が、CD34 陰性細胞の培養系では7%前後の細胞に認められた。

IL-7レセプターの発現に関しては、5種のサイトカインにbFGF, BAFF, Wnt-3Aを加えた条件でのCD34陰性細胞の培養系でのみ1%前後と少数ではあるがIL-7レセプター陽性細胞が認められた(図2).

GPA 陽性細胞をソーティングしサイトスピン標本を作成しメイギムザ染色にて観察したところ、そのほとんどは赤芽球であることが確認できた。ただし脱核した赤血球の確認は困難であった。

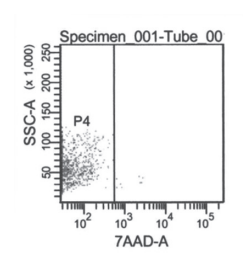
(3) コロニーアッセイ

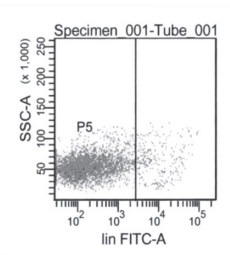
上記の通りCD34 陰性細胞の培養ではCD34 陽性細胞からの培養と異なり、CD34 抗原の発現が培養期間中全く認められないまま、GPA 陽性赤芽球に分化することが観察された、両集団の相違およびそれぞれの分化に各種サイトカインが及ぼす影響を知るため、サイトカインの条件を変えて、CD34 陽性細胞、陰性細胞を其々コロニーアッセイを行った。①EPO②EPO+SCF③EPO+IL3④EPO+SCF+IL3+G-CSF+GM-CSFの条件でアッセイを行った際の結果を(表1)に示す、CD34 陽性細胞のコロニーアッセイの結果、SCFがあるとMixコロニー形成がフルに刺激され、IL3があるとG、GMコロニー形成がフルに刺激される傾向があることが分かった。

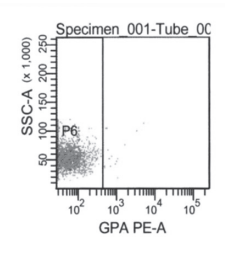
CD34 陰性細胞のコロニーアッセイの結果,赤芽球バースト(BFU-E)のみ形成し,GM,Mixコロニーは形成されない結果が得られた.

4) シングルセルソーティング

CD34 陰性細胞の集団の培養結果では、短期間にGPA 陽性細胞の分化および増殖が起っているように観察されたが、CD34 陰性の細胞集団中に赤芽球コロニー前駆細胞の中の成熟型 (CFU-E) が混入している可能性は否定できない. より詳細な細胞の分化過程を調べるため、CD34 陰性細胞を96well plateを用いてシングルセル







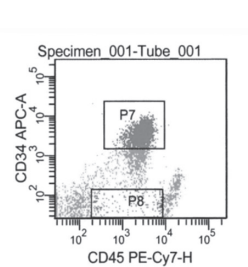


図 1. 標的細胞の純化.

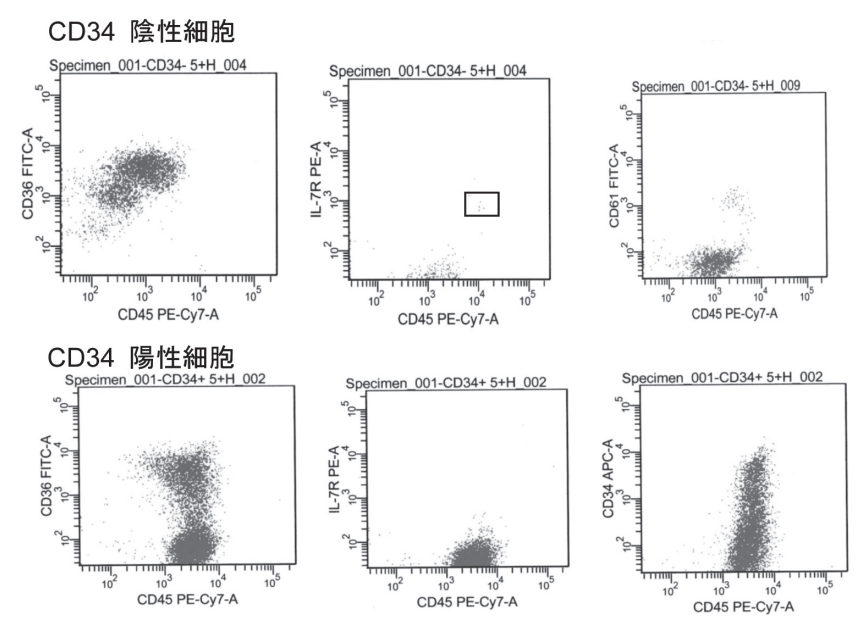


図 2. day5, のCD34 陰性および陽性細胞.

CD34(-)					CD34(+)			
	Epoのみ	Epo+SCF	Epo+IL-3	5cvtokine	Epoのみ	Epo+SCF	Epo+IL-3	5cvtokine
BFU-E	8 (8/8)	9 (8/10)	14 (20/8)	10.5 (6/15)	17 (18/16)	29 (35/23)	44 (45/43)	29 (28/30)
G	0	0	0	0.5 (0/1)	20 (23/17)	21.5 (16/27)	23 (26/20)	31.5 (30/33)
GM	0	0	0	0	4 (6/2)	11.5 (15/8)	22.5 (15/10)	14.5 (14/15)
Mix	0	0	0	0	7.5 (9/6)	18 (17/19)	11 (6/16)	23 (21/25)
Macrophage	0	0	0	0	2.5 (3/2)	1.5 (3/0)	0 (0/0)	2 (1/3)

表 1. コロニーアッセイ

ソーティングを行い、IL-3、G-CSF、SCF、EPO、GM-CSFの5種のサイトカインと、これにbFGF、BAFF、Wnt-3Aを加えた2条件で培養しday7までの変化を観察した。どちらの条件でも6-7well/plateに細胞の増殖を認め、各wellで数10倍から数1000倍程度の細胞増殖が確認された。ウェルから回収した細胞を用いてFACS解析したところいずれの培養後細胞でもCD34の発現は認められなかった。CD36の発現については陽性細胞の割合はwellにより異なるものの細胞増殖の見られた全てのwellで増殖した細胞の半数以上が陽性を示した。一方でIL-7の明らかな陽性細胞は認められなかった。CD61とc-kit(CD117)に関して両抗原ともに発現が弱陽性の細胞が存在するwellが2-3well/plate、c-kitのみ発現している細胞集団を認めるwellが1well/plate見られた.

考察

生体に移植する in vivo アッセイ系を用いた検討では、 CD34 陰性細胞がより未分化な造血幹細胞を含むことを 示す研究成果が発表されている. In vitro アッセイ系で も CD34 陽性細胞と CD34 陰性細胞の特性の違いを検討する目的で、両者を無血清、ストローマフリーの培養系で本研究は検討を行ってきた.

結果で示したように、CD34陰性細胞の培養では CD34 抗原の発現はいずれのサイトカイン添加条件で も認められなかった. CD34 陰性細胞からの培養の方 がGPA抗原の発現が短期間で認められた. 本実験の開 始時点では、より未熟なCD34陰性細胞の中に短期間 で赤芽球へ分化する特殊な前駆細胞の存在も仮定した が、現時点ではCFU-E存在の否定も難しく、このよう な細胞の証明には現在準備を進めている遺伝子解析他, さらに検討が必要である. 培養中に認められたCD36陽 性細胞については、CD34陽性細胞ではほぼ全ての細 胞がCD45 抗原を発現していたのに対して、CD34 陰性 細胞ではCD45抗原を発現している集団と発現してい ない両集団が存在していた. 以上から一つの仮定とし てCD34陽性細胞が赤芽球への分化において, CD34の 発現を失いCD34 陰性細胞となり、その後CD36 陽性 CD45 陽性細胞, さらに CD36 陽性 CD45 陰性細胞に変 化することが考えられる. また今回 CD34 陰性細胞の培養でのみ CD61の発現が認められた. これまでのシングルセルカルチャーの解析では CD61と CD36の発現の関係については明らかにされていない. 今後の解析では両抗原の発現を同一サンプルで確認する予定である. 形態の観察で巨核球様の細胞が認められた well もあり、これも現時点では仮定の域を出ないがシングルセルカルチャーで CD61 陽性細胞と巨核球様細胞が一致し、さらに赤芽球の分化も確認されるとすれば CD34 陰性細胞中に赤芽球と巨核球共通の前駆細胞の存在が疑われることとなり、この分化能を持った細胞の解明が求められる.

IL7レセプター陽性の小リンパ球様細胞に関してはCD34陰性細胞をbFGF, BAFF, Wnt-3A存在下に培養した際に認められるが、陽性細胞が極めて少数であったため純化細胞として回収することが困難で

あった. 今後は培養系をサイズアップして純化細胞として採取できるように改良していきたい. またデータは示さなかったが、培養条件を検討したところbFGF, BAFF, Wnt-3Aのそれぞれを1種類ずつ欠いた培養ではどの条件でもIL-7レセプター陽性細胞は認められず興味深い. 今後さらなる検討が必要である.

細胞表面マーカー解析と増殖分化能を解析するのと並行して、培養開始時のCD34 陰性分画の細胞、培養後いくつかのポイントで回収した細胞をサンプルとして、mRNAの発現についてRT-PCRで確認し、より詳細な分化過程の解析も行わないと真の解明にはつながらないと考えている。CD34,c-kit, survivin, TAL-1(SCL), GATA-1, HOXB4, Bmi-1, globin, Epo-R, c-Mpl, Nanog, SSEA-1, Oct4等の発現の違いについて培養前後の各分画での検討を行なう予定である。

© 2009 The Medical Society of Saitama Medical University

http://www.saitama-med.ac.jp/jsms/

平成 19 年度 学内グラント報告書

$HIF-1 \alpha$ を分子標的とする卵巣癌治療へのアプローチ

研究代表者 安田 政実(埼玉医科大学 国際医療センター 病理診断科)

緒言

卵巣腫瘍を特徴付ける大きな要因に組織型の多彩さがあげられる。このことは治療の個別化を計ることの 困難さを招く一義的な要因と思われる。治療の中心は 根治的手術であるが、腫瘍の完全摘出ができない場合 は術後の化学療法が治療のポイントとなる。

上皮性卵巣腫瘍の一型である明細胞腺癌はしばしば 化学療法抵抗性を示し、予後不良であることが知られ ている. 1999-2001年の FIGO annual reportによると明 細胞腺癌は全世界的に卵巣腫瘍の5~10%を占めると 報告されているが、本邦では卵巣腫瘍全体の21.9%に も及ぶ1. 卵巣腫瘍に対する現在の治療レジメンは患 者の個々に対するテーラーメイド医療ではなく, ラン ダム化試験に基づいたスタンダードなものが適用さ れている. 明細胞腺癌は予てから子宮内膜症との関連 性が指摘されており、内膜症を背景として癌化するこ ともしばしばみられる. 内膜症を有する患者は定期的 に外来受診,検査をすることが多いため,本腫瘍は I a~Ic期といった早期発見例が多い. そのため、進 行例を除けば残存腫瘍径1 cm 以下のoptimal surgery が可能であるが、他の組織型に比較すると予後は不良 である. 明細胞腺癌の化学療法に対する低感受性は予 後改善の大きなハードルとなっており、本症の治療に おいて化学療法耐性の克服は重要な課題である^{2,3)}.

上皮性卵巣腫瘍に限らず、様々な悪性腫瘍において 細胞の酸素供給は癌が生き延びるために重要な因子の 一つであることが知られている。1992年にSemenzaと Wang らにより初めて生体における酸素恒常性を司る 因子として低酸素誘導因子 Hypoxia Inducible Factor1 α (HIF-1 α)が報告され^{θ}, 1995年に単離・精製されて以来、分子レベルの研究が加速的に進み、癌の微小環境における HIF-1の機能が次々と明らかになってきた β . HIF-1はヘリックスループヘリックス構造をもつ α サブユニット (HIF-1 α)と β サブユニット (HIF-1 β)から構成されるヘテロ二量体タンパクであるのに対

し、HIF-1αは正常組織において正常の酸素濃度分圧 下ではプロテアソームによる分解を受けるため,ほと んど検出できない. この分解は402番目と564番目の プロリン残基が2-oxoglutarateを基質として水酸化さ れ、ユビキチンE3リガーゼ複合体の仲介により、von Hippel Lindau 腫瘍抑制タンパク (VHL) がHIF-1 α の酸 素依存性分解ドメインに結合することで生じる. し かし、一旦細胞が低酸素に暴露されると $HIF-1\alpha$ の転 写活性領域のC末端側に位置するアスパラギン残基 が水酸化を抑制するため、HIF-1 αのユビキチン化に よる分解が抑制され、安定化することで、 $HIF-1 \alpha$ の 急速な蓄積を生じることが明らかとなっている. その 後、細胞質に蓄積した $HIF-1\alpha$ はヒストン脱アセチル 化酵素 HDAC7(Histone-deacetylase 7) の結合により核 内に移行し、βサブユニットと二量体を形成した後、 コアクチベーターであるCBP/p300との複合体を形成 し,標的遺伝子 Hypoxia responsive elements (HREs) に 結合することで血管新生因子の代表格であるVascular Endothelial Growth Factor(VEGF)や糖の能動輸送に 関わる Glucose Transpotor-1(GLUT-1) 等の様々な増殖 因子の転写を誘導する⁶⁻⁸⁾. HIF-1によって直接発現が 誘導される遺伝子は現在までに約60以上が報告され ており、これらの遺伝子はプロモーター・エンハン サー領域にHIF-1 結合配列 (HREs) を有する. このよう に $HIF-1\alpha$ は組織の細胞濃度によりその発現が調節さ れることで、生体の恒常性の維持を司る. その後の研 究からHIF-1αは虚血性心疾患や低酸素脳症, さらに は腫瘍の増殖・進展においても重要な役割を果たすこ とが明らかとなってきている. また, 近年では酸素濃 度に依存しないHIF-1αの発現制御が報告されてきて おり、とりわけPI3K-Akt-mTORシグナル伝達経路に よる $HIF-1\alpha$ の制御が明らかになりつつあるが 9 , その 詳細な分子機構については知られていない.

mTOR(mammalian target of rapamycin) はマクロライド系抗生物質 rapamycinの標的遺伝子として同定された,約290 kDaのセリン・スレオニンキナーゼであり,細胞の分裂や成長,生存における調節因子と

しての役割を果たしており、とりわけ生体の生存能 力を維持するための栄養素の利用に不可欠なもので ある. mTOR阻害剤であるrapamycinは主にリンパ球 増殖抑制により免疫応答を阻害し、ラットにおいては 腎臓および心臓移植拒絶反応を抑制することが示され ている. rapamycinは細胞質タンパクFKBP12(FK506 binding protein)と複合体を形成し、リンパ球増殖に 関与するキナーゼ活性を阻害する¹⁰⁾.mTORは生体の 様々な機能に不可欠であることから、当初よりその薬 剤の使用には懸念があったが、一定量の用量・用法で あればこれらの副作用等は容認できるものと報告され ている. また免疫抑制剤としての開発途中にはすでに ヒト癌細胞株パネルに対する検討が行われており,一 部の細胞株ではp53やPTEN等の癌抑制遺伝子の変異 ヒト腫瘍細胞において高感受性であること110, さらに 他の抗癌剤、とりわけ白金製剤の感受性を改善するこ とが報告されているが、その詳細な作用機序について は未だ不明である. さらに近年ではrapamycinがVEGF を介した血管新生の阻害効果を持つことが報告され、 その阻害に $HIF-1\alpha$ の仲介も判明した。Gubaらは免疫 抑制に用いられている用量のrapamycinが癌転移モデ ルおよび腫瘍移植モデルにおいて著明な抑制効果を発 揮し、その作用機序として血管内皮細胞の増殖および 管腔形成を共に抑制することを報告している¹²⁾. すで にHIF-1の活性にはPI3K経路の関与が報告されている が、HudsonらはmTORがこの活性化経路において正の 調節因子として働き、mTORの阻害によって $HIF-1\alpha$ mRNAの翻訳が抑制されることを示している¹³⁾. これ らの結果から、mTORがHIF-1活性化経路の上流に位 置すること、mTOR阻害による抗腫瘍効果にはHIF-1 の抑制作用が関与することが推察される.

以上の背景、およびこれまでの我々の研究成果を足がかりにmTOR-HIF-1-VEGF経路の遮断による明細胞腺癌における新たな薬剤としてのrapamycinの可能性について探求した. すなわち、in vitroおよびin vivoにおける本薬剤の有効性について検討した.

材料・方法

• 培養株

ヒト卵巣明細胞腺癌由来培養株細胞株 RMG-1をin vitroおよびin vivo 実験に供した。10% FBS (GIBCO 社)と1% Penicillin-Streptomycin (GIBCO 社)を添加したHam's F-12 培地 (GIBCO 社)中にて、37 $^{\circ}$ で・5% CO₂下において培養した。

• 薬剤

everolimus (NOVARTIS社)をDMSO (Sigma社)を用いて溶解後, Ham's F-12 培地を溶媒とし, 各濃度 (0 nM, 80 nM, 100 nM)まで段階的に希釈した.

動物

6週齢(雌)のBALB/c AJcl-nu/nu (日本クレア株

式会社)を1週間馴化飼育し、実験に供した. 実験期間中はマウスを12時間の明暗サイクルで、滅菌済み固形飼料および水を自由に摂取させることにより飼育管理を行った.

・HIF-1 関連因子の各タンパクおよびHIF-1 α 分解経路、アポトーシス関連因子の発現変化の解析

細胞に各濃度のeverolimusを投与し、回収したサンプルを $2\mu g/\mu l$ の濃度に調整した。その後、10% SDS-ポリアクリルアミドゲル電気泳動を行い、PVDF膜へ転写し、下記に示す抗体を用いてImmunoblottingを行った。各バンドから半定量的に各タンパクの発現量の変化について解析を行った。

細胞に各濃度のeverolimusを投与し,6時間後に回収した.回収した細胞をスライドガラスに塗抹し,100%エタノールで固定した.その後,内因性ペルオキシダーゼ活性の除去を行い,Ki-67 抗体[1:50(DAKO社)]を用いて免疫組織化学酵素抗体間接法を行った.さらに顕微鏡下(×200)にて陽性細胞数

を計測し、その陽性率から増殖能の変化について解

・ everolimusが細胞周期に与える影響についての解析

- ・everolimusが細胞の生存に与える影響についての検討 細胞に各濃度のeverolimusを投与し、6時間後に 細胞を回収した.その後細胞液の一部を、トリパン ブルー液を用いて染色し、血球計算板上で生細胞数 の計測を行うことで、細胞の生存に対する影響に ついて解析を行った.
- ・明細胞腺癌移植モデルマウスを用いた抗腫瘍効果の検討 先に示した条件で培養した細胞 $(1 \times 10^7 \text{ cells} / 0.2 \text{ ml})$ をヌードマウスに皮下移植し,腫瘍体積が 約 150 mm^3 に達した時点より everolimusの投与を開始した.投与はカルボキシメチルセルロースで溶解 した everolimus (2.5 mg/kg) を経口投与し,その後 経時的に観察を行った.

結 果

析を行った.

・everolimusが細胞死に与える影響についての検討 (図1,2)

非投与群に比較して投与群の細胞を観察したところ、細胞の形態に大きな変化は認められないものの、付着していた細胞は一部細胞死により培地中に浮遊している様子が観察された。同時に投与6時間後の細胞を回収し、トリパンブルー染色を用いて生細胞数について検討したところ、非投与群では8.7×10⁶ cells 認めたが、投与群では6.6×106 cells と約25%の細胞死を認めた。

・everolimusが細胞増殖能に与える影響についての検討 (図3,4)

細胞増殖能を解析したところ, Ki-67 labeling index は非投与群において17%であるのに比較して,

48 安田 政実

薬剤投与群においては11%と低下を認めた.

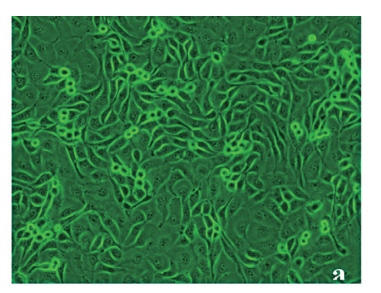
・everolimusによるHIF-1 関連因子の各タンパクおよびHIF-1 α 分解経路,アポトーシス関連因子の発現変化の解析 (図5)

mTORの発現は非投与群,投与群の両者で発現の変化を認めなかったものの,p-mTORの発現においては非投与群に比較して,投与群では有意に発現の低下を認めた。また,mTORのエフェクター因子の発現について解析したところ,p-4E-BP1,HIF-1 α ,VEGFの発現は非投与群に比較して,投与群において著明な発現の低下を認めたが,GLUT-1の発現においては両者の間に発現の変化は認めなかった。一方で,HIF-1 α の分解系における薬剤の影響を解析したところ,HIF-1 α のユビキチンリガーゼであるVHLの発現は非投与群に比較して,投与群において発現の増

加が認められた.さらに薬剤とアポトーシスの関連性の解析から、cleaved caspase-3の発現は非投与群に比較して、投与群において発現の増大を認めた.

・明細胞腺癌移植モデルマウスを用いた抗腫瘍効果の検討(図6)

本検討から薬剤投与群において57% (4/7)で腫瘍の縮小を認めた.とりわけ腫瘍縮小群の中でも50% (2/4)において腫瘍の消失を認め、他の縮小群50% (2/4)において腫瘍体積の60~70%の減量を認めた.一方、非縮小群の中でも67% (2/3)は初回投与において腫瘍の縮小を認めたものの、2回目以降は縮小傾向を認めず、腫瘍体積は増大したことから、コントロール不能となった.また、他の非縮小群33% (1/3)においては投与以前より著明な壊死を認め、初回投与時より縮小傾向は全く認められなかった.



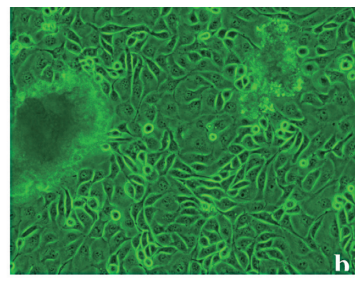
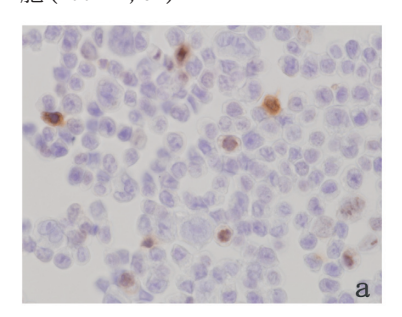


図 1. everolimusによる細胞の変化の様子. a: 非投与細胞 b: 投与細胞 (100nM, 6h)



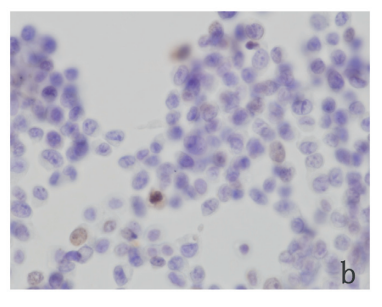


図 3. Ki-67 labeling Index による everolimus が細胞増殖能に与える影響 についての解析. a: 非投与細胞 b: 投与細胞 (100n M, 24 h)

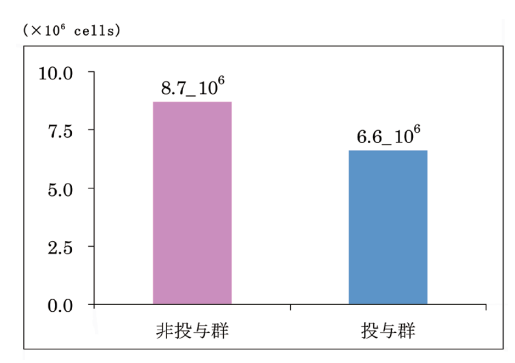


図 2. everolimusによる腫瘍細胞数の変化.

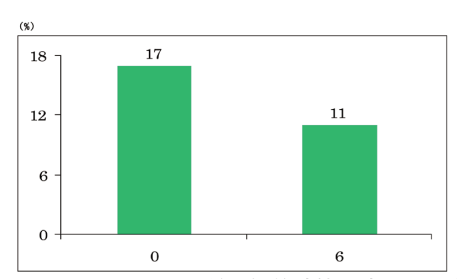


図 4. everolimusが細胞増殖能に与える影響についての解析.

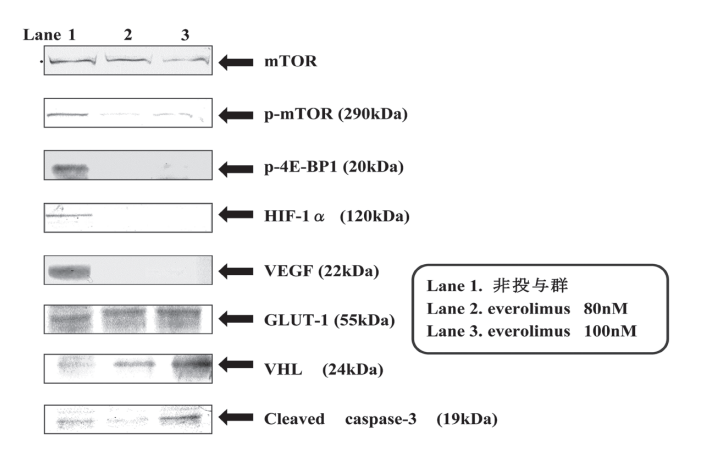


図 **5.** everolimusによる HIF-1 α 関連因子の各タンパクおよび HIF-1 α 分解経路、アポトーシス関連因子の発現変化.

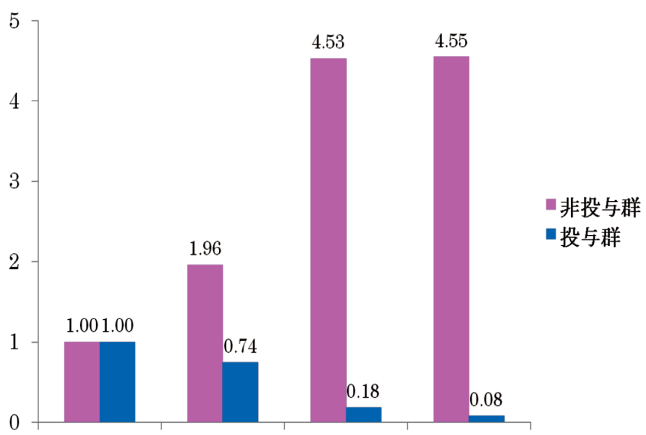


図 6. モデルマウスにおける everolimustous 投与による腫瘍 体積の変化.

考察

HIF-1 α は低酸素応答を通じた生体の恒常性の維持のみならず腫瘍の増殖,進展において重要な役割を担っていることが知られている.我々は現在までに上皮性卵巣腫瘍におけるHIF-1 α の発現解析から明細胞腺癌が他の組織型に比して発現が優勢であり,明細胞腺癌の予後不良因子の一つである可能性を報告してきた.近年,このHIF-1 α の発現制御にmTORの存在が報告され α 実際に明細胞腺癌においてphosphorylated-mTOR の発現が亢進しておりmTOR-HIF-1 シグナル伝達の活性化が推察されたことから,mTOR 阻害に力点を置いた明細胞腺癌および他の卵巣腫瘍患者への新たな治療法の確立を目指して検討を遂行してきた α

悪性腫瘍は、無秩序な増殖能を有することで自らを より低酸素な環境へと導き、これに順応するために複 雑な分子機構を発動しながら浸潤性に進展していくも のと考えられる. 低酸素環境下で機能する分子には多 くの腫瘍に共通性があるが、一方で腫瘍間ないしは組 織型間で、発現分子に程度の違いがあることが推察さ れる. 悪性腫瘍の微小環境は酸素やグルコースの濃度, pHなどにより位置づけられており、腫瘍細胞の旺盛な 増殖が微小血管の新生を惹起するものの、形成される 血管が未熟で分布が不十分なために容易に虚血領域が 生じる. その結果として、悪性度の高い腫瘍では広範 に出血や壊死 necrosisを来たしやすい. 低酸素下で発 現する分子の代表として「低酸素誘導性因子 HIF-1」が ある. HIF-1は低酸素状況に応じて, 血管新生因子で あるVEGFやグルコースの能動輸送に関わるGLUT-1, あるいは赤血球増生を促すErythropoietin(EPO)などを





図 7. モデルマウスを用いた抗腫瘍効果の検討. (著効例) a: 投与前 b: 著効例

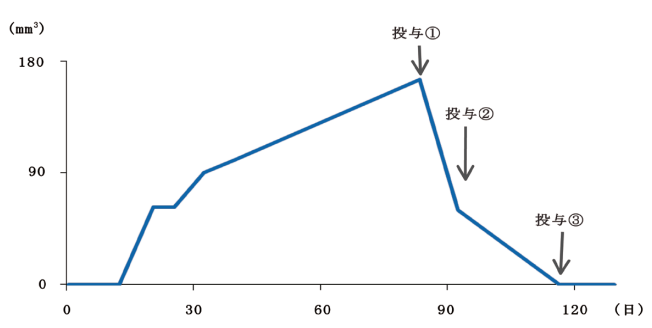


図 8. モデルマウスにおける everolimus 投与による腫瘍体積の変化.

誘導し個々の微小環境への適応を図っている68).

これまで我々は、「甲状腺腫瘍を対象にしたGLUT-1 の発現解析 | に端を発して「卵巣腫瘍における $HIF-1\alpha$ とその関連因子の発現に着目した解析」を行ってきた. GLUT-1は甲状腺良性病変では基本的に発現しないのに 対して、悪性腫瘍とりわけ乳頭癌において高度に発現 することが認められ、臓器外進展とリンパ節転移にも 密接に関わっていることを報告した16.一方,上皮性 卵巣腫瘍では、GLUT-1の発現がHIF-1 α によって概ね 制御されており、これらの発現は乳頭状増殖を特徴と する漿液性腺癌および明細胞腺癌で顕著であることが 明らかにされた¹⁷⁾. また、HIF-1 α とGLUT-1の発現は、 腺腫・境界悪性・悪性へと腫瘍が進展するにしたがっ て増強し、その程度が粘液性腫瘍に比べて明らかに漿 液性腫瘍で強いことを証明した18.したがって、以上の 結果から、HIF-1 α ・GLUT-1の発現は、良悪のみと関連 するのではなく、組織型(腫瘍細胞の表現型)および増 殖動態(胞巣構築・間質の多寡)に依存性が高いことが 示唆された. さらに, 免疫組織化学レベルでの半定量的 結果を踏まえて、HIF-1 α の定量的解析を行い、「明細 胞腺癌では他の組織型よりもHIF-1αの発現量が多いこ と」、「HIF-1 α の発現と腫瘍の大きさとの相関性は低い こと」, および「判定量的評価がほぼ定量的解析結果と 合致していること | などを明らかにした¹⁹.

昨今では治療に鑑みて,「低酸素環境下で発現する分 子を抑制する薬剤の臨床応用」が漸次進行しつつある. なかでも、「第3の免疫抑制剤として注目されているマ クロライド系抗生物質のラパマイシンに抗腫瘍効果が ある」ことが近年明らかにされ、米国では既にラパマイ シンの誘導体を用いた臨床治験での成果が発表されつ つある. 婦人科領域の腫瘍では子宮内膜癌での臨床応 用が米国で試験的に進められている. すなわち, 低酸 素下でのHIF-1αの活性化には、ラパマイシン標的タン パクmTORが正の調節因子として機能していることか ら、mTORを阻害することによる $HIF-1\alpha$ の抑制作用が 期待されている. その根拠に、ラパマイシンが癌転移・ 腫瘍移植モデルにおいて血管内皮の増生抑制があげら れている120. 我々が行った卵巣明細胞癌再発株を用いた 予備実験でも、ラパマイシンによってHIF-1 α および VEGFの抑制が確認された. これを基に、明細胞腺癌で はリン酸化されたmTOR(phosphorylated-mTOR)が優勢 に発現していることを発見し、さらにはラパマイシン の抗腫瘍効果をin vitroおよびin vivoで証明した^{14,15)}.

卵巣上皮性悪性腫瘍のなかでも従来の抗癌剤に抵抗性が高く、予後が相対的に不良で、かつ日本人に多いとされる明細胞腺癌を、「HIF-1 α と関連分子の発現」において特徴付けられたことは、今後の治療戦略の切り口になり得ると思われる。in vitroでの検討・動物移植腫瘍片での解析結果は、ラパマイシンが明細胞腺癌においても有効な薬剤であり得ることを示唆している。

50 安田 政実

先述のように、ラパマイシンの抗腫瘍効果を期待して、既に幾つかの固形腫瘍を対象にした臨床治験が米国を中心に行われ、その成果が認められている。しかしながら、本邦では卵巣腫瘍のみならず、実験的モデルレベルからの臨床応用可能な evidence の報告には至っていない。本研究は、「本来、個別に行われるべき治療戦略の選択・決定に対しての病理的情報提供」を視野においたもので、我々の検討は HIF-1a とその下流にある分子が包括的な治療標的になりうるか否かを解析するという点で独創的であるとともに、国際的臨床研究に大きく貢献できるものと確信する.

参考文献

- 1) Sugiyama T, Kamura T, Kigawa J, Terakawa N, Kikuchi Y, Kita T, Suzuki M, Sato I, Taguchi K. Clinical characteristics of clear cell carcinoma of the ovary: a distinct histologic type with poor prognosis and resistance to platinum-based chemotherapy. Cancer 2000;88:2584-9.
- 2) Itamochi H, Kigawa J, Sugiyama T, Kikuchi Y, Suzuki M, Terakawa N. Low proliferation activity may be associated with chemoresistance in clear cell carcinoma of the ovary. Obstet Gynecol 2002;100:281-7.
- 3) Itamochi H, Kigawa J, Akeshima R, Sato S, Kamazawa S, Takahashi M, Kanamori Y, Suzuki M, Ohwada M, Terakawa N. Mechanisms of cisplatin resistance in clear cell carcinoma of the ovary. Oncology 2002;62:349-53.
- 4) Semenza GL, Wang GL. A nuclear factor induced by hypoxia via de novo protein synthesis binds to the human erythropoietin gene enhancer at asite required for transcriptional activation. Mol cell Biol 1992;12:5447-54.
- 5) Wang GL, Semenza GL. Purification and characterization of hypoxia-inducible factor 1. J Biol Chem 1995;270:1230-7.
- Semenza GL. Regulation of physiological responses to continuous and intermittent hypoxia by hypoxiainducible factor 1. Exp Physiol 2006;91:803-6.
- 7) Semenza GL. Regulation of tissue perfusion in mammals by hypoxia-inducible factor 1. Exp Physiol 2007;92:988-91.
- 8) Ikeda E. Cellular response to tissue hypoxia and its involvement in disease progression. Pathol Int 2005:55:603-10.
- 9) Pore N, Jiang Z, Shu HK, Bernhard E, Kao GD, Maity A. Akt1 activation can augment hypoxiainducible factor-1alpha expression by increasing protein translation through a mammalian target of

- rapamycin- independent pathway. Mol Cancer Res 2006;4:471-9.
- 10) Chiu MI, Katz H, Berlin V. RAPT1, a mammalian homolog of yeast Tor, interacts with the FKBP12/rapamycin complex. Proc Natl Acad Sci USA 1994;91:12574-8.
- 11) Ravi R, Mookerjee B, Bhujwalla ZM, Sutter CH, Artemov D, Zeng Q, Dillehay LE, Madan A, Semenza GL, Bedi A. Regulation of tumor angiogenesis by p53-induced degradation of hypoxia-inducible factor 1alpha. Genes dev. 2000;14:34-44.
- 12) Guba M, von Breitenbuch P, Steinbauer M, Koehl G, Flegel S, Hornung M, Bruns CJ, Zuelke C, Farkas S, Anthuber M, Janch KW, Geissler EK. Rapamycin inhibits primary and metastatic tumor growth by antiangiogenesis: involvement of vascular endothelial growth factor. Nat Med 2002;8:128-35.
- 13) Hudson CC, Liu M, Chiang GG, Otterness DM, Loomis DC, Kaper F, Giaccia AJ, Abraham RT. Regulation of hypoxia-inducible factor 1alpha expression and function by the mammalian target of rapamycin. Mol Cell Biol 2002;22:7004-14.
- 14) Fujita M, Yasuda M, Kitatani K, Miyazawa M, Hirabayashi K, Takekoshi S, Iida T, Hirasawa T, Murakami M, Mikami M, Ishiwata I, Shimizu M, Osamura RY. An up-to-date anti-cancer treatment strategy focusing on HIF-1alpha suppression: its application for refractory ovarian cancer. Acta Histochem Cytochem 2007;40:139-42.
- 15) Miyazawa M, Yasuda M, Fujita M, Kajiwara H, Hirabayashi K, Takekoshi S, Hirasawa T, Murakami M, Ogane N, Kiguchi K, Ishiwata I, Mikami M, Osamura RY. Therapeutic strategy targeting at mTOR-HIF-1 -VEGF pathway for ovarian clear cell adenocarcinoma. Pathol Int 2009;59:12-27.
- 16) Yasuda M, Ogane N, Hayashi H, Kameda Y, Miyagi Y, Iida T, Mori Y, Tsukinoki K, Minematsu T, Osamura Y. Glucose transporter-1 expression in the thyroid gland: clinicopathological significance for papillary carcinoma. Oncol Rep 2005;14:1499-504.
- 17) Yasuda M, Miyazawa M, Fujita M, Kajiwara H, Iida T, Hirasawa T, Muramatsu T, Murakami M, Mikami M, Saitoh K, Shimizu M, Takekoshi S, Osamura RY. Expression of hypoxia inducible factor-lalpha (HIF-lalpha) and glucose transporter-1 (GLUT-1) in ovarian adenocarcinomas: difference in hypoxic status depending on histological character. Oncol Rep 2008;19:111-6.
- 18) Iida T, Yasuda M, Miyazawa M, Fujita M, Osamura RY, Hirasawa T, Muramatsu T, Murakami M, Saito K,

- Mikami M. Hypoxic status in ovarian serous and mucinous tumors: relationship between histological characteristics and HIF-1alpha/GLUT-1 expression. Arch Gynecol Obstet 2008;277:539-96.
- 19) Miyazawa M, Yasuda M, Fujita M, Hirasawa T, Kajiwara H, Hirabayashi K, Ogane N, Shimizu M, Asanuma H, Murakami M, Takekoshi S, Mikami M, Osamura RY. Association of hypoxia-inducible factor-1 (HIF-1) expression with histology in epithelial ovarian tumors: A quantitative analysis of HIF-1. Arch Gynecol Obstet 2008 (in press).

研究成果

論 文

- Kajiwara H, Kumaki N, Hirabayashi K, Miyazawa M, Nakamura N, Hirasawa T, Muramatsu T, Mikami M, Yasuda M, Osamura RY. A case of oncocytic carcinoma of the endometrium. Arch Gyneco10bstet 2009;279:733-8.
- 2) Kajiwara H, Hirabayashi K, Miyazawa M, Nakamura N, Hirasawa T, Muramatsu T, Mikami M, Yasuda M, Osamura RY. Immunohistochemical expression of somatostatin type 2A receptor in neuroendocrine carcinoma of uterine cervix. Arch Gynecol Obstet,2009;279:521-5.
- 3) Hirabayashi K, Yasuda M, Kajiwara H, Itoh J, Miyazawa M, Hirasawa T, Muramatsu T, Murakami M, Mikami M, Osamura RY. Alterations in mucin expression in ovarian mucinous tumors: immunohistochemical analysis of MUC2, MUC5AC, MUC6, and CD10 expression. Acta Histochem Cytochem 2008;41:15-21.
- 4) Yasuda M, Miyazawa M, Fujita M, Kajiwara H, Iida T, Hirasawa T, Muramatsu T, Murakami M, Mikami M, Saitoh K, Shimizu M, Takekoshi S, Osamura RY. Expression of hypoxia inducible factor-1alpha (HIF-1alpha) and glucose transporter-1 (GLUT-1) in ovarian adenocarcinomas: difference in hypoxic status depending on histological character. Oncol Rep 2008;19:111-6.
- 5) Iida T, Yasuda M, Miyazawa M, Fujita M, Osamura RY, Hirasawa T, Muramatsu T, Murakami M, Saito K, Mikami M. Hypoxic status in ovarian serous and mucinous tumors: relationship between histological characteristics and HIF-1alpha/GLUT-1 expression. Arch Gynecol Obstet2008:277:539-46.
- 6) Miyazawa M, Yasuda M, Fujita M, Hirasawa T, Kajiwara H, Hirabayashi K, Ogane N, Shimizu M, Asanuma H, Murakami M, Takekoshi S, Mikami M, Osamura RY. Association of hypoxia-inducible

- factor-1 (HIF-1) expression with histology in epithelial ovarian tumors: A quantitative analysis of HIF-1. Arch Gynecol Obstet 2008 (in press).
- 7) Miyazawa M, Yasuda M, Fujita M, Kajiwara H, Hirabayashi K, Takekoshi S, Hirasawa T, Murakami M, Ogane N, Kiguchi K, Ishiwata I, Mikami M, Osamura RY. Therapeutic strategy targeting at mTOR-HIF-1 α -VEGF pathway for ovarian clear cell adenocarcinoma. Pathol Int 2009;59:19-27.
- 8) Hirabayashi K, Yasuda M, Kajiwara H, Nakamura N, Sato S, Nishijima Y, Mikami M, Osamura RY. Clear cell adenocarcinoma arising from adenomyosis: A case report. Int J Gynecol Pathol. 2008 (in press).
- 9) Mori Y, Tsukinoki K, Yasuda M, Miyazawa M, Kaneko A, Watanabe Y. Glucose transporter type 1 expression are associated with poor prognosis in patients with salivary gland tumors. Oral Oncol 2007;43:563-9.
- 10) Fujita M, Yasuda M, Kitatani K, Miyazawa M, Hirabayashi K, Takekoshi S, Iida T, Hirasawa T, Murakami M, Mikami M, Ishiwata I, Shimizu M, Osamura RY. An up-to-date anti-cancer treatment strategy focusing on HIF-1alpha suppression: its application for refractory ovarian cancer. Acta Histochem Cytochem 2007;40:139-42.
- 11) Yasuda M, Shimizu M, Fujita M, Miyazawa M, Tang X, Kajiwara H, Osamura RY, Shoji S, Tokunaga M, Terachi T. Usefulness of hypoxia inducible factor-1 alpha in evaluating the prostatic adenocarcinoma viability following neoadjuvant hormone therapy. Cancer Detect Prev 2007;31:396-401.

学会発表

- Masanori Yasuda, Shinichi Hori, Masaki Miyazawa, Hiroshi Kajiwara, Naoki Ogane, Michio Shimizu. Activated status of mTOR-HIF-1 α-VEGF pathway in ovarian clear cell adenocarcinoma. 98th Annual meeting of United States and Canadian Academy of Pathology, March 7-13, 2009, Boston.
- 2. 安田政実,藤田麻里子,宮澤昌樹,平林健一,梶原博,平澤猛,村松俊成,村上優,三上幹男.卵巣明細胞腺癌・漿液性腺癌におけるHIF-1 α活性化経路の探索.第44回日本婦人科腫瘍学会学術集会.平成20年7月17~19日.名古屋.
- 3. 宮澤昌樹,藤田麻里子,梶原博,平林健一,平澤猛, 西島義博,村松俊成,村上優,浅沼秀樹,大金直樹, 槻木恵一,木口一成,安田政実,長村義之. 卵明細 胞腺癌におけるmTOR-HIF-1 α 経路抑制による抗 腫瘍効果の検討. 第97回日本病理学会総会. 平成 20年5月15~17日. 金沢.

平成19年度 学内グラント報告書

医師の診療活動記録・解析システムの構築

代表研究者 菅野 義彦(埼玉医科大学 医学教育センター) 分担研究者 椎橋 実智男*

緒言

近年医学教育における変革が進んでいるが、臨床診 療活動についても従来の大学病院の体制では対応で きない事が起こりつつある. 特に平成16年度から導 入された新医師初期臨床研修制度では本学大学病院で も年間30名程度の研修医を受け入れているが、かれ らは従来の大学講座や診療科、医局といった人事単位 に所属せずに病院内をローテートするため、研修委員 会がEPOC(Evaluation system of Postgraduate Clinical training-オンライン臨床研修評価システム)などを 用いてその臨床活動を管理しているものの、現実には その正確な研修内容を把握することは困難である。従 来大学病院においては卒業生がそのまま母校で研修を 続けることが多かったため、必ずしも研修施設として の実績や評価を客観的なデータで示す必要はなく、在 学中を含めた主観的な印象をもとに評価されることが 多かった. しかしながらマッチングシステムの導入に より、全国の研修医療機関と同列に比較を受けること になったため、大学病院がどれだけの臨床経験を提供 することができるかということを客観的かつ正確に 把握し、これを公開する必要が生じている. 本学大学 病院は国内でも希有の大きな病床数(1185床)を誇り、 年間約2万人の入院患者,5万人の外来患者と大学病 院としては群を抜いた臨床経験を提供できるにもかか わらず、病歴管理などの面で機械化、合理化に遅れて おり、患者数や診療数などの客観的なデータが必ずし も各部署で有効に活用されているとはいえなかった. こうした情報提示が不十分であることも、当院での臨 床研修志望者に他大学出身者が少ない理由のひとつと 考えられる. 平成17年度に電子カルテシステムが導入 されたことを契機として臨床活動の記録が電子データ 化しやすくなったものの、臨床診療活動を個人別、診 療科別に解析するには至っておらず、今後研修医療機 関として全国から優秀な人材を確保するためには、本

学大学病院での臨床研修でどれだけの臨床経験を提供できるかということを明確に公表して、本来受けるべきである研修施設としての高い評価を得る必要がある.

本研究においては電子カルテシステムに蓄えられている豊富なデータを用いて、本学大学病院における臨床研修で提供できる臨床経験を客観的かつ正確な情報として全国に公表するために、あらたなデータベースシステムを確立し、現在の教職員に大きな負担をかけることなく、これらのデータを収集、解析、呈示する方法およびシステムの確立を目標とする.

材料と方法

診療データの抽出

診療情報管理室に診療情報二次使用申請の手続きを 行い、埼玉医科大学電子カルテシステムより初期臨床 研修医の研修期間における診療記録を抽出した。すべ ての診療記録から入院要約の担当医の項目に研修医名 が記載されている症例を経験症例として研修医個人別 のファイルを作成した。

データベースシステムの作成

新医師初期臨床研修制度では、研修期間に経験すべき症例はカテゴリー別になっているが、実際の傷病名は多岐にわたり、そのカテゴリーと傷病名をリンクさせるデータベースの構築が必要である。今回マイクロソフト社の表計算ソフト、エクセル2007のマクロ機能を用い、研修期間に経験した傷病名をデータベースに照合し、経験症例をカウントするシステムを構築した。

データベースシステムの構築

カテゴリー化された傷病名と経験した傷病名をリンクさせる際に、部分一致を用いることにより、データベースをより容易に構築できる工夫を行った. 具体的には、「痴呆」のキーワードのみで「アルツハイマー性痴呆」、「脳血管性痴呆」などを同時にカウントできるようにした、また電子カルテトの疾患名は6疾患まで

*埼玉医科大学 医学情報施設

記載可能となっているが、このうち一番目と二番目に 記載された疾患名を経験疾患としてカウントした。これにより実際の経験症例数を超えた疾患経験数がカウントされることになるが、総症例数を付記することにより実際の経験症例数を把握できるようにした。

傷病名のカテゴリー化は厚生労働省が初期臨床研修 において経験目標とした疾患表をもとに,当院での診 療の現状を加味して項目名などを調整して作成した.

集計システムの構築

研修医個人の経験症例数は個別のエクセルシートとして出力されるが、これを串刺し集計することにより診療科の研修内容、研修プログラム自体の評価にもデータを供出できるよう、前研修医の平均経験症例数なども算出できるようにシステムを作成した(図).

結 果

データベースシステムの構築

マイクロソフトエクセルのマクロ機能を用いて,電子カルテ内の情報から研修期間に担当した患者の疾患群別症例数をほぼ自動的に集計できるシステムを構築した.表に示すとおり,厚生労働省が初期臨床研修制

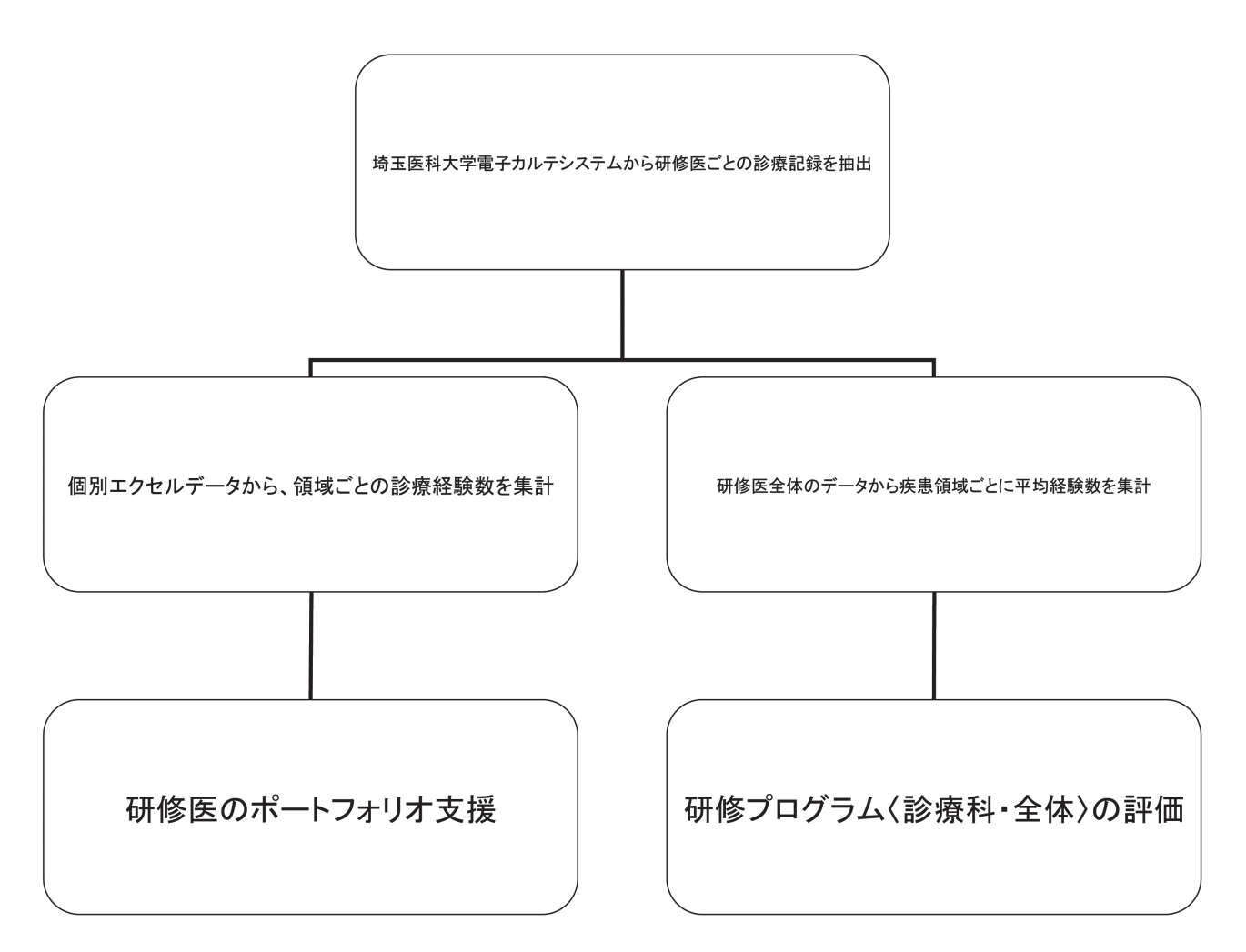
度の経験目標と定めた疾患群をもとに,重複なく分類 しやすいように修正を加えた.

19年度初期臨床研修の診療経験

表は当院の19年度初期臨床研修医30名が二年間に当院で経験した症例の疾患群別平均数を示す.国際医療センター、総合医療センターなど院外での診療経験は含まれていない.その結果埼玉医科大学病院が診療の中心となっている呼吸器疾患,消化器疾患,腎尿路疾患,産婦人科疾患,内分泌疾患,感染症の領域では平均経験数が10例以上であり,充実した研修を送っているものと考えられた.また入院要約を経験数カウントの元データとしたために,入院期間が比較的長く,1-2ヶ月の研修期間内に退院数が少ないと思われる血液,精神神経科領域では平均経験数は5例以下となっているが,これは実際の診療経験を示していない可能性がある.

考察

これまでに医師の臨床経験を評価することは非常に 困難とされてきたため、こうした分野に関する研究は ほとんど行われていない. またごく一部の医師が自ら



54 菅野 義彦, 他

の診療業績をポートフォリオとして記録していても,これは年月を経て経験を積むに連れて経験症例数が飛躍的に増加すること,また画一的な内容になること,記録作業が繁雑で整理が困難であること,記録を使用する機会がきわめて少ないことからなかなか継続ができず,その内容を解析することはほとんどされていない.医師の生涯教育が提唱されて久しいが,実際のところは自らがどのような経験を積み,どのような分野に秀で,逆にどの分野の知識や経験を補充する必要があるかということは個人の裁量に任されてきた.特に指導する立場になる年齢の医師では偏った経験を持ちながらもそれを意識することが少ないために,ともすればその偏った経験が改善の対象となりうるにもかかわらず放置されているのが現状である.この原因

は自らの医師としての診療経験をきちんと記録,整理するための有用なシステムが皆無であることによる.また医師の所属する組織においても、その医師の診療経験を把握することは、診療活動の充実、さらに教育システムの整備にとって非常に有用となる。これを臨床研修に応用するとすれば、当院での研修システムにより到達する目標を観念的な理想像だけではなく、どの診療科でどの疾患を何例経験したか、どういう手技を何回経験したかといった客観的なデータとして呈示することが可能である。現状では教育機関、研修施設としての評価法が定まっていないために、施設としてのランク付けにも明らかな根拠がないが、今後はこうした客観的なデータでの情報開示が評価法に必ず加わってくるものと予想される。その際に正確なデー

表. 研修症例サマリー

	研修医名 研修期間						
	受持ち総症例数	182.0	(A)	系列	分類	経験症例数	うち小り
	XIII OROMEOTO	102.0	101		ウスペ 地と生殖器疾患	12.00.00.07.00	7545
					妊娠分娩(正常妊娠、流産、早産、正常分娩、産科出血、乳腺炎、産褥)	20.9	
系列	分類	経験 症例数	うち小児	-2	女性生殖器及びその関連疾患(月経異常(無月経を含む。)、不正性器出血、更年期障害、 外陰・陰・骨盤内懸染症、骨盤内腫瘍、乳腺腫瘍)	12.2	
(1)血液・達	血器・リンパ網内系疾患				男性生殖器疾患(前立腺疾患、勃起障害、精巣腫瘍)	2.1	
-1	赤血球の疾患	1.1					
-2	白血球の疾患	0.4		(10)内分泌	8・栄養・代謝系疾患		
-3	血小板の疾患、凝固異常	0.7		-1	視床下部·下垂体疾患(下垂体機能障害)	1.2	
-4	その他	0.7		-2	甲状腺・副甲状腺疾患	2.2	
				-3	副腎疾患	0.4	
(2)神経系				-4	糖代謝異常(糖尿病、糖尿病の合併症、低血糖)	9.6	
	脳・脊髄血管障害(脳梗塞、脳内出血、くも膜下出血)	2.3			高脂血症	0.6	
	痴呆性疾患	0.3		-6	蛋白及び核酸代謝異常(高尿酸血症)	0.1	
	脳・脊髄外傷(頭部外傷、急性硬膜外・硬膜下血腫)	0.2					
	変性疾患(パーキンソン病)	2.0		(11)眼・視			
	脳炎·髄膜炎·感染症	1.2			屈折異常(近視、遠視、乱視)	0.0	
	筋疾患	0.7			角膜·結膜疾患	0.0	
	発作性疾患(てんかん・頭痛)	1.2			水晶体疾患(白内障)	0.0	
-8	その他	0.5	_		緑内障	0.1	
			_		糖尿病、高血圧・動脈硬化による眼底変化	0.0	
(3)皮膚系				-6	その他	0.6	_
	湿疹・皮膚炎群(接触皮膚炎、アトピー性皮膚炎)	0,4					
	水疱症・角化症	0.5			咽喉·口腔系疾患		-
	護瘍	1.2			難聴をきたす疾患	0.1	
	皮膚感染症	1.0			めまいを生ずる耳疾患	0.3	
-5	全身疾患に伴う皮膚障害・その他	1.5			鼻・副鼻腔の炎症性疾患	0.3	-
/ + > VIII III II II	AND THE AND TH				鼻出血	0.0	
	(筋骨格)系疾患				咽頭・喉頭の炎症性疾患	2.5	-
	骨折 man and and and and and and and and and a	0.4		-6	その他	0.0	-
	関節・靱帯の損傷及び障害	3.3		(4 C) #####	Man のできる		-
	骨粗鬆症	2.0			神経系疾患	0.2	
-4	脊柱障害(腰椎椎間板ヘルニア)	2.0			症状性・器質性精神障害		
(5)循環器	To de de				物質使用による精神障害	0.3	-
		0.6			統合失調症・妄想性障害	1.0	-
	心不全				気分(感情)障害		
	狭心症、心筋梗塞 心筋症	0.2			神経症性障害	0.8	
	不整脈(主要な頻脈性、徐脈性不整脈)	0.1			摂食障害·不眠症 その他	0.4	
	弁膜症(僧帽弁膜症、大動脈弁膜症)	0.0			7 ONE	0.2	
	動脈疾患(動脈硬化症、大動脈瘤)	0.3		(14)感染症			
	静脈・リンパ管疾患(深部静脈血栓症、下肢静脈瘤、リンパ浮腫)	1.2			ロー・・・・・・・・・・・・・・・・・・・・・・・・・・・・・・・・・・・・	2.3	
	高血圧症(本態性、二次性高血圧症)	1.4			細菌感染症(ブドウ球菌、MRSA、A群レンサ球菌、クラミジア)	4.0	
	阿里在班(小原本)				結核	1.0	
(6)呼吸器	A 在集				真菌感染症(カンジダ症)	0.5	
	呼吸不全	0.9			性感染症	0.0	
	呼吸器感染症(急性上気道炎、気管支炎、肺炎)	9.7			寄生虫疾患	3.2	
	閉塞性・拘束性肺疾患(気管支端息、気管支流張症)	5.3				0.4	
	肺循環障害(肺塞栓・肺梗塞)	0.1		(15)免疫・	アレルギー疾患		
	異常呼吸(過換気症候群)	0.2			全身性エリテマトーデスとその合併症(全身性結合組織疾患)	1.2	
	胸膜、縦隔、横隔膜疾患(自然気胸、胸膜炎)	0.8			慢性関節リウマチ(炎症性多発関節炎)	2.2	
	肺癌	3.3			アレルギー疾患	2.2	
	その他	0.5					
				(16)物理・	化学的因子による疾患		
(7)消化器	系疾患				中毒(アルコール、薬物)	1.2	
-1	食道・胃・十二指腸疾患(食道静脈瘤、胃癌、消化性潰瘍、胃・十二指腸炎)	5.0			アナフィラキシー	0.2	
	小陽・大陽疾患(イレウス、急性虫垂炎、痔核・痔瘻)	13.8			環境要因による疾患(熱中症、寒冷による障害)	0.0	
	胆囊·胆管疾患(胆石、胆囊炎、胆管炎)	7.8			熱傷	0.1	
	肝疾患(ウイルス性肝炎、急性・慢性肝炎、肝硬変、肝癌、アルコール性肝障害、薬物性肝障害)	5.2					
-5	膵臓疾患(急性·慢性膵炎)	1.8		(17)小児紀	長患		
-6	横隔膜・腹壁・腹膜(腹膜炎、急性腹症、ヘルニア)	10.8		-1	染色体異常·遺伝疾患	0.2	
					新生児疾患	0.9	
(8)腎·尿對	- 系(体液・電解質パランスを含む。)疾患						
	賢不全(急性·慢性賢不全、透析)	4.2			The state of the s		
	原発性糸球体疾患(急性・慢性糸球体腎炎症候群、ネフローゼ症候群)	2.8		分類不能	アルコースセッスを 余成 間径かが、特別を 売りけつム色 窓内の出の形式 天変界点 忠茂 海神特殊元度課数 超速の形式 ・デッカ・デルタ 大変 大変	22.3	
	全身性疾患による腎障害(糖尿病性腎症)	0.8			>・1の方にエノルドへ) ニノエ、ヤツの、前ガルンソム組建、野生収額度、外接性へも終り回車、切古が吹手、川小板高少性、心固性多数後の接い、閉晶性質性、刊 発性多限症。		
-4	泌尿器科的腎・尿路疾患(尿路結石、尿路感染症)	5.8		1.1		1	

タを呈示できないことは、研修施設としての機能を疑われる可能性すらある. 現在電子カルテによって診療情報の磁気データ化が飛躍的に進歩しつつあり、患者および医師の個人情報に注意をしながらこれを連携させることにより、従来の紙ベースの診療情報からのデータ化よりも簡便かつ正確に行うことが可能である.

今回のシステム構築により、まずは初期臨床研修 医、後期臨床研修医、そして段階的に本学大学病院で の個々の医師の診療経験がデータベース化されれば、 2年間の研修での目標到達度や、何年間の研修により どのような症例をどれだけ経験したか、またカンファ レンスなどの記録を応用して、診療内容を検討報告 する機会をどれだけ提供されているか、についての解 析が可能になる。そしてこの結果本学大学病院の教育 システムおよび研修施設としての機能を自ら評価し、 改善の重要な指標になることは間違いない。とくに今 後全国の医療機関が後期研修施設としての名乗りを上 げてくることになるが、その際に客観的な評価指標と しては症例の経験数の他、専門医制度に対する取り組 みなど、これまで診療科ごとに取り扱われ、施設全体としては協議されなかったような項目が非常に重要になる可能性が高い.こうしたデータを現時点から準備することは、他施設との差別化においてきわめて有利に働くと思われる.また卒前臨床実習にもクリニカルクラークシップ制の導入という大きな変革の流れがあるが、本学ではすでに臨床実習において学生の電子カルテシステム使用を開始しているため、解析項目の変更によりこれにも対応が可能である.

データベース構築が予定よりも遅れたために終了時の報告内容は十分なものではないが、今後研修医数の増加につれ解析データも膨大化するため、徐々に自動化機能を付加するとともに経験症例以外の診療経験もデータベース化できるよう本研究を継続してゆきたい.

研究成果リスト(論文, 学会発表, 特許出願等)

研究終了時には未発表.報告書内容を中心に第42回 医学教育学会および第30回医療情報学連合大会で発 表予定.

© 2009 The Medical Society of Saitama Medical University

http://www.saitama-med.ac.jp/jsms/

平成19年度 学内グラント報告書

乏突起膠腫の診断と治療反応性の予測に有用な 分子マーカーの探索

研究代表者 安達 淳一(埼玉医科大学 医学部 脳神経外科)研究分担者 西川 亮*,松谷 雅生*

緒言

乏突起膠腫 (oligodendroglioma) 及び退形成性乏突起膠腫 (anaplastic oligodendroglioma) の原発性脳腫瘍の中における頻度は「脳腫瘍全国集計調査報告書(10版)」によると1.2%で、神経膠腫 (glioma) に占める頻度は4.7%である¹¹). 米国の脳腫瘍登録 (CBTRUS; The Central Brain Tumor Registry of the United States, 1990-1994) では原発性脳腫瘍の3.2%、神経膠腫の6.6%と報告されている²).

最近の遺伝子解析技術は本腫瘍の分子病理学に画期的な知見をもたらした. すなわち, oligodendrogliomaでは astrocytic tumor と異なり TP53 遺伝子異常の頻度が少ない (<10%) こと,染色体 1p, 19q の欠失が約 40~80%に見られるということである³. そして,この染色体 1pと 19q が同時に欠失している oligodendrogliomaは予後が良いと言われている⁴.

しかしながら、1pと19qの共欠失しているoligodendrogliomaの中には早期に再発をきたすものもある。そのような腫瘍に特徴的な染色体・遺伝子異常を見い出すため本研究を行った。

材料と方法

2000 年以降現在まで、当科で治療を行った染色体 1p及び19q loss を認めるoligodendroglioma (OL) 6例、anaplastic oligodendroglioma (AO) 8例を対象とした (Table 1). 治療は摘出手術の後に、初期治療として全例で放射線照射 (60Gy) と化学療法 (ACNU+VCR+Procarbazineを8コース)を行った。OL2例とAO2例が初期治療中ないし終了直後に再発を来した。これらの腫瘍に対して、FISH(Fluorescence in situ hybridization) 法とCGH(Comparative genomic hybridization)-Array を用いたゲノムワイドな手法で遺*埼玉医科大学 医学部 脳神経外科

伝子異常の解析を施行した. FISH の probe としては, 1p (1p36.3), 19q (19q13.3), EGFR (7p12), 10q (10q23.3) 上の probe を Bacterial artificial chromosome (BAC) から Nick translation 法を用いて作成した. CGH-Array 法については GenoSensor Array 300 (Vysis)を用い, 再発4例中3例と, 非再発ではOL3例とAO2例に施行した. また, EGFRタンパク質の発現に関しては免疫組織染色も行った.

結 果

再発 OL,AO とも全例でEGFR遺伝子の増幅が見られた (Table 2, 3, Fig.1, 3). しかし, この内でEGFRの免疫染色で明らかに陽性を呈した例は2例であった (Fig.2, Table 4). また, 再発AOの2例とも染色体10qのlossを認めた (Fig.2, Table 4). これらの異常は非再発OLやAOでは見られなかった.

考察

形態的に典型的な1p及び19q lossを有するoligodendrogliomaであっても、EGFR遺伝子増幅や10q lossなどのGlioblastomaで多く見られる遺伝子異常を持つ症例が早期に再発するものと思われ、このような症例は注意深いフォローアップが必要と思われた.現在、さらに症例を集積し統計学的解析を行う予定である.

FISH 法は免疫染色で判然としないEGFR 遺伝子の 微妙な増幅を検出できる優れた方法であった.

猫 女

- 1) The Committee of Brain Tumor Registry of Japan: Report of brain tumor registry of Japan (1969-1993), Neurologia Medico-chirurgica, 40 (Suppl), 2000.
- 2) Surawicz TS, McCarthy BJ, Kupelian V, Jukich PJ, Bruner JM, Davis FG.

- Descriptive epidemiology of primary brain and CNS tumors: Results from the Central Brain Tumor Registry of the United States, 1990-1994, Neuro-Oncology 1: 14-25,1999.
- Reifenberger G,Kros JM, Louis DN, Collins VP: Oligodendroglioma. WHO Classification of Tumours of the Central Nervous System. Louis DN, Ohgaki H, Wiestler OD, Cavenee WK(eds), Lyon, IARCPress, 2007.
- 4) Kleihues P, Cavenee WK (eds): Pathology and genetics of tumours of the nervous system. Lyon, IARCPress, 2000.

研究成果リスト

- Matsutani M, Adachi J and Nishikawa R. MRI findings of oligodendroglial tumors. 5th. Meeting of the Asian Society for Neuro-oncology, Istanbul, Turkey. November 4, 2007.
- Adachi J, Uemiya N, Totake K, Mishima K, Suzuki T, <u>Matsutani M</u> and <u>Nishikawa R</u>. Genetic profile in 1p-and 19q-deleted oligodendroglioma with short relapse-free survival. The 17th International Conference on Brain Tumor Research and Therapy, Hakodate, Japan. June 10, 2008.

Table 1. Oligodendrogliomas with 1p and 19q chromosomal loss

Cases	Age (Y)	Sex	Site	% of removal	Outcome	OS (mo)	PFS (mo)
OL-1	62	Male	Lt. frontal	50	PD	48	35
OL-2	61	Male	Blt. frontal	70	ST	37	36
OL-3	25	Female	Lt. frontal	95	CR	26	25
OL-4	33	Male	Lt. frontal	80	PD	31	23
OL-5	52	Male	Lt. frontal	90	ST	28	27
OL-8	41	Male	Lt.parietal	20	ST	15	15
AO-1	62	Male	Rt. frontal	95	ST	84	83
A0-2	64	Male	Lt. frontal	95	PD	35	12
AO-3	47	Female	Rt. frontal	100	CR	63	62
AO-4	42	Male	Lt. frontal	100	CR	69	68
AO-6	46	Male	Rt. frontal	95	PD	27	20
AO-7	27	Male	Rt. frontal	100	CR	15	14
AO-8	45	Female	Rt. frontal	90	ST	9	8
AO-9	42	Female	Lt. parietal	30	ST	7	6
OL: Oligodendroglioma grade 2 AO: Anaplastic oligodendroglioma							
	Recurren	t cases					

Table 2. OL cases

			Genosensor Report (2	287 of 287 ta	argets)
	Name	Location	Mass Ratio Mean	CV(%)	Mean Ref (c/s)
OL-1	IL6	7p21	1.07	0.8	133.8
	EGFR	7p12.3-p12.1	1.34	4.4	214.2
	EGR2	10q21.3	1.07	2.1	287.7
	PTEN	10q23.3	0.99	2.1	59.9
	FGFR2	10q26	1.12	1.6	237.9
	DMBT1	10q25.3-q26.	1.17	0.9	230
OL-2	IL6	7p21	1.06	1.1	181.9
	EGFR	7p12.3-p12.1	1.02	3	178.7
	EGR2	10q21.3	1.01	2.9	279.3
	PTEN	10q23.3	0.99	0.9	72.7
	FGFR2	10q26	1.08	5.1	272.6
	DMBT1	10q25.3-q26.	1.06	0.9	260.5
OL-3	IL6	7p21	0.98	2.8	61.8
	EGFR	7p12.3-p12.1	1.11	2.3	78.4
	EGR2	10q21.3	1.1	2.9	95.6
	PTEN	10q23.3	0.98	3.1	28.6
	FGFR2	10q26	1.12	2.1	129.9
	DMBT1	10q25.3-q26.	1.17	1.2	145.9
OL-4					
OL-5	IL6	7p21	1	0.4	169.6
	EGFR	7p12.3-p12.1	0.99	0.6	420
	EGR2	10q21.3	0.94	2.1	393.1
	PTEN	10q23.3	0.97	4.3	107.8
	FGFR2	10q26	1.01	0.5	292.6
	DMBT1	10q25.3-q26.	1.08	0.7	366.3

 Adachi J, Uemiya N, Totake K, Mishima K, Suzuki T, <u>Matsutani M, Nishikawa R</u>. Genetic profile in 1p-and 19q-deleted oligodendroglioma with short relapse-free survival. 8th. Congress of the European Association for Neuro-Oncology (EANO), Barcelona, Spain. September 13, 2008.

Table 3. AO cases

			Genosensor Report (287 of 287 ta	argets)
	Name	Location	Mass Ratio Mean	CV(%)	Mean Ref (c/s)
AO-2	IL6	7p21	1.03	1.4	113.5
	EGFR	7p12.3-p12.1	10.09	6.2	162.7
	EGR2	10g21.3	0.86	0.3	177.4
	PTEN	10q23.3	0.67	1.5	43.9
	FGFR2	10q26	0.72	1.8	226.1
	DMBT1	10q25.3-q26	. 0.82	0.5	239.5
AO-6	IL6	7p21	1.08	4.7	27.4
AU-6	EGFR	7p12.3-p12.1		4.7	107.1
	EGR2	10q21.3	1.47	2.8	38.6
	PTEN	10q21.3	0.53	7.8	147.2
	FGFR2	10q25.5	1.07	7.3	60.5
	DMBT1	10q25.3-q26		1.5	88.2
AO-8	IL6	7p21	1.36	1.3	124.2
	EGFR	7p12.3-p12.1	1.34	1	195.4
	EGR2	10q21.3	0.96	1.7	263.8
	PTEN	10q23.3	0.98	1.1	46.9
	FGFR2	10q26	1.02	0.2	222
	DMBT1	10q25.3-q26	. 1.09	0.6	257.1
AO-9	IL6	7p21	0.98	1.8	185.2
7.0 3	EGFR	7p12.3-p12.1		0.8	301.8
	EGR2	10g21.3	0.94	1.9	294.5
	PTEN	10q23.3	0.99	1.8	55.3
	FGFR2	10g26	0.92	0.9	285.2
	DMBT1	10q25.3-q26		0.8	360.1

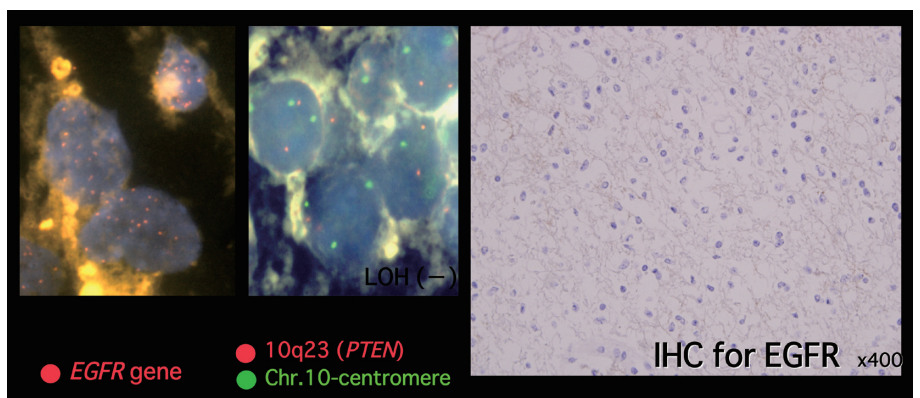


Fig. 1. OL-4.

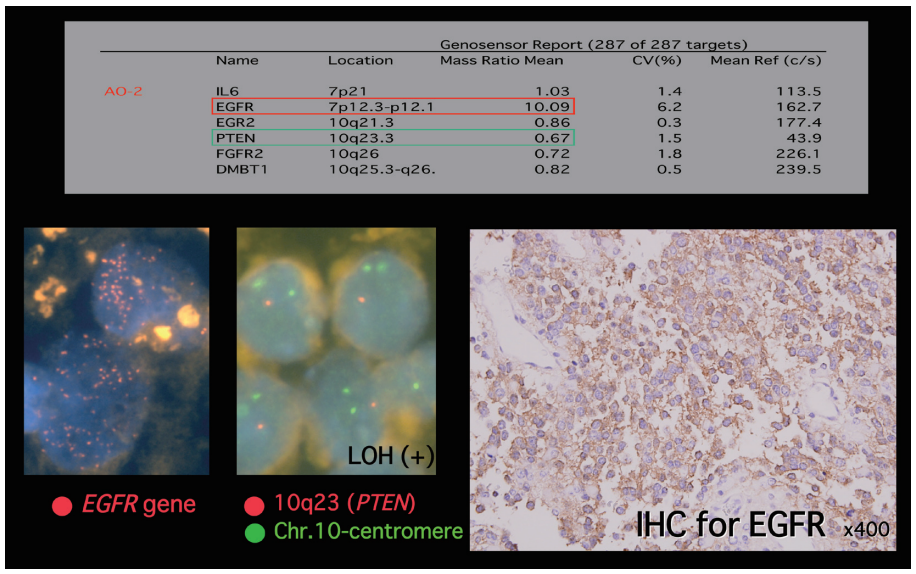


Fig. 2. AO-2.

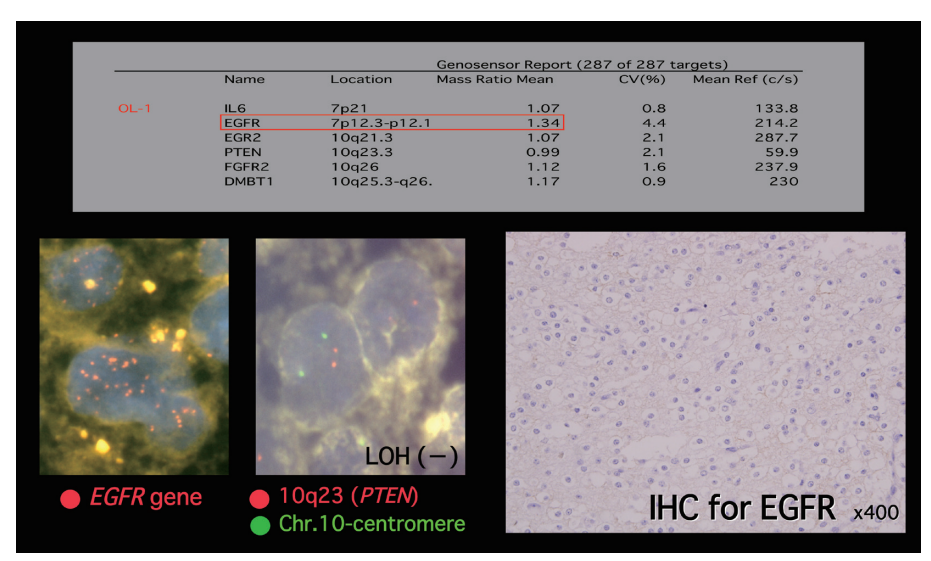


Fig. 3. OL-1.

Table 4. Summary of cases

Cases	Age (Y)	Sex	Site	% of removal	Outcome	EGFR	10q (PTEN)
OL-1	62	Male	Lt. frontal	50	PD	AMP	R
OL-2	61	Male	Blt. frontal	70	ST	NA	R
OL-3	25	Female	Lt. frontal	95	CR	NA	R
OL-4	33	Male	Lt. frontal	80	PD	AMP	R
OL-5	52	Male	Lt. frontal	90	ST	NA	R
OL-8	41	Male	Lt.parietal	20	ST	NA	R
AO-1	62	Male	Rt. frontal	95	ST	NA	R
A0-2	64	Male	Lt. frontal	95	PD	AMP	LOH
AO-3	47	Female	Rt. frontal	100	CR	NA	R
AO-4	42	Male	Lt. frontal	100	CR	NA	R
AO-6	46	Male	Rt. frontal	95	PD	AMP	LOH
AO-7	27	Male	Rt. frontal	100	CR	NA	R
AO-8	45	Female	Rt. frontal	90	ST	AMP	R
AO-9	42	Female	Lt. parietal	30	ST	NA	R
	AMP : amplified, NA : not amplified R : retained						

平成19年度 学内グラント報告書

地域住民の健康意識向上のためのプログラムの開発

研究代表者 柴﨑 智美(埼玉医科大学 地域医学・医療センター) 鈴木 洋通1, 河津 捷二2, 大野 洋一1, 菅野 義彦3, 研究分担者 荒木 隆一郎1, 宮﨑 孝1)

はじめに

国が2010年を目標に展開している健康日本21は、 国民の健康づくり対策の中心として位置づけられ ているが、2005年の中間評価では、肥満等を始め、多 くの健康指標の改善は見られていない. こういった状 況の中で市町村保健センターは地域保健の中でも身近 な保健サービスを提供する実施主体となっており、今 後の地域住民の健康づくりを広くサポートしていく中 心的な役割を持つことになる.

平成18年度よりは、高齢者に対する介護予防スク リーニングが健診に導入され、保健から介護の中継ぎ の役割までを保健センターが果たすことになった. 平 成20年度以降、メタボリックシンドロームをターゲッ トとした特定健康診査と、その後のリスクの程度に応 じた積極的な特定保健指導が40歳以上の健康診断に 導入され、この健診の実施主体が市町村から医療保険 者に移ることになった. この一連の対策は、生活習慣 病の予防対策を発症の予防から要介護状態の予防まで の一連の流れとしてとらえ、国民ひとりひとりのQOL の向上を目指していくという予防重視の視点からの取 り組みである。また一方で、医療保険者を実施主体と するという点から、医療保険者が特定健診実施計画を 策定し、5年後までに十分な対策が実施されない場合 には罰則に当たる規程が設けられており, 医療保険者 は積極的に対策に取り組まなければいけない状況に 追い込まれている.こういったことから,特に市町村国 民健康保険組合は、健診受診率向上のための方策を立 てることが急務となっており、同時にこれまで健診を 主導してきた市町村保健センターは、こういった変革 のなかで、どのように住民の健康づくりに携わってい

くのかという点で役割が見直されることになった.

このような社会的な状況の変化が起こっている中 で、埼玉医科大学が位置する毛呂山町は、従前より 住民健診(老人基本健診)の受診率が20%前後と低く (図1), また, 埼玉医科大学を除く地域の医療機関の 医師数は、人口10万対20.3人と大変少ない. 健診受診 率が低いことは、地域住民の健康意識が低いことを意 味することが多いが、毛呂山町の場合は、こういった 地域医療過疎の状況が影響している可能性がある. 本 研究では、本学が地域に根付いてプライマリから高度 先進医療までを担当しているという特色を生かして行 う地域住民のための健康推進活動を通して、健康意識 向上や健診受診率向上に関係する要因を明らかにし, 今後のわが国の生活習慣病予防対策や健康づくり対策 に関する資料を提供することを目的とする.

方 法

町の特定健康診査等実施計画策定にあわせ, 平成 19年11月に40歳以上75歳未満の国民健康保険加入者 7,842人のうち3,000人を無作為抽出し、過去の健診、 保健指導の受診状況, 現在の健康状態, 生活習慣に ついての自記式質問票を作成し、返信用封筒を同封し て郵送した. 調査内容は、性、年齢、地区、就業状況、 健診の受診状況、今後の健診受診、保健指導受診に対 する意向,疾病の有無,喫煙歴,飲酒歴,食行動,身 長, 体重, 理想体重の認識の程度, 適性飲酒・受動喫 煙・喫煙に関する知識、町が行う保健活動の認識並び に保健活動への参加意欲等である. 平成20年1月まで に回収された1,700人のうち、無回答をのぞく1,667人 55.9%について性別、年齢階級別に集計を行い、平成 18年度の健診受診の有無と関連する要因についてロ ジスティック回帰分析を用いて検討した.

地域医学・医療センター

¹⁾ 埼玉医科大学 地域医学・医療セ2) 埼玉医科大学 健康管理センター

³⁾ 埼玉医科大学 医学教育センター

(1)対象者の概要

集計対象者は, 男705人, 女962人であった. 職業は男では自営が最も多く33.6%, 次いで無職年金等が22.3%, 会社員14.3%, アルバイト・パート等が14.2%となっており, 女では, 主婦・家事等が33.1%と最も多く, 次いでパートアルバイト等が22.1%, であった. 家族, 親戚に医療関係者がいる者は, 男23.5%, 女22.9%である. 自己申告による最近の体格はBMI25以上の肥満が男27%, 女18.6%, 40歳代男で肥満の割合が32.8%と高かった.

(2)健康診断の受診状況

平成18年度の健診を受診した者の割合は男43.7%,女50.1%,かかりつけの病院等で受診した者が40.1%と最も高く,年齢が高いほどかかりつけの病院等で健診を受けるものが多かった.町ではかかりつけ医療機関での個別健診を70歳以下では実施していないため,かかりつけ医療機関で健診受診したものを除くと,受診率は男26%,女29.9%となった(図2).健診を受診しなかった理由は,「忙しいから」が30.0%,「病院にかかっているから」が31.5%,「自分は健康だから」が20.0%であった.その他50歳代男と40歳代女では,「受ける必要がないと思っている」がそれぞれ13.9%,

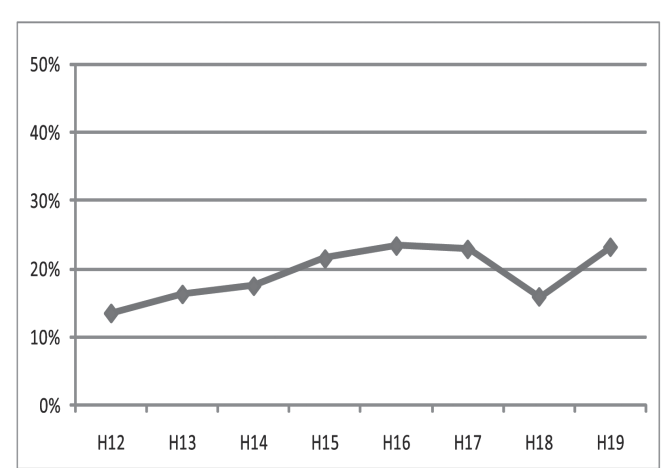


図 1. 毛呂山町の健診受診率の年次推移.

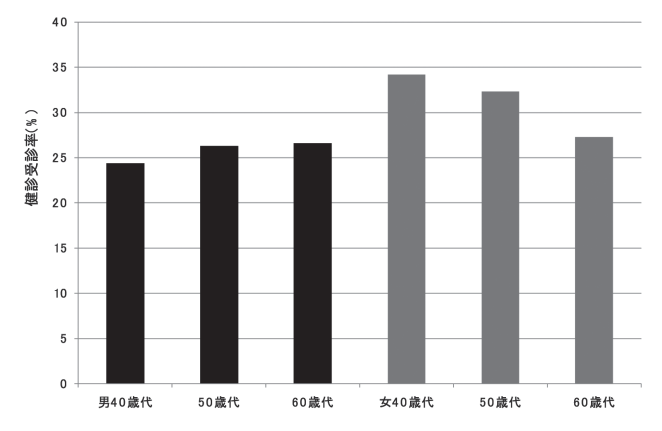


図 2. 平成18年度性年齢階級健診受診率.

11.1%を占めている.健康診断を受けることが大切だと思う者の割合は95.7%であったが、50歳代男では6.4%、40歳代女では5.1%が「思わない」と回答していた.今後健康診断を受けようと思う者は、毎年受けるが57.9%、何年かに1回受けるが28.0%、受けないが9.8%であった.「受けない」と回答した者の割合は、男では50歳代で13.6%、60歳代で10.0%、女では40歳代で12.0%と1割を超えていた.

(3) 現在の健康状態について

自分は健康であると答えた者は、全体の61.5%を占め、女の方が男よりどの年齢も高く、男女ともに40歳代が最も高かった。これまでに指摘された疾患では、脳卒中2.8%(男4.1%、女1.9%)、心臓病4.0%(男5.1%、女3.1%)、慢性腎不全1.0%(男1.6%、女0.5%)、高血圧27.4%(男30.9%、女24.8%)、高脂血症28.2%(男25.2%、女30.4%)、糖尿病(予備軍含む)12.4%(男17.6%、女8.5%)である。最大体重(BMI)が肥満であった者は39.5%(男46.8%、女34.2%)である。この1年間で体重が3キログラム以上増減した者は25.0%(男25.1%、女24.9%)であり、40代女は35.9%と女の中では最も高かった。

日常生活で健康に注意している者は全体の89.4%で、男では50歳代が77.1%と最も低く、女では40歳代が86.3%と最も低い、どの年齢も女の方が男よりも高くなっている。気をつけている内容としては、「バランスよく食べる」64.7%、「食べ過ぎない」61.5%、「体重を増やさない」57.8%、「定期的に運動する」43.1%であった、健康増進のために仲間同士で運動・行事等に参加している者は19.1%で、40代女13.7%、50代男11.0%と低くなっている。60歳代女では25.9%と4人に1人は参加している。

(4) 生活習慣について

1)食生活

食事にかける時間は、10分以上20分未満が最も多く49%、20分以上30分未満が29.4%、10分未満が11.8%であった.特に男では10分未満が17.9%を占めていた.朝食を欠食する割合は、男22.7%、女17.0%であり、男女ともに年令が低いほど欠食率が高くなり、40歳代の男では42.9%、女では29.9%である.食事の時間が規則正しいのは、男71.2%女74.7%と年齢が高いほど高くなる.お腹いっぱい食べる者の割合は、男22.8%、女30.0%である.めん類の汁等をほとんど残さず飲む者の割合は、男58.0%、女36.5%で若年者ほど高い.間食をほぼ毎日とる者は、男15.9%、女32.5%である.就寝2時間以内に夕食を取る者は男で38%、女24.3%であり、年齢が低いほど高い.夕食後に間食する者の割合は、男17.4%、女18.9%である.2)運動

軽く汗をかくくらいの運動をしている者は31.8%で男女ともに年齢が高くなると高い.特に女では,40

歳代で17.1%と、若年女で運動していない. 運動習慣(1回30分以上週2日以上の運動)有りの者の割合は17.6%(男18.9%,女16.6%)で、全国の男30.9%、女25.8%と比較して低い(図3). 1日の平均歩数は男5652歩、女4897歩で若年ほど歩数が少ない. 現在の運動で足りていると思う者は男24.5%,女21.8%,40歳代では男女ともに低くなっている.

3) 飲酒

飲酒している者は40.7% (男 61.8%, 女 25.2%),以前飲酒していたが今は飲まないは8.5% (男 9.6%,女 7.6%)である。週3日以上,1回日本酒1合以上の飲酒習慣ありの割合は,男38.6%,女7.9%で全国の男38.2%,女7.1%とほぼ同じ割合であるが,1日平均純アルコール60グラムを超えて多量に飲酒する人の割合は,男10.4%,女1.8%で,全国の男4.1%,女0.3%と比較して高い(図4).

4) 喫煙

現在喫煙者は男 42.1%, 女 16.3%で, 過去喫煙者は 男 35.6%, 女 8.4%である. 40歳代女では, 現在と過去の喫煙者あわせて 46.1%と高い. 現在習慣的喫煙者 は男 34.0%, 女 7.6%, 過去習慣的に喫煙していた者は 男 34.0%, 女 11.0%で全国の喫煙習慣者と比較して女の過去喫煙習慣者の割合が高い. 特に 40歳代女の現在 喫煙習慣者 11.1%, 過去喫煙習慣者 29.9%は, 全国の 13.7%, 6.0%と比較して高い(図5).

5) 行動変容のステージ

男では運動、食生活等の生活習慣を改善するつもりはないが最も多く42%、概ね6か月以内に改善するつもりであるが27.1%となっている.女では、概ね6か月以内に改善するつもりであるが31.2%と最も多く、次いで改善するつもりはないが27.9%である. 既に改善に取り組んでいる者の割合は男11.9%、女14.5%である.

(5)健康に関する認識と情報について

肥満がいろいろな生活習慣病の危険を高めること

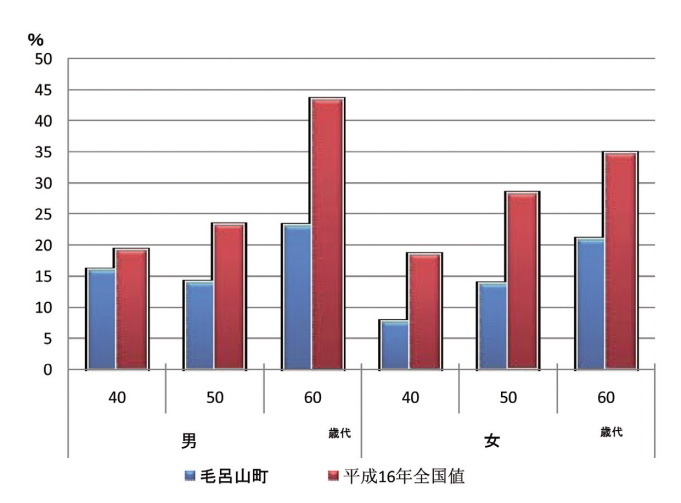


図3. 運動習慣者の割合の全国との比較.

を知っている者の割合は、男94.6%、女96.8%であり、認識は高い. 喫煙が肺がんなどの様々ながんの原因になることを知っている者の割合は、男96.0%、女96.8%、喫煙が循環器病の原因になることを知っている者の割合は、男94.0%、女95.0%であった. 健康に関する情報に関心がある者は、男89.5%、女94.8%と女で高い.

(6) 健診受診動向と関連のある要因について

平成18年度の健診受診と関連があるのは、「仕事が会社員、アルバイトパート」が性年齢調整オッズ比0.45、「20歳から10kg以上体重が増加」1.34、「現在喫煙」0.69、「現在飲酒」1.35、「健診を受けることが大切」が4.78、「自分が健康である」1.66、「健康増進のためにサークル等に参加している」1.52、「健康に関する情報に関心がある」0.57であった。(表1-4)

考察

特定健診,特定保健指導の導入により,市町村ごとに健康づくりに取り組む方法も多様化した.今回対象となった毛呂山町では,生活習慣病健診受診率向上に向けて取り組むための方法について検討することが緊

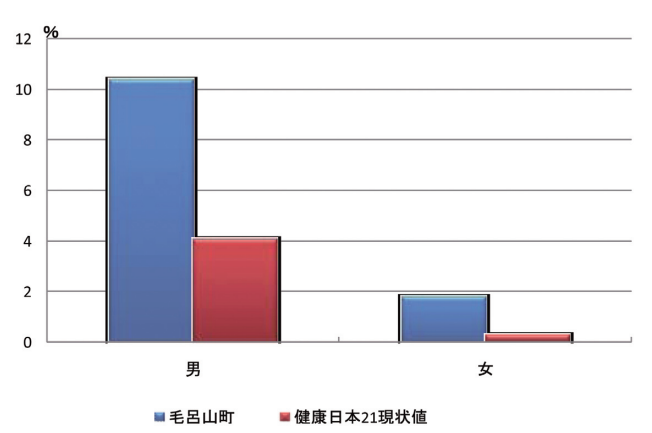


図 4. 多量飲酒者の割合の全国との比較.

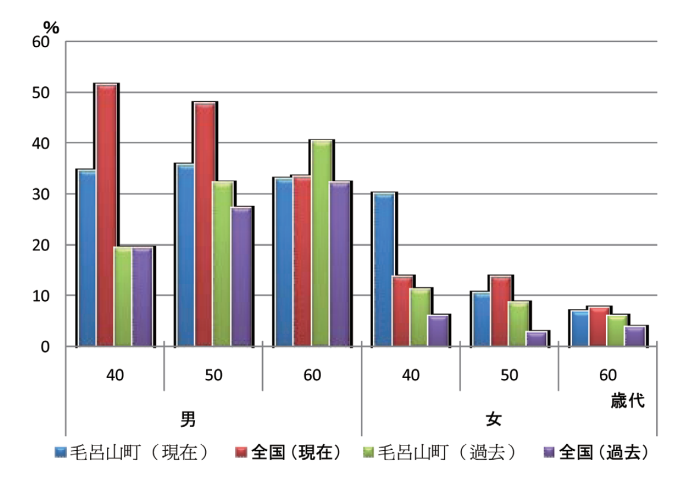


図 5. 習慣的喫煙者(現在, 過去)の割合の全国値との比較.

急の課題であった. そこで, 地域住民の健康に対する 意識, 生活習慣の現状を把握し, それらが健診受診行 動とどのような関連を持つのかを検討した.

健診についての意識では、健診を受診することが大切と思うものは男女ともに95%をこえて高いが、受診しない理由として40歳代で「忙しいから」が50%をこえ、50歳代男、40歳代女で「必要がないと思う」が10%をこえており、さらに今後健診を「毎年受ける」が60%弱ということからも、健診を受診することの必要性についての教育・広報が必要と考えられる.

健康であると感じる者は全体の60%であり、日常生活で健康に気をつけている者は89.4%、健康増進のための活動に参加している者は19.1%でともに女で高い.しかし、ここでも40歳代女と50歳代男では若干ではあるが低い傾向がある.

生活習慣の現状に関しては、運動習慣有りの者の割合が、男女ともに全国値より低く、また1日平均歩数も少なくなっている。今後歩きやすい環境の整備、機会の充実等の対策が必要である。飲酒習慣者は全国と比べ同程度の割合であるが、多量飲酒者の割合が、健康日本21で示された全国値より男女とも高い、喫煙習慣については、現在習慣的喫煙者の割合は男は60歳代を除き全国値より低いが、40歳代女は29.9%と全国の13.7%より高値である。朝食欠食率は、男女ともどの年代でも全国の値と比べて高く、特に40歳代では男42.9%、女29.9%と高い。

当初想定していた、家族等に医療機関関係者が多い ことは受診行動とは明らかな関連は認められず、か えって、忙しい等の理由により、正しい知識を得るこ とができていない可能性がある。これらから、健診受

表 1. 健診受診行動と関連する要因(性年齢調整オッズ比)

	95%信頼区間				
	オッズ比	下限 ~	上限	p値	
仕事が会社員、アルバイト、パート、非常勤職員等である	0.45	0.36 ~	0.57	<0.0001	
家族、親戚に医療関係者がいる	1.05	0.82 ~	1.36	0.695	
20歳の頃と比較して10kg以上体重が増加した 現在の体格	1.34	1.07 ~	1.68	0.010	
やせている	0.54	0.31 ~	0.95	0.033	
太っている	0.82	0.63 ~	1.07	0.135	
正常	1				

表 2. 健診受診行動と関連する要因(性年齢調整オッズ比)

		95%信	頼区間	
	オッズ比		~ 上限	p値
現在たばこを吸う	0.69	0.52	~ 0.93	0.014
過去に吸っていた	0.95	0.69	~ 1.30	0.739
吸わない	1			
飲酒習慣				
現在飲酒している	1.35	1.05	~ 1.73	0.018
過去に飲酒していた	1.03	0.68	~ 1.56	0.887
飲酒しない	1			
多量飲酒者	0.92	0.54	~ 1.57	0.760
適正飲酒者	1.29	0.97	~ 1.72	0.078
運動習慣				
軽く汗をかくくらいの運動を1日1回30分以上している	1.21	0.91	~ 1.59	0.186
自分の運動は足りている	1.04	0.80	~ 1.34	0.777
食習慣				
毎日3食食べている	0.77	0.57		0.072
朝食を食べないことがある	1.31	0.99		0.061
食事の時間は規則正しい	1.13	0.88		0.341
毎食の献立に野菜料理が入っている	0.78	0.55		
外食や仕出しあるいはコンビニのお弁当を食べることがある	0.93	0.75	~ 1.17	0.541
砂糖入りのコーヒーやジュース等を毎日飲む	1.06	0.84	~ 1.35	0.618
果物を毎日とる	0.80	0.63	~ 1.00	0.051
就寝前2時間以内に夕食をとることがある	1.09	0.86	~ 1.39	0.472
夜食をとることがある	0.98	0.74	~ 1.29	0.875

表 3. 健診受診行動と関連する要因(性年齢調整オッズ比)

		95%信賴	区間	
	オッズ比	下限 ~	上限	p値
健康診断を受けることが大切だと思う	4.78	1.71 ~	13.38	0.003
今後健診を何年かに1回以上受けようと思う	38.26	9.44 ~	155.01	<0.0001
今後健診を毎年受けようと思う	6.14	4.60 ~	8.18	< 0.0001
自分が健康だと思う	1.66	1.30 ~	2.11	< 0.0001
健康に気をつけている	1.16	0.78 ~	1.73	0.467
肥満がいろいろな生活習慣病の危険性を高めることを知っている	0.34	0.12 ~	0.99	0.047
喫煙が肺がんなどのがんの原因になることを知っている	1.16	0.44 ~	3.08	0.769
喫煙が循環器疾患の原因になることを知っている	1.16	0.69 ~	1.95	0.576
健康に関する情報に関心がある	0.57	0.33 ~	1.00	0.049
健康増進のためサークル活動等に参加している	1.52	1.17 ~	1.97	0.002
家族以外の人と交流がある	0.74	0.50 ~	1.08	0.121

表 4. 健診受診行動と関連する要因(性年齢調整オッズ比)

	オッズ比	95% 下限	信頼 ~	区間 上限	p値
運動や食習慣を改善するつもりはない	1				
概ね6か月以内に改善するつもりである	1.43	1.09	~	1.89	0.011
近いうちに改善するつもりである	1.69	1.20	~	2.37	0.003
すでに改善に取り組んでいる(6か月未満)	1.36	0.81	~	2.29	0.242
すでに改善に取り組んでいる(6か月以上)	1.49	0.99	~	2.24	0.053

診率向上のためには、健康、あるいは健康づくりに関する正しい知識の普及が必要である。特に、健診の目的・意義について、具体的には、病気の予防の重要性、通常の医療との違いについて様々な方法で周知していく必要がある。特に40歳代女は、健診受診率や、今後の健診受診の意向も低く、生活習慣にも問題がみられており、若年であること、この年代の女性の家庭における役割などを考えると、これらの年代にターゲットを絞った対策についても検討が必要と考えられた。

平成20年度の特定健康診査は、健診会場を地区集会所2か所を含む4か所と増やし、住民の利便性を考えて実施したところ、受診率は40%弱と、前年度の約2倍となり、特定保健指導も積極的支援対象者に対して、糖負荷試験、血管年齢測定などのオプション検査を追加するなど、魅力ある健診、保健指導を計画して実施している。21年度は動機付け支援対象者への働きかけなど、さらに利便性を重視した特定健診・保健指

導に取り組んでおり、さらに、40歳代女性など、生活 習慣に課題を持っている年齢層にターゲットを絞った アプローチを検討していく予定である.

注 人

研究遂行に当たっては、毛呂山町保健センター保健 師,職員の皆様,毛呂山町住民課国保年金係の職員の 皆様に多大なるご協力をいただきましたことをここに 深謝申しあげます.

研究成果リスト

学会発表

<u>柴崎智美</u> 大野洋一 荒木隆一郎 宮崎孝 羽生真由子 佐藤真喜子 <u>鈴木洋通</u>;国民健康保険加入者の健診受診動向に影響する要因に関する検討,第67回日本公衆衛生学会総会2008年11月,福岡

平成19年度 学内グラント報告書

呼気炭酸ガス分析による極低侵襲心拍出量測定法の開発

研究代表者 澤野 誠 (埼玉医科大学 総合医療センター 高度救命救急センター) 研究分担者 間藤 卓¹⁾,中田 一之¹⁾, 西岡 利彦²⁾

【緒 言】

心拍出量測定は集中治療、CCU、麻酔など多くの 領域において循環不全患者の管理に用いられている. しかしながら、心拍出量測定法のGolden Standardで ある肺動脈カテーテルを用いた熱希釈法(以下「肺 動脈カテーテル法」) による心拍出量のモニタリン グが、重症循環不全患者の予後を改善するか否かに ついては否定的なRandomized Controlled Trial (RCT) が相次いでいる (Harvey S,et al. Assessment of the clinical effectiveness of pulmonary artery catheters in management of patients in intensive care (PAC-Man): a randomised controlled trial. Lancet.2005 Aug 6-12;366(9484):472-7.など). 循環管理における心拍 出量測定の有用性は広く認められているにもかかわ らず、これらのRCTにおいて予後の改善が示されな かった最大の理由は、肺動脈カテーテル法の侵襲が大 きく, 合併症の頻度が高いことにある, という点で多 くの報告は一致している. 近年, 国内外にて肺動脈カ テーテル法に替わるより侵襲の小さい心拍出量測定法 として色素希釈法 (DDG法), 炭酸ガス再呼吸法など 数多くの試みが報告されているが、精度、再現性、測 定の煩雑さなどが問題となり、臨床応用は進んでい ない.

研究代表者(澤野)らは、以前より非侵襲的検査法である呼気分析の血行動態モニタリングへの応用に取り組み、一酸化炭素へモグロビン(COHb)濃度の非侵襲連続測定法(CoHb-EGA法)を開発し、その循環赤血球量および循環血液量測定への応用を報告した(Sawano M, Mato T, Tsutsumi H. Bedside red cell volumetry by low-dose carboxyhaemoglobin dilution using expiratory

gas analysis. ritish Journal of Anaesthia Vol.96 p186-94 2006). さらに澤野は、CoHb-EGA法をCOHb希釈法に応用した非侵襲的心拍出量測定 (呼気 CO 心拍出量測定法) の開発にとりくみ、平成19年度より3年間科学研究費補助金の交付を受けている.

しかしながら、呼気 CO 心拍出量測定法には、中心静脈および動脈カテーテルが不要であり極低侵襲であること、COHbの分布が血管内に厳密に限定されることによる測定精度が高いこと、という大きな利点とともに、あらかじめ自己血を採血し、これをCOガスにて飽和した後静脈注射する必要があり手順が煩雑で測定に時間がかかること、COHbの血中半減期が長く、短時間での繰り返し測定が困難なこと、などの難点がある。そこで澤野らは、さらなる低侵襲化ならびに、繰り返し測定を可能とすることを目標として、血中半減期が極めて短い炭酸ガス希釈法(重炭酸ナトリウム希釈法)による心拍出量測定法(呼気炭酸ガス心拍出量測定法)を考案した。

本研究は、呼気炭酸ガス心拍出量測定法の測定精度 の検証を、肺動脈カテーテルを用いた熱希釈法との同 時測定によりおこなうことを目的とした

【対象と方法】

1. 研究の対象

本研究開始に先立ち、研究の計画、対象、方法、予測される危険性、説明と同意の方法などを埼玉医科大学総合医療センター倫理委員会に提出し、その承認を既に得ている.(平成19年4月10日承認.申請番号99)

本研究の対象は、埼玉医科大学総合医療センター高度救命救急センターに研究期間中に入院した患者のうち、循環管理のため診療上の必要性から肺動脈カテーテルを留置した患者で、主治医の承諾を得た後、本人またはその代理人に、本研究の主旨、方法、予測さ

¹⁾ 埼玉医科大学 総合医療センター 高度救命救急センター 2) 埼玉医科大学 総合医療センター 心臓内科

れる危険性、研究への参加を拒否した場合にも一切の不利益を受けないこと、何時でも同意を撤回できること、などを研究代表者または共同研究者が文書により説明し同意を得た20名とした。また研究に必要な採血は、診療上必要な採血時におこない、本研究のために肺動脈カテーテルを留置することや、採血をおこなうことはなかった。

2. 呼気炭酸ガス心拍出量測定法の手順

- 1) 末梢静脈より8.4%重炭酸ナトリウム溶液(メイロン)0.4 ml/kg(20-30 ml)を急速静注した.
- 2) 重炭酸ナトリウム溶液注入前後に、図1に示したような、一方弁マスク回路または人工呼吸器の呼吸回路(呼気側)にて呼気を分離し、連続CO/CO2 濃度測定装置(株式会社タイヨウ製 Carbolizer mBA-2000)にて呼気中のCO/CO2 濃度を1秒毎に連続測定した.
- 3) 連続 CO/CO2 濃度測定データより澤野が開発した Reference Gas Method のアルゴリズムを用い, 論 理的呼気 CO2 濃度曲線 (=肺循環血液中炭酸ガス 濃度曲線) を得た (図2).
- 4) 重炭酸ナトリウム (炭酸ガス) 注入量および肺循環 血液中炭酸ガス濃度曲線より Stewart-Hamillton 法 にて心拍出量を算出した.

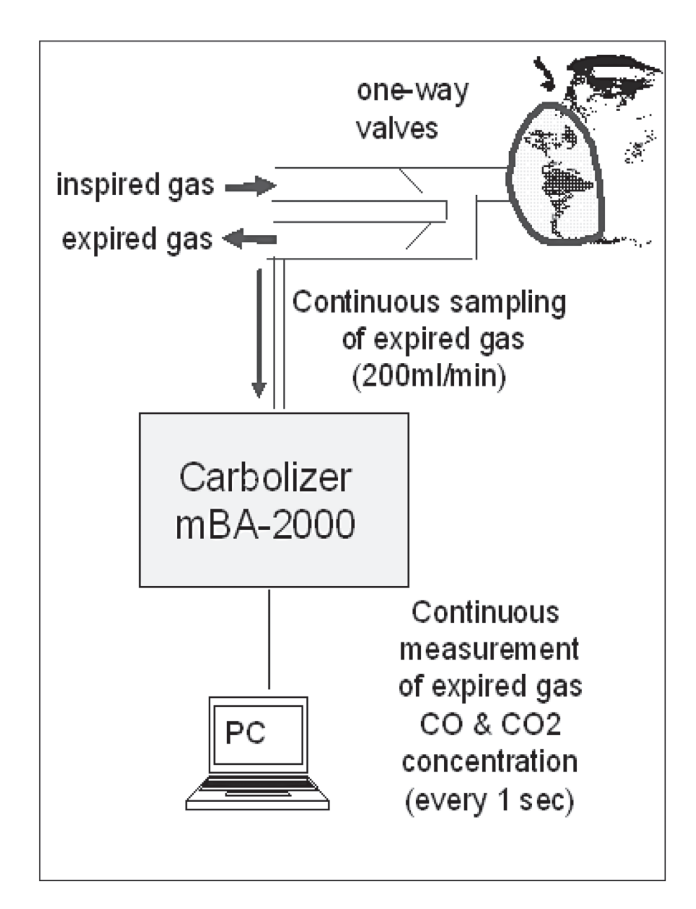


図 1. 一方弁を用いた呼気の分離・採取およびCarbolizer mbA-2000によるCO・CO2濃度の連続測定.

3. 統計的処理

呼気炭酸ガス心拍出量測定法および肺動脈カテーテル法(3回測定の平均値). にて同時測定した心拍出量のagreementをBland-Altmann 法により統計的に解析した.

【結果】

表 1 に 20 例における、呼気炭酸ガス法 (ECO2) ならびに肺動脈カテーテル法 (PAC) により測定した心拍出量、両者の平均 (MEAN)、差 (DIFFERENCE)、差の平均に対する百分率 (% DIFFERENCE) を示す。両法の差の bias は+1.7 L/min、limits of agreement touspie -0.6 L/min および +3.9 L/min であった。両法の差の平均に対する百分率では、bias touspie +20.6 %、limits of agreement touspie +3.0 % t

図3には、呼気炭酸ガス法(ECO2)ならびに肺動脈カテーテル法(PAC)により測定した心拍出量の差を縦軸に、両法の平均を横軸にプロットしたBland-Altmann diagramを示す。

図4には、呼気炭酸ガス法(ECO2)ならびに肺動脈カテーテル法(PAC)により測定した心拍出量の差の平均に対する百分率を縦軸に、両法の平均を横軸にプロットしたBland-Altmann diagramを示す。図4には各プロットの回帰直線を示した。

【考察】

近年、肺動脈カテーテル法に替わる、より低侵襲な心拍出量測定法がいくつか開発されているが、いずれも中心静脈カテーテル、動脈カテーテルのいずれかあるいは両方を必要とする技術である。それに足し、本研究でとりあげた呼気炭酸ガス心拍出量測定法では、唯一の侵襲は末梢静脈からの8.4%重炭酸ナトリ

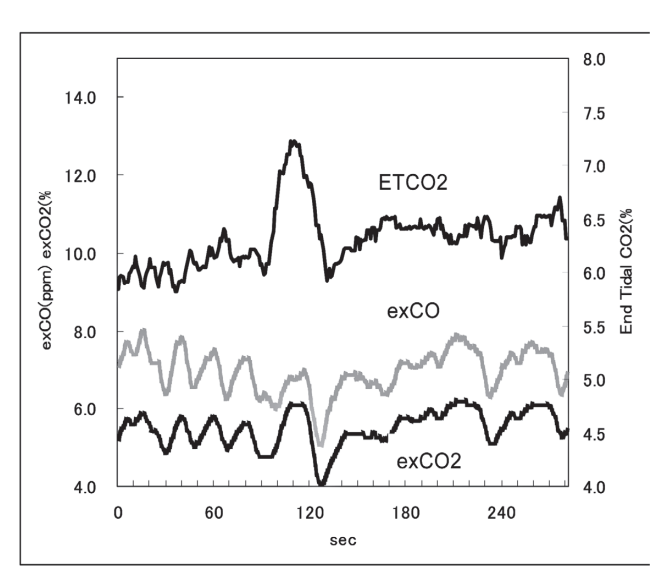


図 2. 連続測定した呼気 CO/CO2 濃度 (exCO,exCO) および 算出した呼気終末 CO 濃度 (ETCO) 曲線.

ウム液 $25 \sim 36$ mlの注入である. この量の重炭酸ナトリウム (商品名 メイロン注) は,薬事法で認められている用法・用量と比較しても少量であり,本法は圧倒的に安全かつ低侵襲である.

本研究にて示した呼気炭酸ガス法 (ECO2) ならびに

肺動脈カテーテル法 (PAC) により測定した心拍出量の差の平均に対する百分率 (% difference) のlimits of agreement $(+20.6\pm15.6\%)$ を、肺動脈カテーテル法による心拍出量測定値の再現性を示す coefficient of repeatability (文献的には $\pm15\sim22\%$,本研究では \pm

表 1. 20 例における呼気炭酸ガス法 (ECO2) ならびに肺動脈カテーテル法 (PAC) により測定した心拍出量,両者の平均 (MEAN),差 (DIFFERENCE),差の平均に対する百分率 (% DIFFERENCE)を示す.

	ECO2	PAC	MEAN	DIFFERENCE	%DIFFERENCE
SUBJECT	(L/MIIN)	(L/MIN)	(L/MIN)	(L/MIN)	(%)
#1	5.3	4.5	4.9	0.8	16
#2	5.8	5.2	5.5	0.6	11
#3	7.8	6.8	7.3	1	14
#4	12.5	10.1	11.3	2.4	21
#5	13.2	10.5	11.9	2.7	23
#6	10.2	7.8	9.0	2.4	27
#7	5.8	4.6	5.2	1.2	23
#8	4.5	3.8	4.2	0.7	17
#9	5.8	5.4	5.6	0.4	7
#10	8.1	7.2	7.7	0.9	12
#11	8.5	6.8	7.7	1.7	22
#12	3.5	2.9	3.2	0.6	19
#13	6.4	5.4	5.9	1	17
#14	15.1	10.2	12.7	4.9	39
#15	11.2	8.9	10.1	2.3	23
#16	8.1	6.2	7.2	1.9	27
#17	7.2	5.7	6.5	1.5	23
#18	6.8	6.1	6.5	0.7	11
#19	12.1	8.9	10.5	3.2	30
#20	10	7.4	8.7	2.6	30

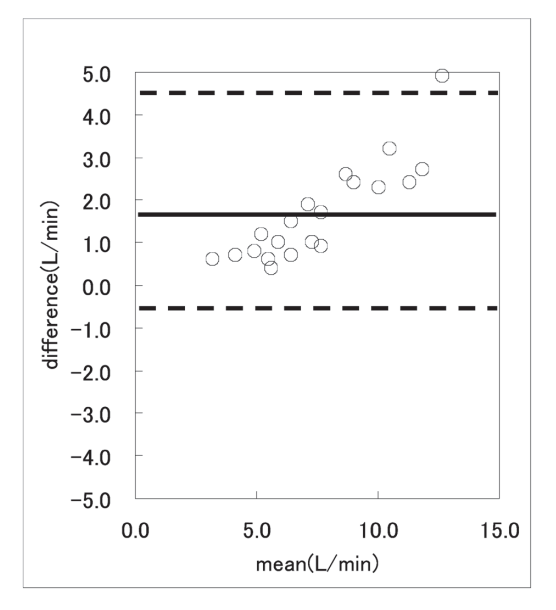


図 3. 呼気炭酸ガス法 (ECO2) ならびに肺動脈カテーテル法 (PAC) により測定した心拍出量の差 (difference) を縦軸に、両法の平均 (mean) を横軸 にプロットした Bland-Altmann diagram. 実線は bias を、点線は limits of agreementを示す.

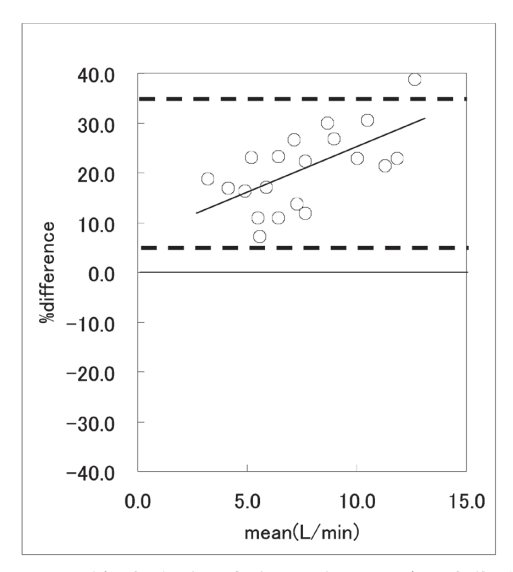


図 4. 呼気炭酸ガス法 (ECO2) ならびに肺動脈カテーテル法 (PAC) により測定した心拍出量の差の平均に対する百分率 (% difference) を縦軸に、両法の平均 (mean) を横軸にプロットした Bland-Altmann diagram. 実線は一次曲線 (回帰直線) による biasを、点線は limits of agreementを示す.

17%)と比較すると、両法の間の大きなbiasを考慮しなければ、呼気炭酸ガス法による心拍出量測定の精度(正確性)は、肺動脈カテーテル法と同等以上であると評価される。したがって、両法の間のbiasを補正すれば、心拍出量測定において呼気炭酸ガス法は肺動脈カテーテル法のより低侵襲かつ低コストな代替法と充分なりうると結論される。

両法の間の比較的大きなbiasの原因は,静注された 重炭酸ナトリウム溶液中のNaHCO3が肺動脈に達する までの時間では,全量炭酸ガス(CO2)に代謝・変換さ れないことにあると考えられる.静注されたNaHCO3 は,血中でNa+およびHCO3ーにイオン化され,つい でHCO3ーがCO2とOHー(H+と反応し消去)に代謝 される過程で,co2が萌出される.この過程の反応速 度は,血液の酸塩基平衡(pH)などにより変化しうる. 心拍出量の高い例で,両法の較差が相対的に大きく なる(図4)現象は,高心拍出量のもとでは末梢静脈に 注入された重炭酸ナトリウムが肺動脈に達するまでの 時間が相対的に短く反応が進む時間が不足することに より説明される.

今後の課題としては、さらに肺動脈カテーテルとの対照試験を大規模におこない、両法の間のbiasについて様々な条件下でデータを蓄積し、補正式を確立することが挙げられる。このbias補正が可能となれば、呼気炭酸ガス心拍出量測定法の実用化ならびに臨床応

用への道が開け、循環不全患者に対する診療水準の向上のみならず、医療安全にも大きく寄与するものである。さらに尿素呼気試験とほぼ同等の安全さ簡便さにて心拍出量のリアルタイム測定が可能となることから、その低侵襲性を生かし、軽症患者や外来患者、さらにはスポーツの現場などまで、その応用範囲が広がることが期待される。

【研究成果リスト】

原著論文

- <u>澤野誠</u> 循環動態モニタリングへの呼気分析の応用 新しい低侵襲測定技術の開発安定同位体と生体ガス: 医学応用 (1883-2393)1巻1号 Page32-8 (2008.09)
- ・<u>澤野誠</u> 呼気分析による極低侵襲心拍出量測 定法の開発 呼気生化学の進歩(1881-5987)10巻 Page11-5(2008.03)
- 選野誠 CO, その他 呼気一酸化炭素分析の心拍 出量測定への応用 呼気分析は肺動脈カテーテル を超えるか? 呼気生化学の進歩 (1881-5987)9巻 Page23-6(2007.03)

学会発表

・選野誠, 間藤卓, 中田一之, 森脇龍太郎, 大森達人, 山口充, 堤晴彦 呼気分析を応用した極低侵襲心 拍出量測定法の開発 第36回救急医学会総会 2008.10.13~15 札幌

 $\ \, {\mathbb C}$ 2009 The Medical Society of Saitama Medical University

http://www.saitama-med.ac.jp/jsms/

平成20年度 学内グラント報告書

地域学校保健情報に基づく 小児好発感染症全数調査システムの構築と応用

研究代表者 荒木 隆一郎(埼玉医科大学 地域医学・医療センター) 研究分担者 羽生 真由子*, 柴﨑 智美*, 佐藤 真喜子*, 大野 洋一*, 宮﨑 孝*, 鈴木 洋通*

緒言

現在小児好発感染症・学校感染症のサーベイランスは、主として小児科専門施設での定点観測と各校での学級閉鎖の状況把握に基づいて行われている。学校感染症はしばしば学級・学校・小地域単位での流行が見られ、学級・学校ないし学区・市町村単位での流行状況把握は、感染症の発生および伝播の様相を探り有効な予防対策・流行拡大の抑止策を講じる上で有用な情報となる。

感染症には、学齢期児童(小・中学生)での罹患率が他の年齢階級と比較して高く、かつ他の年齢階級にも感染拡大しやすいものがあり(とくにインフルエンザ)、地域の小・中学校が「培養器」となってその地域での感染症流行拡大を助長している可能性がある。したがって流行状況の迅速な把握と分析に基づく対策が重要と考えられる。しかしながら公的機関による感染症発生動向調査では、流行状況把握から公開までのタイムラグが大きいこと、小地域毎の情報が提供されないことなど制限が大きい。また現在の学校感染症サーベイランスにおいて、各校毎に集計した欠席情報は、学校保健法省令・教育委員会訓令に基づき教育委員会への届出が行われるが、その情報の地域での集積・学校現場への迅速な還元は現実には十分に行われているとは言い難い。

本研究は、学校感染症動向の一次情報を各校で直接 把握する各校養護教諭が、インターネットに接続され ている各校のPCからウェブ経由で感染症情報サーバ に入力することにより、出席停止の対象となる感染症 については定点観測対象疾患を含めて全数把握し、学 校保健および地域の感染症対策の現場への迅速な情報 *埼玉医科大学 地域医学・医療センター 還元を目的の一つとする. またこれに基づいて, 日々の地域での感染症流行伝播の様相を探り, 行政的・医療的な介入の効果を予測・評価することで地域の健康水準を高める手段を明らかにし, さらに地域での, 新興感染症を含む感染症への対応策について検討することを目的としている.

なお本研究は、当初2ヶ年計画として感染症情報收集システムの立ち上げ、およびその後の長期に渡るサーベイランスにより蓄積される感染症情報の解析計画を立案したが、学内グラント選考委員会・医学研究センター研究支援管理部門の決定により単年度助成となった。したがって本稿は、研究計画途上の進捗状況報告であることを付記する。

調査対象と方法

本研究では調査対象を、埼玉医科大学病院の位置する毛呂山町を中心に大学病院および関連病院がカバーしている二次保健医療圏とする計画である。平成20年度は立ち上げ年度として、毛呂山町立小学校4校・中学校2校および坂戸市立小学校13校・中学校8校を対象とした。

感染症情報收集システムとして、html、PHP、およびJavaScriptを用いウェブサーバ上に構築された対話式の情報登録・集計・閲覧システムを用い、インターネットに接続された各校のPCからウェブブラウザを用いて入力・閲覧する方式を取った。入力された情報はMySQLを核として保存・管理され、フロントエンドからの問い合わせに応じて過去の入力履歴・感染症情報の集計結果等をウェブブラウザに表示させた。ウェブサーバには、学外レンタルサーバを利用した、入力者は各校養護教諭または担当者であり、各校毎に「感染症情報登録」および「集計結果閲覧」メニューに

アクセス可能な制限ID・パスワードを発行した. 遠隔管理用IDはさらに「CSV形式データ出力」および「ユーザマスタメンテナンス」メニューにアクセス可能とした. 図1に,本システムにログイン後表示されるメニュー画面を示す. 収集した感染症情報は,「集計結果閲覧」メニューから参照可能なものの他,週報として各校担当者および教育委員会にフィードバックした.



図1. 感染症情報收集システムメニュー画面. 各校担当者には制限IDが発行され、「感染症情報」および「集計結果閲覧」メニューにアクセス可能である. また遠隔管理用IDはさらに、CSV形式での「データ出力」および「ユーザマスタメンテナンス」メニューにアクセス可能とした.

結果と考察

現在,2009年第24週までの学校感染症情報を把 握しており、感染症情報サーバの「集計結果閲覧」メ ニューへのアクセスにより、データ入力後即時閲覧可 能な感染症発生状況の他、週毎に金曜までの動向を埼 玉県および全国の感染症流行状況と併せて1-2ページ に要約した「埼玉医科大学感染症情報収集システム週 報」を発行し、各校および教育委員会に還元している (図2, 図3). なお、本システムでは、新規情報入力後 リアルタイムでの流行状況閲覧が可能ではあるもの の,地区別・学校別の流行状況表示等のウェブブラウ ザ上での閲覧については今後の課題となる. また、初 等・中等教育の現場におけるコンピュータ支援教育 は従来より進められて来ているものの、学校保健現場 でのコンピュータ/インターネットリテラシーやIT技 術活用のためのインフラは未だ十分とは言い難く、そ のためインターネット経由(メールおよびウェブ)以 外にFAXも併用してデータエントリー・情報還元を実 施してきている.

2009年6月時点で、学校保健現場での一次利用者である各校養護教諭に本システムによる還元情報をどのように利用しているか・今後学校関係者だけでなく一般への公開可否等についてアンケート調査を実施した。利用方法については、「職員会議で提示」、「掲

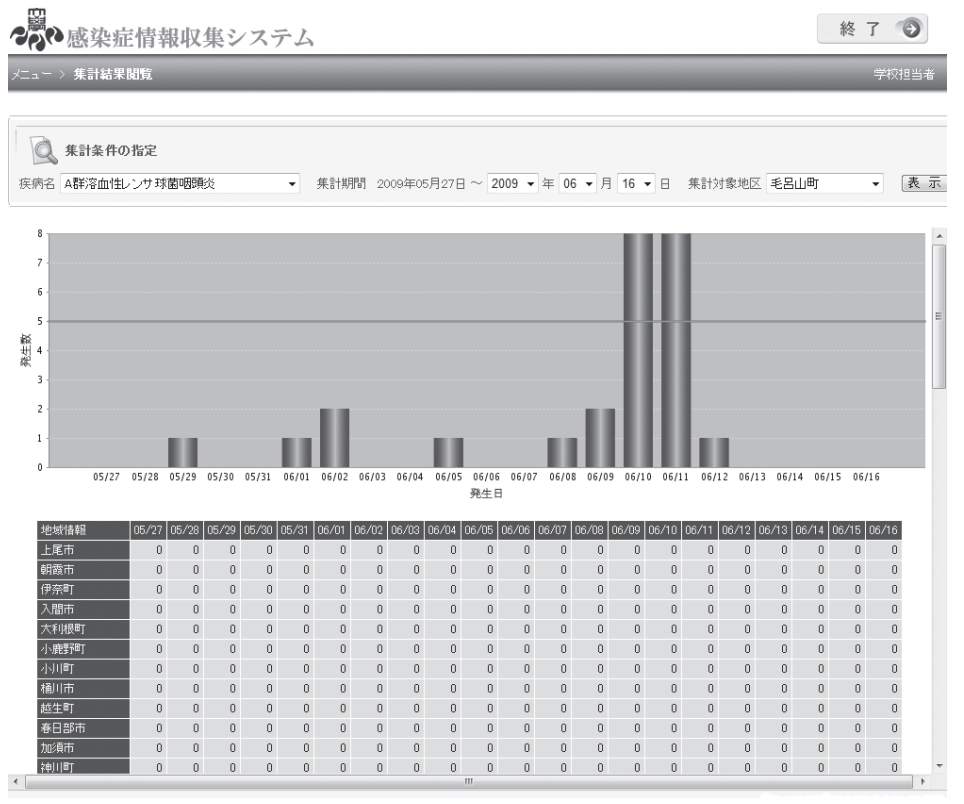


図 2. 2009年5月27日~2009年6月16日の毛呂山町におけるA群溶血性連鎖球菌咽頭炎の発生状況.「集計結果閲覧」メニューから参照可能となっている.

示板に掲示」、「他校の状況を知り感染症拡大の予防に役立てる」、「保護者への情報提供」などの回答が多く、また一般公開については「条件付で賛成」が大半であった。公開する際の条件として、「学校名を伏せる」、「保護者・学校関係者・医療機関等に限定」とするものが多かった。本システムにより集積された情報の一般公開については、今後関係者と意見交換ならびに調整

を図り、適切な情報還元とその活用を進めてゆきたいと考えている.

謝辞

本研究は平成20年度埼玉医科大学学内グラント (20-3-1-06))の補助を受けて行われた.本研究の遂行にあたり御協力頂きました毛呂山町立・坂戸市立小中学

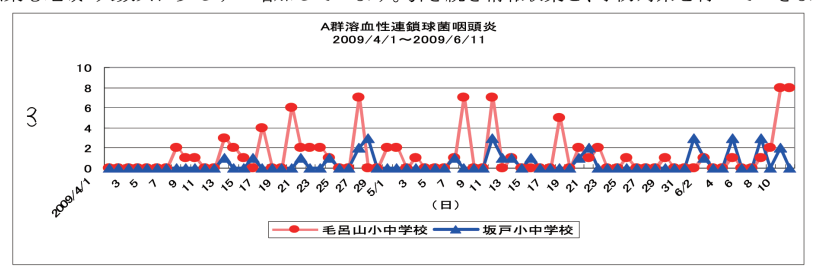
埼玉医科大学感染症情報収集システム

毛呂山町・坂戸市の週報 (6月5日~6月11日)

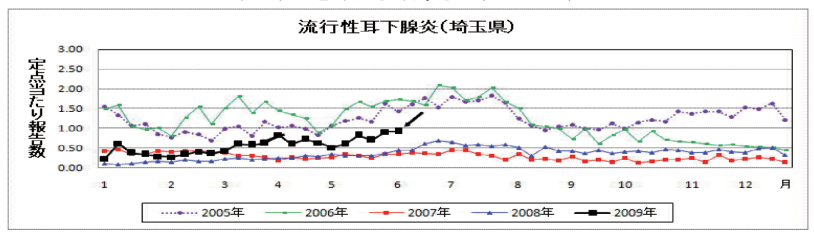
今週も季節性インフルエンザによる出席停止報告数はありませんでした。その他の感染症は、A 群溶血性連鎖球菌咽頭炎 28 件(\bigcirc 0 \bigcirc 小 5 件、 \bigcirc 0 \bigcirc 小 1 件、 \bigcirc 0 \bigcirc 小 2 件、 \bigcirc 0 \bigcirc 小 1 件、 \bigcirc 0 \bigcirc 小 1 件、 \bigcirc 0 \bigcirc 0 小 1 件、 \bigcirc 0 \bigcirc 0 小 1 件、 \bigcirc 0 \bigcirc 0 小 1 件(\bigcirc 0 \bigcirc 0 中 1 件)、成染性胃腸炎 1 件(\bigcirc 0 \bigcirc 0 中 1 件)、依染性紅斑 1 件(\bigcirc 0 \bigcirc 0 小)、伝染性膿か疹 1 件(\bigcirc 0 \bigcirc 0 の報告がありました。A 群溶血性連鎖球菌咽頭炎が毛呂山町で急増しています。主に飛沫感染で、症状は突然の発熱、咽頭痛、嘔吐、腹痛です。予防のためうがい、手洗いを励行しましょう。埼玉県内では流行性耳下腺炎が流行しています。

【新型インフルエンザ情報】

世界保健機構 (WHO) は、世界的大流行の「フェーズ 6」へ警戒度を引き上げました。6月 11 日時点で国内発生は20 都府県で累積508人に達しました。成田空港の検疫で見つかった10人を含めると累積518人です。 埼玉県内では4人の感染が確認されています。政府は当面対策の大きな方向は変わらないとしていますが、国内での感染も地域・人数共に少しずつ増加しています。引き続き情報収集と、予防対策を行っていきましょう。



埼玉県の感染症流行状況(6/1~5/7)



感染症流行状況

疾患	推移	流行状況	疾患	推移	流行状況
インフルエンザ	1	*	伝染性紅斑	\rightarrow	*
RSウイルス感染症	\rightarrow	*	突発性発しん	→	*
咽頭結膜熱	\rightarrow	*	百日咳	→	*
A群溶血性レンサ球菌咽頭炎	→	**	ヘルパンギーナ	→	*
感染性胃腸炎	→	**	流行性耳下腺炎(おたふくかぜ)	→	**
水痘(みずぼうそう)	1	**	急性出血性結膜炎	1	*
手足口病	\rightarrow	*	流行性角結膜炎	1	*

埼玉県衛生研究所感染症情報センターホームページ (http://www.pref.saitama.lg.jp/A04/BA30/eiken/surveillance/srv/ippann/2009/srv-week091

D.htm) より 発行:埼玉医科大学地域医学・医療センター 電話:049-276-1168、FAX:049-294-6907 2009年6月12日

図 3.2009年第24週の「埼玉医科大学感染症情報収集システム週報」、学校名は伏せ字とした.

校養護教諭ならびに教育委員会関係者各位に深謝いたします.

研究成果リスト

学会発表

- ・荒木隆一郎,羽生真由子,柴崎智美,佐藤真喜子, 宮崎孝,大野洋一,鈴木洋通,全数把握を目的と した小児好発感染症情報收集システムの構築に関 する検討,日本公衆衛生雑誌,2008;55(10):pp450 (第 67回日本公衆衛生学会総会抄録集)
- ・<u>羽生真由子</u>,佐藤真喜子,鈴木幸子,荒木隆一郎, 宮崎孝,大野洋一,柴崎智美,鈴木洋通,地域にお けるインフルエンザ発生状況と迅速診断検査の有用

- 性, 日本公衆衛生雑誌, 2008;55(10):pp450 (第 67 回日本公衆衛生学会総会抄録集)
- ・<u>羽生真由子</u>,佐藤真喜子,荒木隆一郎,宮崎孝,大野洋一, <u>柴崎智美</u>,鈴木洋通,学校感染症出席停止状況から みた2008/2009シーズンインフルエンザの特徴,日 本公衆衛生雑誌,2009;56(10),印刷中(第68回日本 公衆衛生学会総会抄録集)
- ・<u>柴崎智美</u>,<u>羽生真由子</u>,<u>佐藤真喜子</u>,<u>荒木隆一郎</u>, <u>宮崎孝</u>,<u>大野洋一</u>,<u>鈴木洋通</u>,学校感染症出席停止 状況からみた2008/2009シーズンインフルエンザの 特徴 第2報,日本公衆衛生雑誌,2009;56(10),印刷 中(第68回日本公衆衛生学会総会抄録集)

© 2009 The Medical Society of Saitama Medical University

http://www.saitama-med.ac.jp/jsms/

平成20年度 学内グラント報告書

トポイソメラーゼ I の概日リズム性発現の解析: 時間治療の分子基盤確立を目指して

池田 正明(埼玉医科大学 医学部 生理学) 研究代表者 研究分担者 佐々木 康綱1,藤田 健一1,楊 芳²⁾. 熊谷 惠³⁾. 中島 芳浩4),近江谷 克裕4)

Keywords: Topoisomerase I, Cricadian rhythm, clock genes, chronotherapy, Camptothecine

要 旨:

トポイソメラーゼI(トポI)はDNAの2重螺旋構造 を解くのに必須の酵素であるが、細胞周期の全期間に 亘って核に発現し、抗がん剤のカンプトテシン(CPT) の標的としても知られている. 最近, トポIが概日リズ ム性の発現を示し、しかもその発現は内因性のグルコ コルチコイドレベルに依存していること、また、CPT の抗がん作用は、トポI活性が上昇した時に増強される ことが報告された.しかし、トポIの概日リズム性発現 が時計遺伝子によるものであるかは明らかではない. また、抗がん剤 CPTの時間治療を確立するためには、 トポIの概日リズム性発現の分子機構を明らかにする ことが重要である. そこで私たちは、先ず細胞レベル でトポIが概日リズム性発現をすることを確認するた め、NIH3T3細胞に2時間のデキサメサゾン刺激を同 調刺激として加え、この刺激から24から48時間後のト ポI mRNAを測定し、それが概日リズム性の発現を示 すことを確認した. 次に転写レベルでの発現調節を解 析するため、ヒト、マウスのトポIのプロモーター領 域を比較し、エクソン1の両者で配列が高度に保存さ れている領域内に2カ所のE-box (E1, E2) および1カ所 のD-boxがあることを見いだした. ゲルシフトアッセ イによって、E2配列およびD-boxにはBMAL1/CLOCK ヘテロ二量体およびDBPがそれぞれ結合することが示 された. 次に、トポIプロモーター下流にPEST配列を

含むルシフェラーゼ遺伝子を挿入し、NIH3T3細胞に トランスフェクションを行い、その活性変動を、発光 を指標にリアルタイムで計測(クロノス)し、このプロ モーターに自律的な概日リズム性発現があることを確 認した. またこの発現位相はPer2と極めて近いことが 示された. 更にこれらのE-boxおよびD-boxの変異体を 作成し、クロノス解析を行ったところ、E2, E1/E2, D, E1/D, D, E1/E2/Dを欠失させたトポIプロモーターは, 振幅が60%以上低下した. 以上の結果より、トポIは、 細胞レベルにおいて、E2およびD-boxを介して時計遺 伝子によって自律的に概日リズム性発現することが示 された. 本研究で得られた結果は、トポIの発現とカン プトテシン感受性との関連を分子レベルで解析する為 の実験的証左を提供するものであり、同薬物による腫 瘍の時間治療に、分子レベルでの手がかりを与えるこ とが期待される.

緒言

二本鎖のDNAは生理的な条件では二重らせん構造 を形成しており、この二重らせんにはねじれが生じ ていることが知られている. このねじれ構造を超らせ ん構造というが、このDNAの立体構造を変える酵素と して、トポイソメラーゼがある.トポイソメラーゼに はIとIIがあり、2本鎖の片方だけを切断して再結合さ せるトポイソメラーゼI(トポI)、両方を切断して再結 合させるタイプのトポイソメラーゼII(トポII)がある.

トポIは二重らせん構造を変化させる機能がある が、このような機能を通して、DNA複製などに関与 していることが知られている. また、JUNなどの転写 因子によるRNAポリメラーゼIIの活性化にもコファク

¹⁾ 埼玉医科大学 国際医療センター 腫瘍内科

ターとして関与することも報告されている. さらに, CPTの誘導体である抗がん薬イリノテカン (irinotecan) の標的分子で、トポI活性阻害を介して抗がん作用が 発現することことも広く知られている¹⁾. さらに,肺 小細胞がんや卵巣がんなど様々ながん細胞でその発現 が増加していることが報告されており、またこの発現 量はカンプトテシン感受性とも関連することが指摘さ れている. カンプトテシンの感受性や副作用は、生体 に投与する時間帯によって変動することが知られて おり², この変動はトポIの発現動態と関連している可 能性が指摘されている. カンプトテシンによるがん治 療に時間治療を応用するためには、カンプトテシンの 吸収、代謝ばかりでなく、その標的因子であるトポIの 発現動態を解析する必要がある. Kuramotoらはマウ ス肝臓におけるトポIRNAの変動に日内リズムがある こと、またそのリズムは副腎の摘出で消失することか ら、トポI RNAの日内変動は副腎皮質ホルモンのリズ ムによって制御されている可能性を報告している^{3,4)}. しかし、トポIの概日リズム性発現を、転写レベルで解 析した報告はなく、概日リズム性発現調節機構を分子 レベルで解析するためには、トポIのプロモーター解 析を行なう必要がある. 本研究ではマウス トポIのプ ロモーター 5,60 をクローニングし、継時的に長時間プロ モーター活性を計測可能な系を本研究に応用すること により、時計遺伝子によるリズム発現機構を明らかに した.

材料と方法

マウス トポIプロモーターのクローニングと変異体の作成

マウストポIプロモーターはマウスゲノム由来 DNA (Novagen) を鋳型として、プロモーター領域に設定したプライマーを用いて PCRを行ない、得られた PCR 産物は Eluc-PEST-T (Toyobo) に導入した。 E-box および D-box 時計遺伝子結合領域の変異体は、Quick Change site-directed mutagenesis kit (Stratagene) によって変異導入用プライマー

mTopoI-E1mut:5'-

CACGCTTCAATCCAG<u>GGT</u>GTGGGGGGCAGAGGC-3'; mTopoI-Dbox-mut: 5'-

GAAATGCGAACTTAGGCTG<u>GG</u>ACACAACTGCTGGGGG-3':

mTopoI-E2mut: 5'-

GAACTTAGGCTGTTACA<u>TT</u>ACTGCTGGGGTCTGT TC-3';

mTopoI-E2/Dmut: 5'-GAACTTAGGCTG<u>GG</u>ACA<u>TT</u>AC TGCTGGGGTCTGTTC-3'

をそれぞれ用いて作成した.

<u>ルシフェラーゼアッセイ</u>

レポーターコンストラクトおよび一過性細胞発現

コンストラクトはLipofectamine (Invitrogen) によって NIH3T3 細胞に導入した. NIH3T3 細胞は24 wellプレー トにトランスフェクションの前日に1 wellあたり5万個 となるように播種した. 培地は10%のウシ胎児血清, ペ ニシリン (25 U/ m l), ストレプトマイシン (25 μg/ml) を加えたDMEM (Invtrogen) を用いた. 発現効率の補正 のため内部標準としてphRG-TK (Promega) を共発現さ せた. 典型的なアッセイでは1 wellあたり60 ngのレポー ターベクター, 50 ngの発現ベクター, 6 ngの phRG-TK ベクターを混合し、さらに最終の DNA 濃度を一定に するため pcDNA3 を加えて合計 260 ngとした. トラン スフェクション後24時間経過した時点において、細胞 は PBSで洗浄後、 Passive Lysis buffer (Promega) を用い て溶解し、Dual Luciferase Assay kit (Promega) によっ てホタルおよびウミシイタケルシフェラーゼ活性を測 定した. 測定には Fluoroskan Ascent FL ルミノメーター (Labsystems)を使用した.

時計遺伝子プロモーター活性のリアルタイム計測

トランスフェクション前日に NIH3T3 細胞を35 mm プレートに30万個になるように播種し、lipofectamine PLUS (Invitrogen)を用いてトランスフェクションした. 24時間後、細胞は $0.1\,\mu$ Mデキサメサゾン (Nakalai Tesques)で2時間処理し、10%ウシ胎児血清、10~mM HEPES バッファー (pH 7.2)、0.1~mM ルシフェリン (Toyobo)、25~U/mI ペニシリン、 $25~\mu$ g/ml ストレプトマイシンを含む DMEM で置き換え、クロノス(AB2500 Kronos;ATTO)によって10分間隔で発光量を測定した、細胞は4日以上培養し発光量は10ポイント移動平均をとり、12時間の移動平均を用いてデトレンドを行なった。

リアルタイムRT-PCRによるRNAの定量

NIH3T3 細胞はデキサメサゾン2時間処理し,処理から24時間経過した時点から4時間間隔で24時間にわたって同細胞からRNAを抽出した.RNA抽出にはISOGEN (日本ジーン)を用いた.RNAは逆転写酵素で1本鎖DNAを合成後,トポIおよびGAPDH特異的プライマー,One Step SYBR PrimeScript RT-PCR Kit (Takara)を用いてABI 7300 (Applied Biosystems) により定量化した.

ゲルシフトアッセイ

CLOCK, BMAL1, DBPタンパクは TNT T7 coupled Reticulocyte Lysate System (Promega) によって CLOCK/pCR3.1, BMAL1/pcDNA3, DBP/pcDNA3.1 を用いて合成した.トポIプロモーター / エンハンサー 領域にある 2 箇所の E-box, 1 箇所の D-box 周辺領域配列を合成後, 二本鎖としプローブとして用いた. 二本鎖オリゴヌクレオチドは T4 ポリヌクレオチドキナーゼ (Takara) を用いて [γ-32P] ATP (Amersham) によりラベルした後,各蛋白と結合バッファー (5 mM MgCl₂, 2.5 mM EDTA, 2.5 mM DTT, 250 mM NaCl, 50 mM Tris-

HCl (pH 7.5), 0.25 ug/ul poly dIdC in 20% glycerol) 中で 4° C, 20 分間インキュベーションし,6% ポリアクリルアミドゲルで 130 Vの条件で電気泳動した. 泳動後ゲルはゲルドライヤーで乾燥し,BAS-5000 画像解析システム (Fuji Photo Film) を用いて解析した. ゲルシフトに用いたプローブの配列は以下の通りである. 下線は時計遺伝子結合コア配列およびその配列に対応する変異導入配列を示している.

mTopo-E1: 5'-

GCCTTTAAGGCCTAC<u>CACGTG</u>GCCGCCCGGGTG-3'; mTopoI-E1-mut: 5'-

GCCTTTAAGGCCTAC<u>GGTGTG</u>GCCGCCCGGGTG-3'; mTopoI-E2: 5'-

GAACTTAGGCTGTTACA<u>CAACTG</u>CTGGGGTCTGT TC-3';

mTopoI-E2-mut: 5'-

GAACTTAGGCTGTTACA<u>TTACTG</u>CTGGGGTCTG TTC-3';

mTopoI-D: 5'-

GAAATGCGAACTTAGGC<u>TGTT</u>ACACAACTGCTGG GG-3':

mTopoI–D-mut: 5'-GAAATGCGAACTTAGGC<u>TGGG</u>AC ACAACTGCTGGGG-3'

結果および考察

トポI RNAおよびプロモーターはNIH3T3 細胞でリズム 発現する

リアルタイムRT-PCRによってNIH3T3 細胞におけるトポI RNAの発現を解析したところ、デキサメサゾン刺激終了後24時間目より発現の増加がみられ、約32時間目でその発現はピークに達し、その後48時間までの間に徐々に低下した (Fig. 1A). 統計解析 (one-way ANOVA) ではこの発現変動に有意差 (P < 0.05) がある

ことが示された. 次にトポIのプロモーターにリズム発現があることを確認するため Kronos を用いたプロモーター活性リアルタイム測定を行なった. この解析ではトポIプロモーター活性のピークがデキサメサゾン添加の約30時間後にみられ, RNAリズムのピークより約2時間早く活性のピークが出現することが示された(Fig. 1B). これら2種類の解析により、トポI発現には細胞レベルで概日リズムがあること、このリズムはグルココルチコイドの変動とは独立のものであることが明らかとなった 7 .

トポIのプロモーター領域配列の解析

マウスのトポIプロモーター領域をゲノムデータベースより抽出し、転写因子結合部位をMatInspector (Genomatix)を用いて解析したところ、2箇所のE-box (E1: CACGTG, E2: CAACTG)と1箇所のD-boxがあることが明らかになった。これらの時計遺伝子結合配列 ^{8.9} のうち、E2、D-boxは転写開始点より下流のエクソン1に存在していた (Fig. 2A, B). マウスのトポIプロモーター領域をヒトの同領域と比較すると、E1、E2 および D-box の配列は両種で100%一致することが示され、時計遺伝子結合配列は極めて高く保存されていることが明らかになった (Fig. 2C). リアルタイムプロモーター活性の測定解析の結果を合わせると、この領域は強いプロモーター活性を示すとともに、リズム発現のための必要かつ十分な領域も含まれていることが裏付けられた.

E-boxおよびD-boxはトポIのリズム発現に必要である

トポIのプロモーター領域にあるE-box (E1, E2) および D-boxが、概日リズム性発現に関与していることを確認するため、これらの配列に変異を導入したプロモーターを5種類 (E1, E2, D, E1/E2, E1/D, E1/E2/D-box) 作成した。E1, E2およびD-boxの各 1箇所に変異を導入したプロモーターでは、E2およびD-boxの

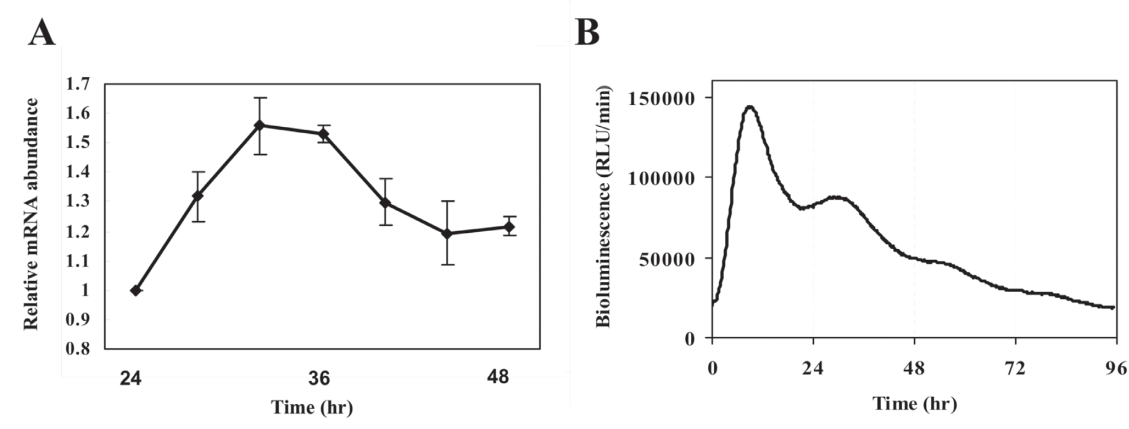


Fig. 1. NIH3T3細胞におけるトポイソメラーゼI (トポI)の発現. (A)トポIのRNA 発現レベルをリアルタイプPCRによって解析した. RNAはデキサメサゾン刺激24時間後に4時間毎に細胞から抽出し、トポI RNAを定量した. エラーバーは標準偏差を示す. リズム性発現は、継時的にサンプリングしたデータをone-way ANOVAにより解析 (P<0.05) した. (B)トポIプロモーターレポーターを NIH3T3 細胞にトランスフェクトンし、クロノスによって10分間隔で継時的にプロモーター活性を計測した. 同調には $0.1\,\mu\mathrm{M}$ デキサメサゾンを2時間添加した.

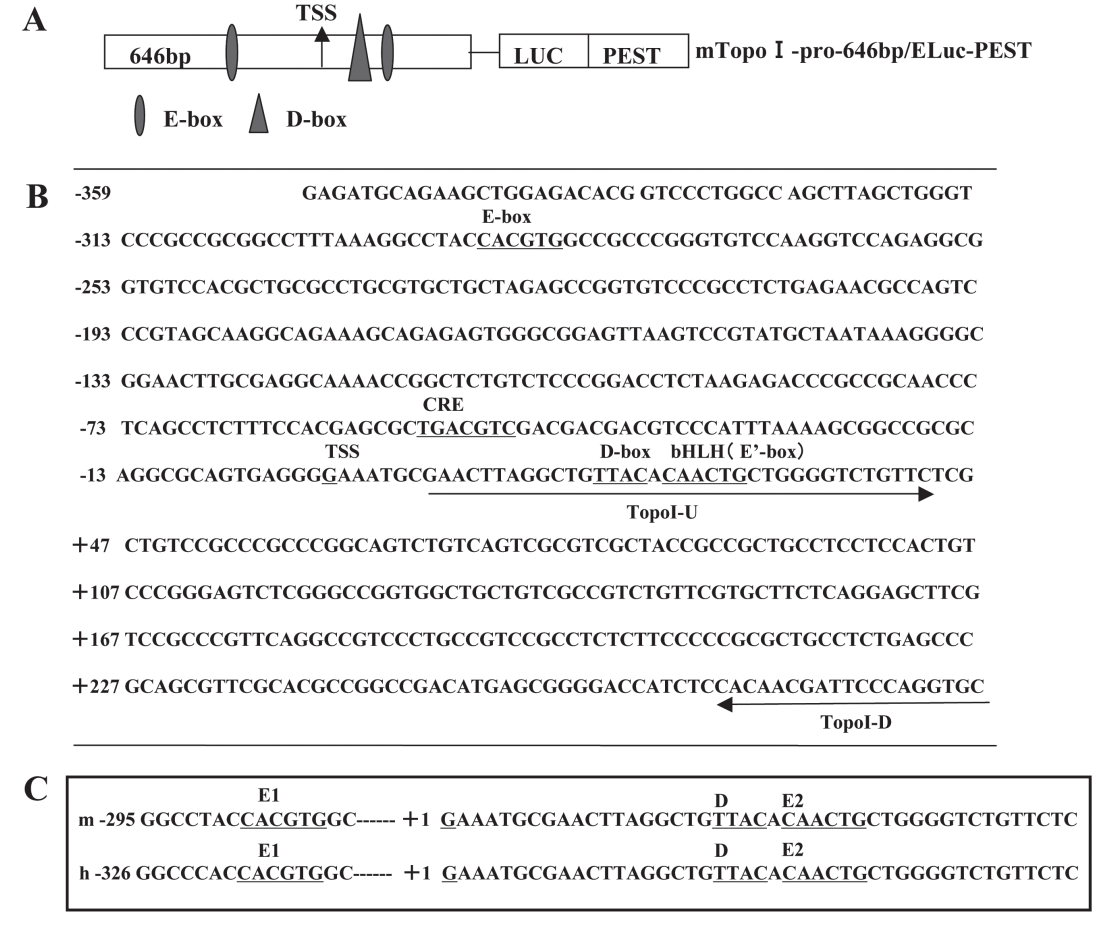


Fig. 2. マウストポIプロモーターの構造と転写因子結合部位. (A) マウストポIプロモーター構造の模式 図. マウストポIのプロモーター配列はマウスゲノムDNAを鋳型にしてPCR によって得た. PCR断片はTA 法によりレポーターベクター (ELuc-PEST-T-vector) に導入した. 646bpの配列には2箇所のE-box (E1, E2) とD-boxがあることがMatInspector による解析から示された. (B) マウストポIプロモーター領域の塩基配列と転写因子結合部位. マウストポIプロモーターにはE-box, D-box を始めCREがあることが示された. E2, D-box は転写開始点 (TSS) より下流のエクソン1に存在する. (C) マウスとヒトのトポIプロモーター領域の比較. E-box (E1, E2) とD-boxの配列,位置および周辺配列が両者間で極めて保存されている.

変異体で60%以上の振幅の低下が見られた.これに対してE1の変異では大きな低下はなく、リズム発現にはE2およびD2が主に関与していることが示唆された (Fig. 3). 時計遺伝子結合配列に2箇所以上変異を導入したコンストラクト (E1/E2, E1/D, E1/E2/D-box)は著しく振幅が低下した (Fig. 3). 以上の結果よりリズム発現にはE2およびD-boxの両者が協調的に機能してプロモーターレベルでリズム性の転写発現制御を行なっていることが示された.

<u>トポIはCLOCK/BMAL 1 ヘテロダイマーおよびDBPによって転写活性化される</u>

時計遺伝子による転写制御を確認するため、ルシフェラーゼアッセイによってトポIプロモーターがCLOCK/BMAL1 およびDBPによって転写制御を受ける可能性を検索した。NIH3T3細胞にトポIプロモーターレポーターコンストラクトとCLOCK/BMAL1あるいはDBP 発現コンストラクトを同時にトランス

フェクションし、ルシフェラーゼ活性を測定したところ、CLOCK/BMAL1のトランスフェクション量依存的にレポーター活性の増加がみられた (Fig. 4A). またDBPも同様にトポIプロモーターレポーターの活性を増加させた (Fig. 4A). 以上より、トポIは時計遺伝子CLOCK/BMAL1およびDBPによって転写が増加することを確認した.

<u>CLOCK/BMAL 1 およびDBPはそれぞれE 1 およびD-boxに結合する</u>

トポIのプロモーター領域にある時計遺伝子結合配列 E1, E2およびD-boxに時計遺伝子産物が結合することを確かめるため、ゲルシフト法で解析した. 時計遺伝子産物は網状赤血球ライゼートの系で合成し、トポ Iのプロモーター領域由来のE1, E2およびD-box 配列に対する時計遺伝子産物の結合を検討した. CLOCK/BMAL1はE2に対してはバンドシフトが見られたが、E1に対しては結合はみられなかった (Fig. 4B). E1,

E2 変異体を用いたクロノスによるリズム解析において、E1 変異体では殆ど振幅変化が見られなかったことを考え合わせると、E1 配列はBMAL1/CLOCKが結合してリズム発現調節を行なっている可能性は極めて低いことが示唆された。これに対してE2、D-boxにはCLOCK/BMAL1、DBPがそれぞれ結合する結果が得られ、クロノスによる変異体の解析によってE2、D-box変異が振幅を著しく低下させた結果と合わせると、トポIはプロモーター領域にあるE2、D-boxを介して、時計遺伝子CLOCK/BMAL1、DBPによってリズム発現していることが強く示唆された。

概日リズムはClock, Bmal1, Per, Cryによって構成される転写,翻訳からなるネガティブフィードバック機構によって,作り出されていると考えられている^{8,9)}. 生体内で概日リズム性発現する遺伝子は,時計遺伝子によって直接転写制御を受けることよってリズム発現するものと,副腎皮質ホルモンの濃度変化に応答してリズム発現するものの2種類に大きく分けられるとされている⁷⁾. 本研究からトポIは細胞レベルでリズム発現すること,プロモーターがNIH3T3細胞で自律的にリズム発現すること,変異体の実験からプロモーター領域にあるE2, D-boxを介して時計遺伝子によるリズム発

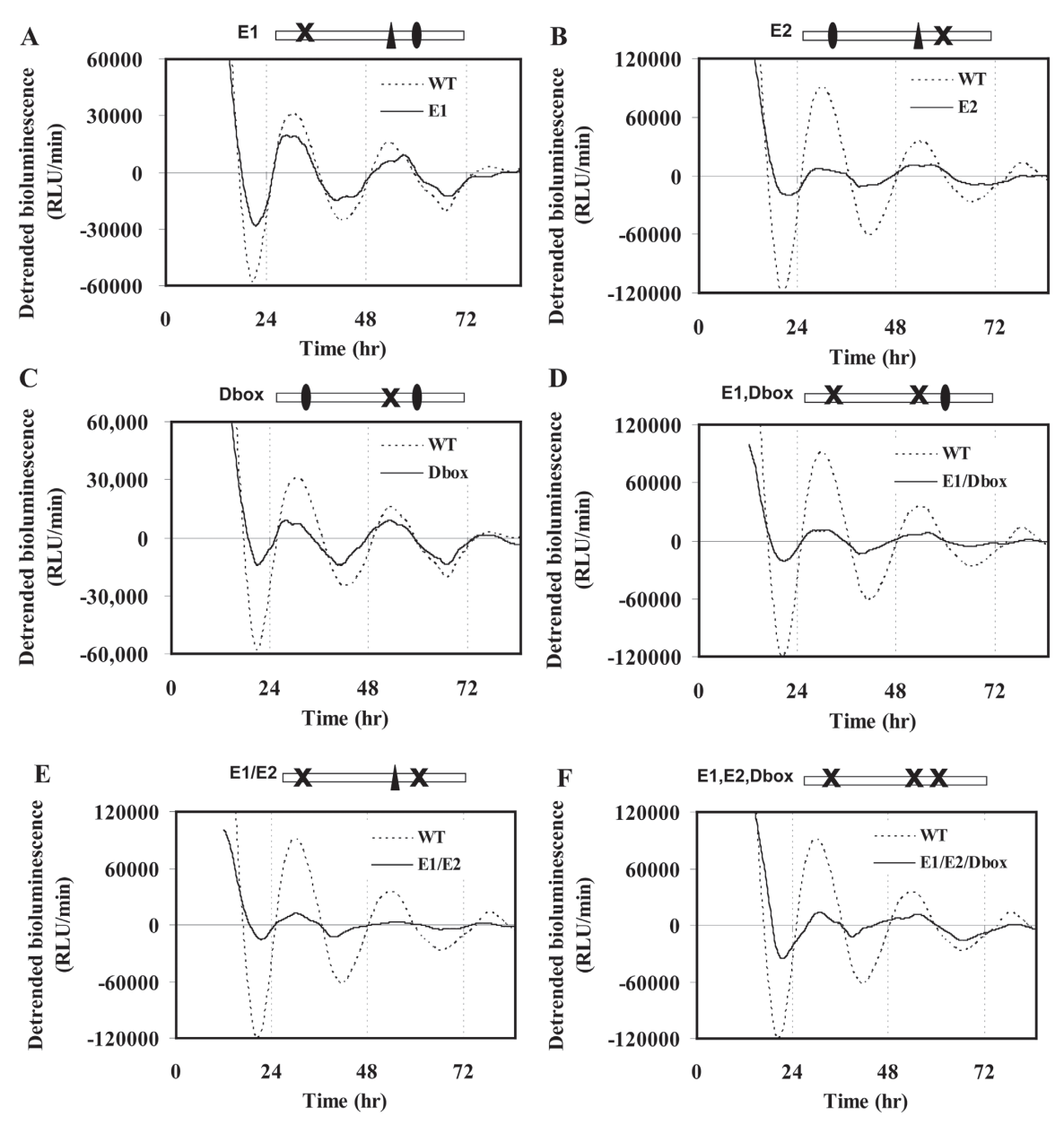
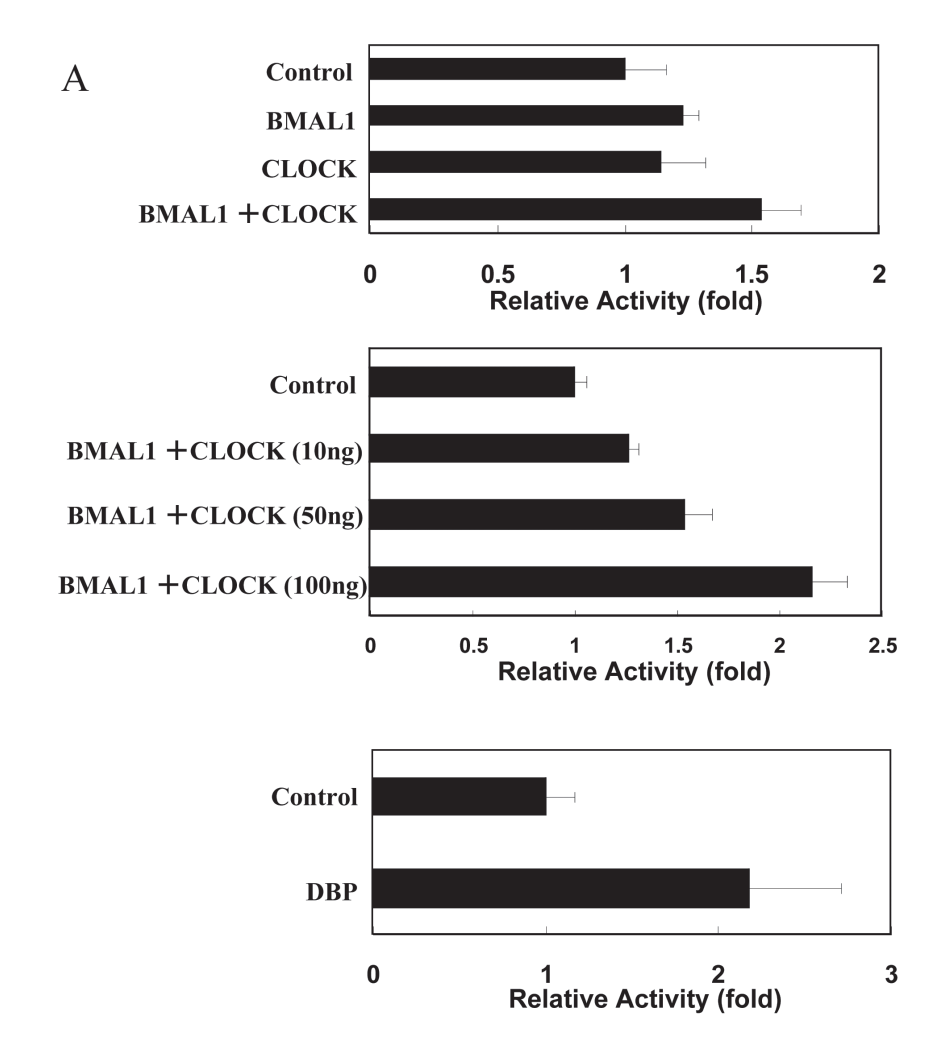


Fig. 3. リアルタイムレポーター活性測定によるトポIプロモーターの概日リズム性転写活性変動とE, D-box の関与. NIH3T3細胞にトポIプロモーターベクターをトランスフェクションし、デキサメサゾンによる同調 刺激を加えた後、クロノス (Kronos) によりリアルタイムでレポーター活性を測定した. プロモーター領域に ある E1, E2 および D-box は変異導入を行い、変異体を作成してリズム発現を解析した. A; E1変異体、B; E2 変異体、C; D-box 変異体、D; E1/D-box 変異体、E; E1/E2 変異体、F; E1/E2/D-box 変異体.



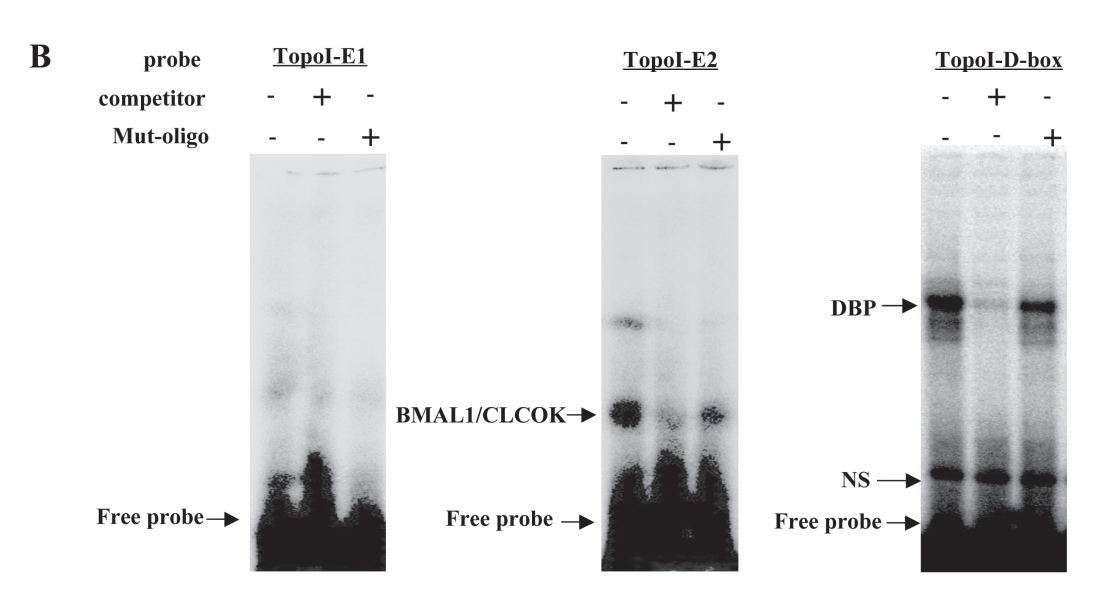


Fig. 4. トポIプロモーターはBMAL1/CLOCK, DBPによって転写制御される. (A) ルシフェラーゼアッセイによるトポIプロモーターのBMAL1/CLOCK, DBPによる転写調節の解析. BMAL1/CLOCK発現ベクターのトランスフェクション量に依存して転写活性化が起こる. DBPによって約2倍の転写活性化が見られる. (B) ゲルシフトアッセイによるBMAL1/CLOCK, DBPのトポIプロモーター内に存在する時計遺伝子結合候補配列への結合実験. BMAL1/CLOCKはE2に結合するがE1配列には結合能が見られない. また,DBPはD-box に特異的に結合する.

現制御を受けていることが明らかになった.カンプトテシンはトポI活性の高い腫瘍細胞で感受性が高いことが知られており、正常細胞と腫瘍細胞においてトポIのリズム発現位相が異なる場合は、腫瘍細胞における発現のピークに薬物を投与することで薬物への感受性が高く、正常細胞に対する影響を最小にすることが可能である10-131.今後は種々の腫瘍と正常細胞・臓器との間のトポI位相の相違、カンプトテシン感受性の概日リズムを解析し、腫瘍に対する時間治療を確立するための分子基盤を確立していく予定である.

結 語

トポIは細胞レベルでリズム発現すること、プロモーターがNIH3T3細胞で自律的にリズム発現すること、変異体の実験からプロモーター領域にあるE2, D-boxを介して時計遺伝子によるリズム発現制御を受けていることが明らかになった.トポIの概日リズム性発現の分子機構が明らかになったことから、トポIを標的としているカンプトテシンなどの抗がん剤による時間治療について、分子レベルでの理解が進む可能性がある.

謝辞

本研究の多くは埼玉医科大学ゲノム医学研究センタープロジェクト研究部門分子時計プロジェクトで実施された.実験施設と機器を提供していただいたゲノム医学研究センターの皆様に感謝します.本研究は平成20年度学内グラントにより支援を受けて実施された.

文 献

- 1) Liu LF. DNA topoisomerase poisons as antitumor drugs. Annu Rev Biochem 1989;58: 351-75.
- Ohdo S, Makinosumi T, Ishizaki T, Yukawa E, Higuchi S, Nakano S, et al. Cell cycle-dependent chronotoxicity of irinotecan hydrochloride in mice. J Pharmacol Exp Ther. 1997;283:1383-8.
- 3) Kuramoto Y, Hata K, Koyanagi S, Ohdo S, Shimeno H, Soeda S. Circadian regulation of mouse topoisomerase I gene expression by glucocorticoid hormones. Biochem Pharmacol 2006;71:1155-61.
- 4) Filipski E, Lemaigre G, Liu XH, Mery-Mignard D, Mahjoubi M, Levi F. Circadian rhythm of irinotecan tolerability in mice. Chronobiol Int 2004;21:613-30.
- 5) Kunze N, Klein M, Richter A, Knippers R. Structural characterization of the human DNA topoisomerase I gene promoter. Eur J Biochem 1990; 194:323-30.
- 6) Baumgartner B, Heiland S, Kunze N, Richter A,

- Knippers R. Conserved regulatory elements in the type I DNA topoisomerase gene promoters of mouse and man. Biochim Biophys Acta 1994;1218:123-7.
- Oishi K, Amagai N, Shirai H, Kadota K, Ohkura N, Ishida N. Genome-wide expression analysis reveals 100 adrenal gland-dependent circadian genes in the mouse liver. DNA Res. 2005;12:191-202.
- 8) Gekakis N, Staknis D, Nguyen HB, Davis FC, Wilsbacher LD, King DP, et al. CLOCK protein in the mammalian circadian mechanism. Science. 1998;280:1564-9.
- 9) Ueda HR, Hayashi S, Chen W, Sano M, Machida M, Shigeyoshi Y, et al. System-level identification of transcriptional circuits underlying mammalian circadian clocks. Nat Genet. 2005;37:187-92.
- 10) Lévi F. The circadian timing system, a coordinator of life processes. implications for the rhythmic delivery of cancer therapeutics. Conf Proc IEEE Eng Med Biol Soc. 2006;Suppl:6736-9.
- 11) Lévi F, Filipski E, Iurisci I, Li XM, Innominato P. Crosstalks between circadian timing system and cell division cycle determine cancer biology and therapeutics. Cold Spring Harb Symp Quant Biol. 2007;72:465-75.
- 12) Qvortrup C, Yilmaz M, Ogreid D, Berglund A, Balteskard L, Ploen J, et al. Chronomodulated capecitabine in combination with short-time oxaliplatin: a Nordic phase II study of second-line therapy in patients with metastatic colorectal cancer after failure to irinotecan and 5-flourouracil. Ann Oncol. 2008 J;19:1154-9
- 13) Ohdo S. Circadian rhythms in the CNS and peripheral clock disorders: chronopharmacological findings on antitumor drugs. J Pharmacol Sci. 2007;103:155-8.

研究成果リスト

学会:

1) Yang F, Nakajima Y, Kumagai M, <u>Ikeda M</u>. The molecular mechanism regulating circadian rhythm of TopI expression in NIH3T3 cells.

第15回 日本時間生物学会学術大会 平成20年11月 8-9日 岡山

原著:

 Yang F, Nakajima Y, Kumagai M, Ohmiya Y, <u>Ikeda M</u>. The molecular mechanism regulating the autonomous circadian expression of Topoisomerase I in NIH3T3 cells. Biochem Biophys Res Commun. 2009;380:22-7.

平成20年度 学内グラント報告書

マイクロアレイ解析を用いた脳腫瘍における ポルフィリン代謝経路の解析

研究代表者 鈴木 智成(埼玉医科大学 医学部 脳神経外科) 研究分担者 脇谷 健司¹⁾,安達 淳一¹⁾,三島 一彦¹⁾, 松谷 雅生¹⁾, 西川 亮¹⁾,江口 英孝²⁾,西山 正彦²⁾

緒言

原発性脳腫瘍の中で、神経膠芽腫を代表とした悪性 脳腫瘍の治療成績は、診断治療法が進歩した現在でも 目立った改善は得られていない。予後を決定する最大 の要素は組織の悪性度であるが、治療に関する予後 因子としては手術での摘出率が重要であると言われ ている。しかし、特に悪性神経膠腫は極めて浸潤性が 高く、たとえMRIにて境界明瞭に造影される腫瘍で あっても、実際の手術においては肉眼的に脳腫瘍と正 常脳との境界は判然とせず、専ら術者の主観と経験に 基づいて摘出術が行われてきた。

そこで、客観的な判断に基づく腫瘍組織の選択的 摘出の一つとして、光感受性物質を用いた術中蛍光 診断による腫瘍摘出法が注目を集めている。5-ALA (5-aminolevulinic acid) は天然に存在するへモグロ ビンの前駆体であり、これを手術に先立ち経口摂取 させ体内に吸収させると、腫瘍特異的にへム合成系 によるポルフィリン合成が行われ、蛍光性のPpIX (protoporphyrin IX) の蓄積が認められる. 腫瘍と疑われる組織に波長405 nmの青紫色のレーザー励起光を 照射すると、PpIXが蓄積した部位では635 nmにピー クを持つ赤色蛍光を呈する. これにより正常部と腫瘍の 判別を容易にし、腫瘍部位の選択的摘出を可能とする.

実際、Stummerらは332人の無作為化第III相比較試験を行い、5-ALAを用いた蛍光ガイド下の脳腫瘍摘出は白色光下でのみ摘出を行ったコントロール群と比べ、造影部分すべてが摘出された割合が有意に高く(65% vs 36%、オッズ比(OR):3.28,95%

CI:1.99-5.40, P < 0.0001), Karnofsky スコアがORで3.20 (95% CI:1.98-5.40, P = 0.0001) と改善が認められ、また 6 ヶ月の無増悪生存割合は21.1%から41.0%と有意に 改善を示した (P = 0.0003) と報告している.

腫瘍におけるPpIX蓄積の機序として、これまで悪性脳腫瘍細胞におけるへム合成酵素系の異常、例えばferrochelataseの活性低下、prophobilinogen deaminaseの活性上昇、ミトコンドリアへの移送に関係するperipheral benzodiazepin receptorの発現上昇によるPpIXの産生上昇あるいは分解抑制などが提唱されているが、これまで統合的な解析は行われておらず、その全体像については未だ明らかになっていない.

実際の手術において、神経膠芽腫など悪性度の高い腫瘍は蛍光の陽性率が高く、低悪性度神経膠腫では陰性であることが多い. さらに、同一個体の腫瘍の中にも良好に蛍光を発する部位とそうでない部位が混在する症例や、同じ組織型であっても陽性と陰性を示す症例が存在する.

このように神経膠腫同一組織型や同一固体において蛍光の陽性・陰性の差が生じる機序について検討するため、マイクロアレイによる網羅的遺伝子発現解析を行った.

材料と方法

1) 対象症例

平成17年2月より平成20年7月の間に研究課題:「手術で取り出した脳・脊髄腫瘍の標本と血液の保存および研究への利用に関するお願い」における将来の医学的研究の同意を文書で得られたもの(A群試料)で、5-ALAによる術中蛍光診断を行い、病理学的に神経膠芽腫と診断された26症例を対象とした.

²⁾ アミノレブリン酸の投与

¹⁾ 埼玉医科大学 国際医療センター 脳神経外科

²⁾ 埼玉医科大学 国際医療センター トランスレーショナルリサーチセンター

手術当日に術開始約4時間前に5-ALA 20 mg/kgを電解質溶液に溶解し経口投与を行った.経口投与が困難な症例については、全身麻酔導入直後に同量の5-ALAを生理食塩水に溶解し胃管より投与した.

3) 蛍光診断および検体採取

開頭手術にて腫瘍を観察し、半導体レーザー装置 (VLD-M1 ver.3.0 SP:M and M社)より出力140 mW,振幅波長405 nmのviolet-blue 励起光にて腫瘍が疑われる部位を照射し、分光解析装置(BW-Spec Operating Software (B and W Tec.)を用いて、PpIX 特異的波長ピーク(635 nm)を検出した。摘出部位は肉眼所見による執刀医の判断により行った。術中蛍光診断による手術組織の蛍光陽性・陰性を記録し、検体を陽性陰性の各部位に分けて凍結保存した。

4) マイクロアレイ

凍結保存手術検体に対し、分光解析装置のレーザー光をあて、診断時の蛍光陽性・陰性記録と一致するか確認を行った. その後、全ての検体からNucleoSpin RNA 抽出キット(Macherey-Nagel)を用いて全 RNAを調整し、Bioanalyzer(Agilent)にて RNA が分解されていないかを検査した. マイクロアレイ実験に適した良質な RNA 検体(RNA Integrity Number > 7.0)のみについて、Quick Amp Labeling Kit (Agilent)で cRNA 合成によるラベリングを行い、Whole Human Genome 44 k (Agilent) マイクロアレイにて遺伝子発現プロファイルを得た。GeneSpring GX (Agilent)解析ソフトウェアを用いて遺伝子発現データを標準化し、バイオインフォマティクス的手法や統計学的手法 (SAM: Significance Analysis of Microarray、WAD: Weighted Average Difference) によって陽性検体と陰

性検体の2群間比較を行った.

結 果

神経膠芽腫26検体のうち、励起レーザー光照射下 での蛍光について、同一個体で蛍光陽性および陰性 を示した手術組織が5例あり、その他はすべて蛍光陽 性症例であった. Bioanalyzer によるRNA 品質確認に おいて, 26 検体のうち, 6 検体で RNA の顕著な分解 が認められたため、残りの20検体をマイクロアレイ解 析に供した. 標準化した遺伝子発現プロファイルデー タを基に、陽性検体群と陰性検体群に対して1)同一 固体において陽性と陰性の組織部位が存在する検体を 用いたペア解析と、2)全ての検体を解析対象とした2 群間比較解析を行い、それぞれの解析において有意に 発現量の異なっている1000遺伝子を抽出した. 1), 2) の両解析で共通して有意な発現量の差異が認められた ものは16遺伝子であった. そのうち, アノテーション が付与されている12遺伝子を5-ALA による蛍光診断 における陽性・陰性規定候補遺伝子として選定した. (Table 1, Fig.1)

考察

神経膠腫の手術において,正常脳との判別にアミノレブリン酸による蛍光診断が有用であるという報告は多いが,実際の手術では蛍光が極めて微弱な症例や肉眼的には明らかに腫瘍と思われても蛍光を示さないことがある.このような不安定な蛍光発色は,術中蛍光診断法において改善が望まれるところであり,そのためにはアミノレブリン酸による蛍光発色の分子メカニズムを明らかにする必要がある.

Table. 1. Candidate genes of the fluorescence diagnosis by 5-ALA in the glioblastoma

Description
Homo sapiens heat shock 70kDa protein 1A (HSPA1A), mRNA [NM_005345]
Homo sapiens 24-dehydrocholesterol reductase (DHCR24), mRNA [NM_014762]
Homo sapiens ubiquilin 1 (UBQLN1), transcript variant 2, mRNA [NM_053067]
Homo sapiens Rho-related BTB domain containing 3 (RHOBTB3), mRNA [NML014899]
Homo sapiens a miloride-sensitive cation channel 2, neuronal (ACCN2), transcript variant 1, mRNA [NM_020039]
Homo sapiens G-protein signalling modulator 3 (AGS3-like, C. elegans) (GPSM3), mRNA [NM_022107]
Homo sapiens TLC domain containing 1 (TLCD1), mRNA [NM_138463]
Homo sapiens matrix metallopeptidase 17 (membrane-inserted) (MMP17), mRNA [NM_016155]
Homo sapiens achaete-scute complex homolog 1 (Drosophila) (ASCL1), mRNA [NM_004316]
Homo sapiens integral membrane protein 2A (ITM2A), mRNA [NM_004867]
Homo sapiens solute carrier family 16, member 9 (monocarboxylic acid transporter 9) (SLC16A9), mRNA [NM_194298]
Homo sapiens keratin associated protein 5-8 (KRTAP5-8), mRNA [NM_021046]

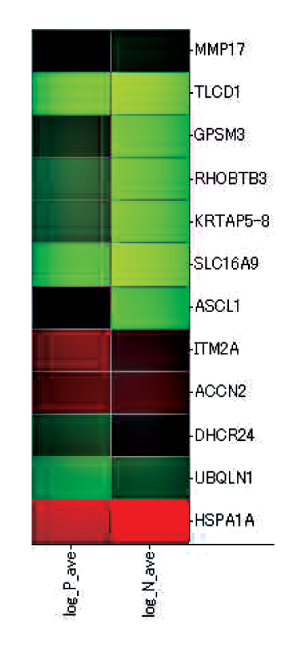


Fig. 1. Signal intensity of candidate genes.

今回,候補として挙がった12遺伝子について,既報に基づき,アミノレブリン酸代謝あるいは癌等疾患との関連を検討した.

まず、HSPAIAは第6染色体上にあるheat shock protein 遺伝子であり、パーキンソン病や痴呆など中枢神経系疾患との関連がこれまでに報告されている。また肝細胞癌での発現上昇が認められており、発癌や薬剤耐性への関与が示唆されている。神経膠芽腫においては温熱療法やシスプラチンなどの抗腫瘍治療により同遺伝子の発現が抑制される。また、HSPAIAの高発現により、グルコース代謝が活発化されるという報告もある。一方、SLC16A9はモノカルボン酸トランスポーター遺伝子であり、アミノレブリン酸の輸送への関与も考

今後、これらのマイクロアレイにより選定された候補遺伝子について、TaqMan Probeを用いたReal time RT-PCR法によって定量的遺伝子発現解析を行い検討する予定である。また、マイクロアレイデータを基に候補遺伝子のネットワーク解析を行い、ポルフィリン

えられる. 5-ALA 取り込みによる蛍光発色の有無が輸

送蛋白質の発現と関与するか,極めて興味深い.

代謝経路やその他の機能ネットワークとの連関についても検討を進める. (Fig.2)さらに, 培養細胞を用いたノックダウン実験や強制発現実験による機能解析を進め, 術中蛍光診断での陽性・陰性を示す作用機序を明らかにできれば, 将来の手術精度向上や, 患者の予後改善が期待される.

研究成果リスト

1) <u>鈴木智成</u>,石原正一郎,杉山達也,中島弘之,根木宏明,<u>脇谷健司</u>,<u>安達淳一</u>,三島一彦,西川亮, 松谷雅生:神経内視鏡下腫瘍生検時における脳 室壁観察の重要性 第15回日本神経内視鏡学会 2008.7月(学会発表)

謝辞

本研究は平成20年度埼玉医科大学,学内グラントにより行われた.遺伝子解析およびネットワーク解析において,ご高配を賜わりましたトランスレーショナルリサーチセンター 和田智先生に深謝いたします.

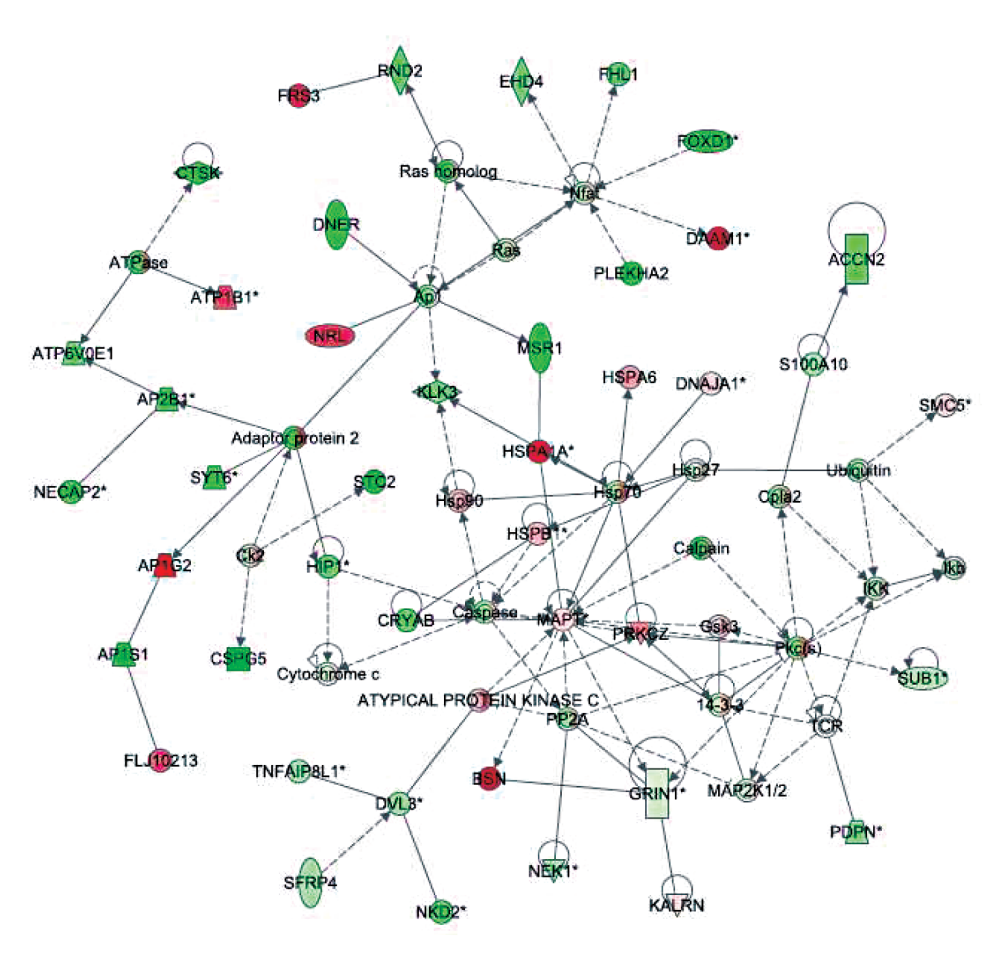


Fig. 2. Network analysis of candidate genes.

平成20年度 学内グラント報告書

生体吸収性ポリマーによる胃壁の再生

研究代表者 合川 公康 (埼玉医科大学 国際医療センター 消化器病センター 消化器外科) 研究分担者 宮澤 光男*,岡田 克也*,鳥井 孝宏*, 利光 靖子*,小山 勇*

緒言

近年、胃に発生する腫瘍性病変は、診断、治療機器の進歩により、低侵襲治療が可能となっているが、低分化癌や粘膜下腫瘍では、小さな病変でも胃壁の全層切除が必要になることが多い、胃はその形態的特徴のため、切除部位によっては直接縫合閉鎖を行うと変形や狭窄を起こし、たとえ広範囲の胃を温存可能でも、術後のquality of lifeを著しく悪化させる。そこで、我々は胃壁欠損部を代用胃壁により修復し、変形や狭窄を最小限にとどめれば、過分な胃切除が不要となり、生体機能を温存させた根治術が可能になると考えた。本研究においては、我々が開発している生体吸収性ポリマー(Bioabsorbable polymer;以下BAP)を用い、代用胃壁(Artificial gastric wall;AGW)を作成、広範な胃壁欠損部に移植し、胃壁を再生させることが可能を検討した。

材料と方法

研究計画調書概要における方法を一部改訂し実験を行った. 今回使用するAGWはポリカプロラクトンとポリ乳酸の50:50共重合体をポリグリコール酸の繊維で補強したもので、約8週間で分解吸収される. 厚さは約5 mm、繊維構築が異なる2種のシートによる多層構造になっている. 雑種ブタ(n=9)を全身麻酔下に開腹し、胃体中部前壁を8X8cm(48 cm²)切除し(ブタ胃体中部の約1/3周),ここに同サイズのAGWをパッチ状に移植し欠損を閉鎖した. 移植1週間後に上部消化管内視鏡検査を施行し、移植4週後(n=3),8週後(n=3),12週後(n=3)に、胃を全摘出し、移植部を肉眼的、組織学的に観察した. 結果:ブタは全例*埼玉医科大学国際医療センター消化器病センター消化器外科

(n=9),体重の減少なく犠牲死させるまで生存した.移植4週後,移植部は平均13.95 cm²の潰瘍を形成していた.移植8週後,移植部は平均0.92 cm²の潰瘍を形成しており,潰瘍周囲の粘膜は多量の粘液分泌を伴う不揃いな腺管構造を呈し,潰瘍部は結合組織増生と炎症細胞の浸潤が認められた.移植12週後,肉眼的に移植部の胃壁厚はnativeに比較して薄かったが,変形はなく,漿膜面,粘膜面ともにnative胃と同様であった.結合組織は著明に減少しており,粘膜,粘膜下層,固有筋層ともにnative同様に再生していた.

考 察

消化管壁を代用できる素材の探求は現在までに様々 な検討がなされており、代用素材として非吸収性素材 と吸収性素材に大別される. 非吸収性素材の代表的な ものはpolytetrafluoroethylene (PTFE) であり、これを 用いた消化管欠損部修復の報告では短期的に問題ない としているが、恒久的に異物が消化管壁に残ること は、慢性炎症反応による硬化や狭窄などの有害事象を ひきおこすことが予想される。代表的な生体吸収性素 材としてはブタ由来 small intestinal submucosa (SIS) やコラーゲンスポンジなどが報告されている. マウス の胃壁欠損をSISで修復した検討では、約3週目で犠牲 死させ欠損部の閉鎖を確認している.しかし、欠損部 はgranulationとfibrosisにより閉鎖されており正常な 胃壁構造が再生したことは証明されていない. 本実験 では、AGWは胃欠損部を全層性に再生させることが できる素材であることが確認できた. 今後は、詳細に 組織学的所見を検討し, 再生過程の解明を行いたい.

結 語

本研究の結果より我々が用いたAGWは移植後早期

にも縫合不全や通過障害がなく,また移植後12週に て粘膜がほぼ正常に再生しており,広い範囲の胃壁欠 損の修復に使用可能であることが示唆された.

研究成果リスト

論 文

<u>合川公康, 宮澤光男, 小山勇</u>, 他. 生体吸収性ポリマーによる胃壁の再生. 日消外誌 2009;42(1):139.

学会発表

1) 生体吸収性ポリマーを利用して胃を作製することが可能である: 合川公康, 宮澤光男, 小山勇ら:

- 人工臓器学会, 東京2008/11/29.
- 2) 生体吸収性ポリマーを利用し広範囲に胃を再生 させることが可能である: <u>合川公康, 宮澤光男,</u> 小山勇ら: 創傷治癒学会, 東京2008/12/06.
- 3) Tissue engineeringを応用した胃の再生: <u>合川公康</u>, <u>宮澤光男,小山勇</u>ら: 日本再生医療学会,東京, 2009/03/06.
- 4) 生体吸収性ポリマーによる胃壁の再生: <u>合川公康</u>, <u>宮澤光男,小山勇</u>ら: 日本外科学会総会,福岡, 2009/04/02.

© 2009 The Medical Society of Saitama Medical University

http://www.saitama-med.ac.jp/jsms/

平成20年度 学内グラント報告書

環境有機リン曝露の加齢、視機能低下に及ぼす影響

研究代表者 坂本 安(埼玉医科大学 中央研究施設)研究分担者 米谷 新¹⁾,廣澤 成美²⁾

【緒 言】

有機リン系殺虫剤であるフェニトロチオンは、日本ではスミチオンという商品名で販売され、稲のウンカ、野菜・果物のアブラムシ、桜のアメリカシロヒトリなどの殺虫剤として広く使われている。国内では、佐久病などの子供の眼疾患(近眼等の視力障害)の原因とも指摘されている(大藤ら、眼科学会雑誌1971;75(8):1944-51.)。この他にも、記憶力低下などの神経毒性の報告(菅谷ら、農村医学1981;29:724-47.)もあり、小中学校に近接した農地への空中散布や、校庭内の庭木への散布による子供への影響が懸念されている。

また、近年では内分泌撹乱作用として、抗アンドロゲン作用が指摘されており、ヒト培養細胞による実験の結果、フェニトロチオンのアンドロゲン受容体への結合阻害の強さは前立腺ガン治療薬として使われているフルタミドに匹敵するという報告がある(Tamura H, et al. Toxicological Sciences 2001;60:56-62.)。さらに子供は農薬等に対し、大人よりも強く影響を受けるため、生体曝露への影響に関して現状を把握しより詳細に研究する必要性があると考えられ、各種農産物の残留農薬の検出と視機能への影響と生体曝露量を知るためにまず、有機リン剤の尿中生体内代謝産物の定量方法について検討した。

【材料と方法】

1 農産物の残留農薬の検出

1.1 試料

輸入および国内産の野菜と果物は,毛呂山町内で購入した.

1.2 残留農薬の検出

野菜・果物類の残留農薬の検出には、残留農薬(有機リン・カーバーメート系)検査キット アグリケム

1) 埼玉医科大学 医学部 眼科 2) 埼玉医科大学 中央研究施設

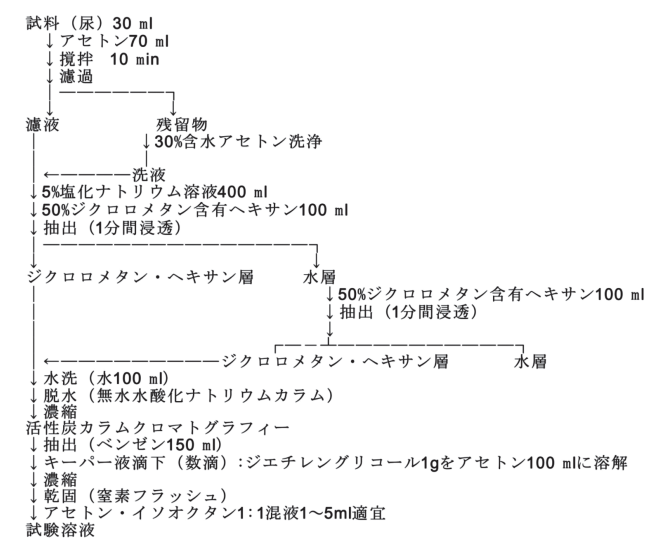
(Institute of Microchemical Technology Co. Ltd) を用いた.

2 有機リン系農薬の代謝産物の尿中濃度測定に関する 検討

2.1 試料

雄ラット (Wistar-Imamichi) に,フェニトロチオンを10 mg/kg, 1 mg/kg, 0.1 mg/kg, 0 mg/kgを1群3匹とし,投与した.代謝ゲージを用いて,24時間毎に,3日間尿を収集し,尿試料とした.

2.2 試料調整



2.3 フェニトロチオン代謝産物の検出

フェニトロチオン代謝産物の3-Methyl-4-nitrophenol (MNP)の検出は、Liquid Chromatography- Mass spectrometry (LC-MS) [HPLC: Magic 2000 (AMR), Mss spectrometry: T100LC(JEOL)] を用い、以下の条件で遂行した。

2.3.1 LC 側溶出条件

溶出液A: 0.1%酢酸,溶出液B: 0.1.%酢酸 100% アセトニトリル,グラジェント: $(0\sim20分;3\%\rightarrow95\%B)$ $(20\sim30分;95\%B$ を維持) $(30\sim35分;95\%\rightarrow3\%B)$,流速:50 ul/分,カラム:CAPCEL

PACK C1 1.5 φ X 50 mm 2.2.3 MS側測定条件

ESI(electro ion spray), Positive ion mode

3 結 果

3.1. 野菜・果物類の残留有機リン系農薬の検出

17種類の野菜・果物類について有機リン系残留農薬の検出試験を遂行した結果を表1に示す.

3.2フェニトロチオン代謝産物 NMPの検出試験

最も主要な代謝産物と考えられているMNPのLC-MSスペクトルを図1に示す.また,ラット尿より抽出されたMNPの溶出パターンを図2に示す.

4考 察

4.1野菜・果物類の残留有機リン系農薬量

野菜・果物各試料は、日常的に摂取する一般的なものを選定した。果物類からの残留農薬は検出されなかったが、アスパラを除く葉物系野菜における一様に残留農薬量は、弱陽性または陽性であった(表1).特にコマツナ、ベビーリーフ、レタスに関しては、比較的強い陽性を示し、葉物野菜の商品価値を配慮し使用農薬量が多いものと推定され。これらの野菜の各残留農薬量は、100 ppb以上と考えられる。これは野菜類の基準値(200~500 ppb)を上回るものではないが、今後ヒトの時間的な曝露量について検討する上で極めて重要な情報である。また、今回、尿中の有機リン系農薬の代謝産物について検討したが、検出イオンの分

表 1. 野菜, 果物類の残留農薬検出試験

種類	残留農薬検出量判定
	(- 陰性 +弱陽性 ++陽性)
バナナ 1	-
バナナ 2 *	-
キウイ1	-
キウイ2*	-
グレープ	フルーツ -
ピーマン	-
ナス	-
キュウリ	-
コマツナ	++
ホウレン	
チンゲン	•
ミニトマ	+
キャベツ	+
ベビーリー	-フ ++
レタス	++
アスパラ	+

^{*}有機栽培品

子量が理論値 m/z = 154.0 であるのに対して151.0が検出されるためイオン化の際に、何らかの副反応が生じていると考えられ現在検討中である(図1).しかしながら、投与量の最も多いラット尿から同様の質量数が検出されており、実用化することは可能であると判断される(図2). LC-MSを有機リン代謝産物の検出に応用した例は無く、今後体内濃度と視機能障害との関係を検討する上できわめて重要なツールとなるものと期待される。また、最近有機リン系のLC-MS解析のための専用カラムが市販され、一定の溶出条件等も定まりつつあるため分離系をそちらに変更することに関しても検討中である.

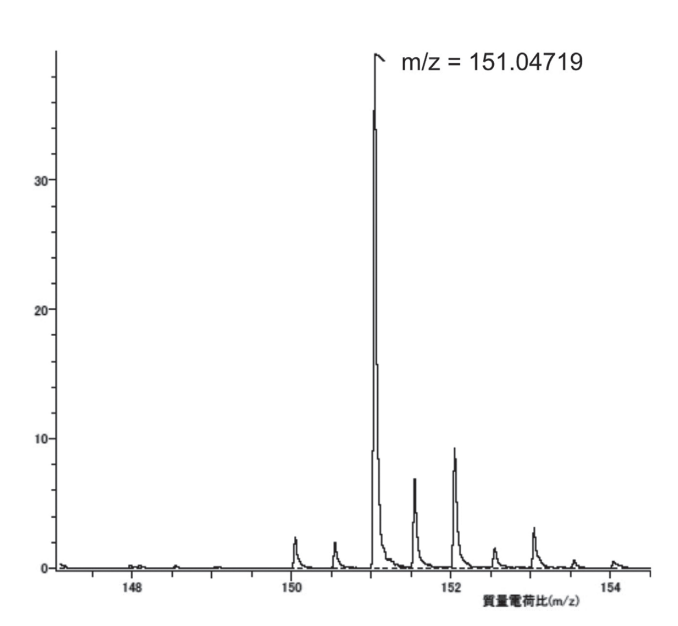


図 1. 3-Methyl-4-nitrophenolのESIマススペクトル.

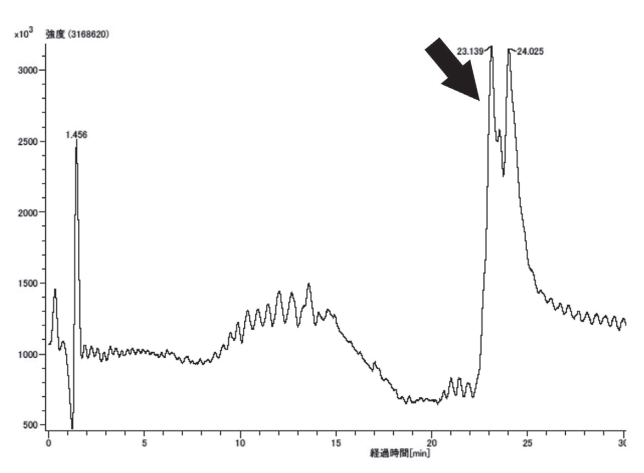


図 2. フェニトロチオン投与ラット尿より抽出された 3-Methyl-4-nitrophenoのTotal lon Chromatogram. 矢印は, 3-Methyl-4-nitrophenoの溶出位置を示している.

平成20年度 学内グラント報告書

サブスタンス P による血小板凝固活性亢進の分子機構と 痛み治療の役割の検討

研究代表者 東 俊晴(埼玉医科大学 医学部 麻酔科) 研究分担者 菊地 博達*,成田 弥生*,塚本 真規*

緒言

科学的根拠に基づいた疼痛の制御は麻酔科診療の根 幹をなしている¹⁾. 今日では麻酔・疼痛治療が周術期 の短期的・長期的予後に影響を与える可能性が示唆さ れており、神経ブロックによる鎮痛は静脈血栓塞栓症 (VTE)などの血栓症に起因する周術期の致死的合併症 を有意に減少することなどが報告されている²⁾.

周術期 VTE の本邦における発症頻度は2762 件に 1件であり、現在ではそれほど稀な合併症ではないと 認識されている. 死亡率は21.8%であり、発症すると 救命は甚だ困難である³⁾. そのため, 現在の周術期診療 では血栓の発生予防に管理上の重点が置かれている. 周術期 VTE の原因となる深部静脈血栓症 (DVT) を予 防するためには、抗凝固薬の使用がもっとも有効で あるが、脊椎手術など一部の術式では周術期の抗凝固 治療は推奨されていない.また前述のように,神経ブ ロックによる疼痛治療はVTE に由来する周術期合併 症の発生を減少するが、神経ブロックにともなう医原 性血腫の発症リスクは抗凝固治療により劇的に増大 するため、これらの併用は禁忌である. これらのこと から、麻酔・疼痛治療が止血機能を修飾するのであれ ば、よりよい疼痛管理は周術期の致死的合併症を減少 させる有効な手段となりえる.

最近、痛みの伝達物質であるサブスタンスP(SP)の受容体(NK1 受容体)アンタゴニストは開腹術後の腹腔内癒着を有意に抑制することが、動物実験により示された⁴. NK1 受容体は血小板にも存在し、血小板凝集を惹起することも報告されている^{5.6}. しかしながら、痛みやSP がどのような分子薬理学的機序によりフィブリン形成や止血機能を修飾するか、についての詳細は未だ不明である.

血小板機能のひとつに, 血小板表面に特定のリン *埼玉医科大学 医学部 麻酔科 脂質 (ホスファチジルセリン) を表出させ血液凝固を促進する作用である,血小板凝固活性 (platelet procoagulant activity) が知られている 7 . われわれは血小板凝固活性を定量評価するための測定系を構築し,実験的研究を継続してきた.これまで得られた知見から,(1)SP は血小板凝固活性を亢進すること.(2)SP が血小板凝固活性を亢進する作用はNK1 受容体を介して起こること.(3) そこに白血球が関与すること,などが確認されている $^{8.9}$.

また、若干の周術期患者ならびにペインクリニック診療中の患者から得られた知見により、(1)SPによる血小板凝固活性の亢進には個人差があるが、(2)SPによる血小板凝固活性の亢進と全血中NK1 受容体のmRNA 発現レベルとの間に関連があり、(3)NK1 受容体のスプライスバリアントの中でも、炎症により誘導される全長(full-length) NK1 受容体の発現が重要であること、(4) 手術や急性炎症を介してSPに対する反応性を獲得する患者がいること、などを確認し報告している¹⁰(研究成果リスト2-6.8.9).

SPの血中レベルは疼痛によって増加するため、周術期の疼痛に関連するVTE の発生に対して、SP による血小板凝固活性の亢進作用が重要な役割を演じている可能性は高い. そこで、われわれは現在進行中の本研究により、周術期 VTE を予防するための薬理学的疼痛管理法を探索中である. この報告書では、現時点で得られている所見から、周術期の麻酔管理とNK1受容体を介する血小板凝固活性亢進との関連について中間報告する.

方 法

1.対象の割り付けと麻酔管理法

全身麻酔下に腰部脊柱管狭窄症に対する脊椎手術を計画された患者を対象とした. 倫理委員会の承認を得た後, 文書による承諾を受けた12人を無作為にレミ

東 俊晴, 他

フェンタニル使用群(R)と非使用群(C)の二群に割り 付けた. 手術室入室後, 仰臥位で末梢静脈ラインを確 保し、クエン酸採血管(終濃度0.38%)ならびにパクス ジーンRNA 採血管を用いて麻酔前採血を行った(第一 相, Ph1). 通常監視装置(心電図, 非観血的血圧測定, パルスオキシメトリー, カプノメトリー) の他, 鎮静 レベルの指標としてbispectral index (BIS) センサー を装着した後、フェンタニル0.2 mg とプロポフォー ルの静脈投与(IV)で全身麻酔導入を行い、ロクロニ ウム (0.6 mg/kg 体重, IV) で筋弛緩を得た後気管挿管 を行った. プロポフォールはコンピューターを内蔵 する専用シリンジポンプを用いた血中濃度予測によ り, 3-5 ug/ml を維持するtarget-controlled infusion を行った. レミフェンタニルはR 群のみ導入開始時に シリンジポンプを使用して0.25 μg/kg/min の持続投 与 (IV) を開始し、術野の閉創まで継続した. 気管挿管 が適切であることを確認した後は、出来る限り速や かに腹臥位に体位変換した. その際, プロポフォール の持続投与を終了し、セボフルランによる維持を開 始した. セボフルランはBIS 値 45 - 50 を目標に調節 した. 平均動脈圧 60 mmHg を維持できない場合, エ フェドリン4 mg (IV) を使用した. エフェドリンが無 効と判断された場合フェニレフリン0.1 mg (IV) を使 用した. 一方, 手術に不適切な高血圧であると判断 した場合, ニカルジピン0.5 - 1 mg (IV) を使用した. 手術の主要操作が終了し、創洗浄を開始した際に二度 目の採血を行った(第二相, Ph2).

2.下肢静脈超音波画像診断

術前 DVT の有無を検索するため、手術の1-3日に下肢静脈超音波画像診断を施行した. 膝窩部より中枢に血栓が認められた場合、除外症例とし専門医への紹介を優先した. 麻酔導入後と手術終了後にも大腿部から膝窩部まで超音波画像診断を施行し、高リスクDVTの術中発生の有無を確認した.

3.血小板凝固活性

血小板凝固活性の指標として、クエン酸化全血のカルシウム再加とセライト刺激に続く経時的粘弾性変化をソノクロット (Sience 社製)を用いて既報の方法に従い測定した 9 . 測定開始直前に専用キュベット内でクエン酸化全血 (250 μ l) と各種試薬 (98 μ l),塩化カルシウム (2 M, 2 μ l) をセライト粉末と混合した. クロットシグナル (0 – 200 arbitrary unit, au) は、試料に浸漬した1 μ m, 200 Hzで振動するディスポーザブルプローブの機械的インピーダンスを電気信号に変換したものであり、これを試料の混合から15 分間記録した. Ph1とPh2で得られたクエン酸化全血に SP (10^8 M)を添加した試料と、SPと同時に NK1 受容体アンタゴニストである Spantide (10^6 M)を添加した試料を測定し比較した. フィブリンゲル強度の指標としてクロットシグナルの経時変化を記録した波形下部面積 (AUC) を算

出し使用した. フィブリンゲル形成速度の指標としてクロットシグナルが20 auに達する時間 (T20) を使用した. またdAUCを (SPを添加した検体のAUC) - (同じ血液試料から得られSP + Spantide を添加した検体のAUC) と定義し、NK1受容体を介するSP 刺激によるフィブリンゲル強化の指標とした. dT20 を (SP を添加した検体のT20) - (同じ血液試料から得られSP + Spantide を添加した検体のT20) と定義し、NK1 受容体を介するSP 刺激によるフィブリンゲル形成促進の指標とした.

ソノクロットにおいて、血小板ピークは、血液試料の粘弾性を経時的に記録する際、単峰性あるいは多峰性の上に凸のカーブとして現れる(図1). NK1 受容体を介する SP による血小板ピーク出現の加速の有無を記録し、後述する full-length NK1 受容体の mRNA レベルの発現と比較した.

4.リアルタイム逆転写ポリメラーゼ連鎖反応(RT-PCR)

パクスジーンRNA採血管で採取した全血は、採血 後二時間以上室温に放置された後, RNA抽出まで - 20°C で保管された. 内溶液のうち, 3.6 mLを15-mL コニカルチューブに移し、3000 g で10 分間遠沈した 後上清を除去した. 得られたペレットをNucleoSpin RNA II (Macherey-Nagel 社製) に付属するlysis buffer (350 µl) に溶解し,添付マニュアルに従いtotal RNA を抽出した. RNA 抽出後はTaKaRa PrimeScript RT reagent Kitを使用して速やかに逆転写を行った. 作 成した相補的 DNA (cDNA) は PCR 開始まで - 20℃ で保存した. リアルタイムPCR はABI Prism 7900HT (Applied Biosystems 製)を使用した.終量25 µl の反応 溶液を作成し(TaKaRa SYBR Premix Ex Taq, 12.5 µl; sense primer, 10 µM, 0.5 µl; antisense primer, 10 µM, 0.5 µl; cDNA, 1 µl) 95℃ • 10 sec で初期変性を行い, 95℃ • 15sec, 60℃ • 60 sec の条件で45 サイクルのPCR 反 応を行った後、60℃ から95℃の融解曲線を記録した. 表 1 に β -actin と二つのNK1 受容体スプライスバリ アント(truncated とfull-length)に対するプライマー を示している. Full-lengthのNK1受容体に対するPCR のみcDNAを2 ul とした.

5.統計学的検討

C群とR群の比較は対応のないt検定あるいは x^2 検定を施行した. ソノクロットの定量的指標であるAUCならびにT20の評価は多因子分散分析で行い,水準間比較にFisherの最小有意差法を施行した. 血小板ピークの加速とFull-length NK1 受容体発現の因果関係は x^2 検定により評価した. 有意水準はP < 0.05とした.

結 果

対象患者の背景因子を表2に示している. C群とR群に属する対象患者の年齢, 男女比, 身長, 体重, 麻酔時間, 手術時間に有意差は認められなかった. 両群

のレミフェンタニルを除く麻酔薬使用量,昇圧薬,降圧薬の使用率,輸液量,出血量,尿量に有意な差は認められなかった(表3). 術前の下肢静脈超音波画像診断により,VTEの発症リスクが高いとされる膝窩部より中枢の血栓が存在した症例は認められなかったが,R群の一人に右ひらめ筋内のDVTを認めた.手術前後のDVTスクリーニングで,新たな血栓の発生が認められた症例はなかった.

ソノクロットで認められる血小板ピーク (図 1) の高さは血液試料中に発生したクロットの最大弾性を示し、血小板数とその機能に依存すると報告されている い。また、ピーク出現までの時間はAnnexin-Vの存在下に遅延する 。Annexin-Vは、血小板細胞膜に豊富に存在するリン脂質であるホスファチジルセリンの阻害薬である。ホスファチジルセリンは血液凝固の最終ステップを触媒する prothrombinase complex と血小板表面で結合し、血液凝固の足場となる 。そのため、ソノクロットにおける血小板ピークの加速は血小板凝固活性を反映していると考えられる 。今回の検討において、SP による血小板ピークの加速はfullength NK1 受容体のmRNA 発現の有無と弱い相関があり (P=0.10)、われわれの過去の報告を支持する結果となった(成果リスト9).

これまでわれわれは、ソノクロット測定において、SPによるNK1受容体を介する血小板ピーク出現の加速と、セライトの添加から一定時間が経過した時点で

表 1. PCR primers

β-actin		
	Sense	5'-GTGGGGCCCCAGGCACCA-3'
	Antisense	5'-CTCCTTAATGTCACGCACGATTTC-3'
NK1 受	容体	
Trun	cated	
	Sense	5'-TCTTCTTCCTCCTGCCCTACATC-3'
	Antisense	5'-TGGAGAGCTCATGGGGTTGGGATCCT-3'
Full-	length	
	Sense	5'-TCTTCTTCCTCCTGCCCTACATC-3'
	Antisense	5'-AGCACCGGAAGGCATGCTTGAAGCCCA-3

表 2. 患者背景

	C群	R群	(P)
年齢(歳)	73.7 ± 6.0	64.2 ± 13.9	P = 0.156
性別(男/女)	3/3	4/2	P = 1.000
身長(cm)	154 ± 13	162 ± 15	P = 0.372
体重(kg)	57.8 ± 9.5	64.2 ± 16.4	P = 0.432
麻酔時間(分)	250 ± 57	217 ± 81	P = 0.429
手術時間(分)	166 ± 44	135 ± 76	P = 0.409

のクロットシグナルの変化を評価の対象としてきた⁹. しかしながら,血小板ピークの発生時間帯は固体ごとに大きなバラつきがある.そこで本研究では,新たな定量的指標としてAUC (フィブリンゲル強度の指標)とT20 (フィブリンゲルの発生速度)を評価した (表4). AUC は麻酔開始前の試料と術中の試料 (Ph 1 vs Ph 2)で有意に異なり,Ph 2 のAUC は Ph 1 より有意に低かった.しかし,レミフェンタニルの使用 (C 群 vs R 群)やNK1 受容体刺激の有無 (SP vs SP + Spantide) に

表 3. 薬物使用量と水分出納

	C群	R群	(P)
レミフェンタニル使用量(mg)	0	2.93 ± 0.72	評価せず
プロポフォール使用量(mg)	245 ± 81	238 ± 77	P = 0.876
ロクロニウム使用量(mg)	48.3 ± 11.3	46.7 ± 8.2	P = 0.775
セボフルラン使用量(%min)	406 ± 180	275 ± 150	P = 0.203
エフェドリン使用量(mg)	6.7 ± 4.8	8.7 ± 9.3	P = 0.650
エフェドリン使用率	5/6 (83%)	4/6 (67%)	P = 1.000
フェニレフリン使用率	2/6 (33%)	0/6 (0%)	P = 0.439
ニカルジピン使用率	3/6 (50%)	0/6 (0%)	P = 0.182
アトロピン使用率	0/6 (0%)	1/6 (17%)	P = 1.000
細胞外液輸液量(ml)	2025 ± 660	1683 ± 513	P = 0.340
出血量(ml)	123 ± 109	29 ± 19	P = 0.063
尿量(ml)	113 ± 140	118 ± 115	P = 0.951

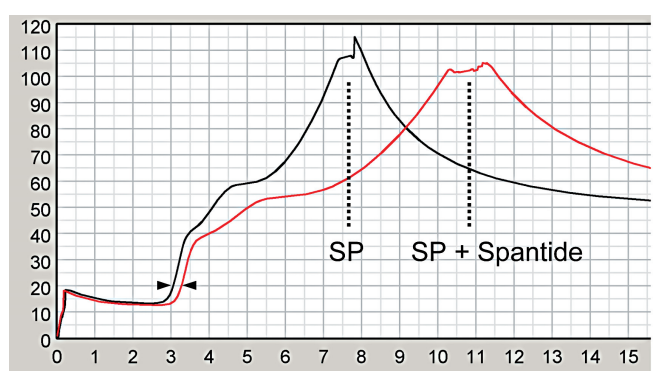


図 1. 典型的なソノクロット波形を示している。 横軸は時間 (分). 縦軸はクロットシグナル (arbitrary unit, au). クロットシグナルは試料に浸漬した1 μ m, 200 Hz で振動するディスポーザブルプローブの機械的インピーダンスを電気信号に変換したもの。専用キュベット内でクエン酸化全血 (250 μ l) と試薬 (98 μ l),塩化カルシウム (2 M, 2 μ l) を混合した直後に記録を開始した。この典型例では,血小板ピークは単峰性の上に凸のカーブとして現れている。サブスタンス P (SP, 10^8 M) を添加した試料の血小板ピーク (SP) は,SP と同時に Spantide (10^6 M) を添加した試料の血小板ピーク (SP + Spantide) より早く出現している (血小板ピークの加速). 測定開始からクロットシグナルが20 au を超えるまでの時間を T20 (矢印),測定開始から15 分までの波形下部面積をAUC と定義した.

90 東 俊晴, 他

は影響を受けなかった. これらのことから, 周術期に発生する血栓の強度は全身麻酔管理という介入によって弱まるが, 少なくとも今回の研究では術中オピオイドの使用量には強い影響を受けないことが示唆された. T20 も同様にPh1 と比較してPh2 で有意に延長したが, C 群とR 群の群間有意差は認められず, NK1 受容体刺激による有意差も認められなかった. これらのことから周術期の血栓形成速度も全身麻酔管理で延長するが, オピオイド使用量には影響を受けないと考えられた.

NK1 受容体刺激はAUC とT20 を有意に変化させなかった(表4).しかしながら前述のごとく,full-length NK1 受容体の発現は血小板凝固活性に影響を与えることが示唆されている.そこで,NK1 受容体を介するSP刺激によるAUCとT20 の変化(それぞれdAUCとdT20)に対するfull-length NK1 受容体の発現,測定時相(Ph1 vs Ph2),レミフェンタニルの使用(C群 vs R群)の影響を検討した.dAUCはこれらの因子による影響を受けなかった.一方dT20は個別の要因による影響を受けなかったが,full-length NK1 受容体の発現と測定時相(Ph1 vs Ph2)の間に相互作用が認められた(P=0.01).Full-length NK1 受容体が発現している症例では,Ph1と比較しPh2でdT20の短縮,すなわち,SPによるフィブリンゲル形成の有意な加速が検出された(図2).

老 察

われわれはこれまでの一連の予備的研究を通して、 痛みの伝達物質であるSPが末梢血血小板あるいは 白血球のNK1 受容体を介して血小板凝固活性を亢進 する可能性を指摘してきた^{8,9}. 今回の研究では、血小 板凝固活性の生体侵襲による亢進を制御する方法を 模索するため、術中オピオイドの使用に焦点をあてて

表 4. 各要因によるAUC ならびにT20 の変化

A	UC (au•sec)			(P)
	C群 対 R群	43316 ± 8925	41437 ± 5620	P = 0.405
	Ph1 対 Ph2*	44683 ± 6278	40070 ± 7935	P = 0.045
	SP 対 SP+Spantide	42115 ± 6887	42638 ± 8090	P = 0.816
T	20 (sec)			
	C群 対 R群	212 ± 57	193 ± 24	P = 0.133
	Ph1 対 Ph2*	184 ± 20	220 ± 54	P = 0.007
	SP 対 SP+Spantide	203 ± 38	201 ± 50	P = 0.866

ソノクロットで得られたAUC ならびにT20 に対する①レミフェンタニル使用 (C,R), ②測定時相 (Ph1,Ph2), ③刺激薬 (SP,SP+Spantide) の影響. 三元配置分散分析により, 測定時相はAUC ならびにT20 に有意な影響をあたえたが, 他の要因は影響しなかった. Ph1 と比較してPh2 ではAUC は有意に低下し, T20 は有意に延長した (*P < 0.05).

検討を行った. 形成される血栓の強度と血栓形成速度は「麻酔を受けること」によって抑制された. このことは,全身麻酔管理が血栓形成を抑制することを示し,麻酔による好ましい抗侵襲作用と受け取ることが出来る.

全身麻酔管理において強力な鎮痛薬として使用さ れるオピオイドは、SP によるG 蛋白を介する細胞 内情報伝達を抑制する薬理作用を持つことが知られ ている. しかしながら今回の検討では、レミフェンタ ニルの術中使用による有意な血栓形成能の変化は検 出されなかった. 一方, 今回の研究では, 両群の患者 にセボフルランを使用して鎮静管理を行った. 鎮静薬 の使用量はオピオイド鎮痛薬によって影響を受ける. そのため、セボフルラン使用量はC群で406 ± 180% min に対しR 群で275 ± 150% min (P =0.1326)と統計 学的有意に至らなかったが、C 群で平均使用量が多 かった. エフェドリンの使用量に有意差は認められな かったが、C 群ではエフェドリンの昇圧効果が不十分 のためフェニレフリンを使用した症例が2例あった. 逆に、高血圧のためニカルジピンを使用した症例がC 群に3例あったが、R群ではこれらの薬は使用されな かった. 出血量はC群で123 ± 109 ml に対しR群で29 \pm 19 ml (P = 0.0617) と有意水準に至らなかったが、 R 群の出血は50 mL 未満であったのに対して、C 群で は50%の症例で100 mL を越えた. これらのことから, セボフルラン使用量は患者への侵襲あるいはその制御

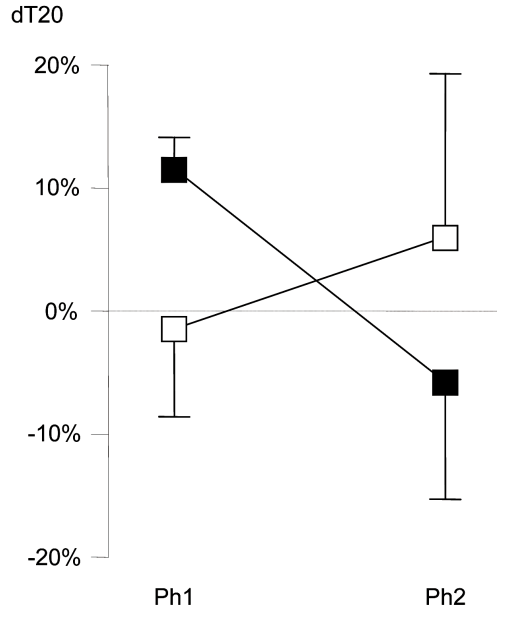


図 2. Full-length NK1 受容体 mRNAが検出された検体 (■) と検出されなかった検体 (□) の二つの測定時相 (Ph1 と Ph2) におけるdT20. dT20 は (SP を添加した検体のT20) − (同じ血液試料から得られ SP + Spantide を添加した検体のT20) として算出し、SP + Spantide を添加した検体のT20 に対する%の平均値+標準偏差として示している.

に対して何らかの影響を与え、オピオイドの効果に対して相互作用を及ぼしている可能性が推測される.これらの疑問を解決するため、現在進行中の同一シリーズの比較試験では、術中に使用する鎮静薬としてセボフルレンと静脈麻酔薬であるプロポフォールの比較検討を行っている.

われわれはこれまでの一連の研究から、full length NK1 受容体の発現がSP 刺激による血栓形成速度に影響を与える可能性を示唆してきた(研究成果リスト9). 今回の研究では、full length NK1 受容体を発現した患者では、SP による血栓形成速度の亢進作用は手術・麻酔によって増強したが、このスプライスバリアントを発現していない患者ではSP による血栓形成速度の変化は認められなかった.

またわれわれは、今回の臨床比較試験と平行して NK1 受容体を介する血小板凝固活性の亢進に関わる 分子薬理学的機序の検討作業を進めている. NK1 受 容体を介する血小板凝固活性の亢進には,G蛋白に よる細胞内情報伝達の介在が示唆されるため、細胞内 カルシウム濃度の変化が活性制御に関与すると考えら れる. このことに関して、生体内で痛みや温度のセン サーとして機能する細胞膜カルシウムチャネルである transient receptor potential (TRP) 受容体が白血球と血 小板に発現し, 血小板凝固活性に関与するという証拠 を得つつある(研究成果リスト11). 今後さらに検討を 続けることにより、これらの細胞のNK1 受容体を介 した血栓形成の促進ならびに強化の病態生理学的機構 を解明し、NK1 受容体スプライスバリアントの発現 制御を指標として臨床薬理学的 VTE 予防の方法を確 立してゆきたい.

引用文献

- Provenzano D, Grass JA. Is epidural analgesia superior to IV-PCA? In: Fleisher LA, editor. Evidence-based practice of Anesthesiology. Pennsylvania: Saunders;2004.p.441-8.
- 2) Rodgers A, Walker N, Schug S, McKee A, Kehlet H, Zundert AV, et al. BMJ 2000;321:1493-7.
- 3) 黒岩政之, 古家 仁, 瀬尾憲正, 入田和男, 澤 智博, 伊藤 誠, 他. 2004 年周術期肺塞栓症発症調査結果 からみた本邦における周術期肺血栓塞栓症発症頻 度とその特徴. 麻酔 2006;55:1031-8.
- 4) Reed KL, Fruin AB, Gower AC, Stucchi AF, Leeman SE, Becker JM. A neurokinin 1 receptor antagonist decreases postoperative peritoneal adhesion formation and increases peritoneal fibrinolytic activity. Proc Natl Acad Sci USA 2004;101:9115-20.
- 5) Graham GJ, Stevens JM, Page NM, Grant AD, Brain SD, Lowry PJ, et al. Tachykinins regulate the function of platelets. Blood 2004;104:1058-65.

- 6) Jones S, Tucker KL, Sage T, Kaiser WJ, Barrett NE, Lowry PJ, et al. Peripheral tachykinins and the neurokinin receptor NK1 are required for platelet thrombus formation. Blood 2008;111:605-12.
- 7) Zwaal RFA, Schroit AJ. Pathophysiologic implications of membrane phospholipid asymmetry in blood cells. Blood 1997:89:1121-32.
- 8) 東俊晴. 白血球 NK1 レセプターを介した神経キニンによる止血機能の修飾. 侵襲と免疫 2007; 16:123-30.
- 9) Azma T, Matsubara Y, Kinoshita H, Hidaka I, Shiraishi S, Nakao M, et al. Prothrombotic roles of substance-P, neurokinin-1 receptors and leukocytes in the platelet-dependent clot formation in whole blood. J Thromb Thrombolysis 2009;27:280-6.
- 10) Azma T, Matsubara Y, Yamasaki K, Matsumoto C, Nakao M, Hayashida M, et al. Whole Blood mRNA for Full-Length Neurokinin-1 Receptors in Patients with Chronic Pain Treated with Oral Opioids. In: 13th International Pain Clinic Congress World Society of Pain Clinicians. Bologna: Medimond; 2008.p.127-30.
- 11) Saleem A, Blifeld C, Saleh SA, Yawn DH, Mace ML, Schwarts M, et al. Viscoelastic measurement of clot formation: a new test of platelet function. Ann Clin Lab Sci 1983;13:115-24.

研究成果リスト

原著

1) <u>Azma T</u>, Matsubara Y, Kinoshita H, Hidaka I, Shiraishi S, Nakao M, et al. Prothrombotic roles of substance-P, neurokinin-1 receptors and leukocytes in the platelet-dependent clot formation in whole blood. J Thromb Thrombolysis 2009;27:280-6.

著書

- 2) <u>東俊晴</u>. 白血球 NK1 レセプターを介した神経キ ニンによる止血機能の修飾. 侵襲と免疫 2007; 16:123-30.
- 3) <u>Azma T</u>, Matsubara Y, Yamasaki K, Matsumoto C, Nakao M, Hayashida M, et al. Whole Blood mRNA for Full-Length Neurokinin-1 Receptors in Patients with Chronic Pain Treated with Oral Opioids. In: 13th International Pain Clinic Congress World Society of Pain Clinicians. Bologna: Medimond; 2008.p.127-30.

国内招聘

4) <u>東俊晴</u>. 痛みはどのような機構を介して止血機能 を亢進するか?日本麻酔科学会第55回学術集会. 横浜. 2008 年6月12日-14日.

海外学会発表

5) Azma T, Mastubara Y, Yamasaki K, Matsumoto C,

- Nakao M, Hayashida M, et al. Whole blood mRNA for full-length neurokinin-1 receptros in patients with chronic pain treated with oral opioids. 13th International Pain Clinic Congress World Society of Pain Clinicians. Seoul, Korea, 2008/5/29 6/1.
- 6) Azma T, Yamasaki K, Matsubara Y, Matsumoto C, Nakao M, Ariyama J, et al. Evaluation of acute inflammatory change in neuropathic pain by mRNA for truncated-and full-length neurokinin-1 receptors in whole blood. 12th World Congress on Pain. Glasgow, Scotland, UK, 2008/8/17–22.

国内学会発表

- 7) 東俊晴, 松原由紀, 小村智子, 白石成二, 中尾正和, 松本千香子. サブスタンスPはNK1受容体を介して 全血血液凝固を亢進する. 日本麻酔科学会第53回 学術集会. 神戸. 2006年6月1日-3日.
- 8) 東俊晴, 松原由紀, 白石成二, 中尾正和, 松本千香子, 小村智子. 周術期患者のサブスタンスPによる止血

- 機能亢進とNK1 受容体 mRNA の関係. 日本麻酔科学会第54 回学術集会. 札幌. 2007年5月31日-6月2日.
- 9) 東俊晴, 松原由紀, 中尾正和, 成田弥生, 塚本真規, 菊地博達. サブスタンスPによる止血機能亢進への 完全長 NK1 受容体 mRNA レベル変動の関与. 日本 麻酔科学会第 55 回学術集会. 横浜. 2008 年 6 月 12 日 - 6 月 14 日.
- 10)星島宏,<u>東俊晴</u>,塚本真規,佐藤栄留,岩瀬良範, <u>菊地博達</u>.出血傾向をともなわないAPTTの異常延 長を認めた緊急開腹症例に対する周術期輸血治療. 日本臨床麻酔学会第28回大会.京都.2008年11月 20日-22日.
- 11) 東俊晴,成田弥生,塚本真規,杉本由紀,中尾正和, <u>菊地博達</u>.サブスタンスPによる血小板凝固活性亢 進は白血球依存性に体温付近で増強する.日本麻 酔科学会第56回学術集会.神戸.2009年8月16日 -18日.

© 2009 The Medical Society of Saitama Medical University

http://www.saitama-med.ac.jp/jsms/

平成20年度 学内グラント報告書

未熟児新生児領域における中枢神経系合併症回避に向けた 新たな循環管理法の確立

研究代表者 石黒 秋生(埼玉医科大学 総合医療センター 新生児科) 研究分担者 伊藤 智朗*,星 礼一*,高山 千雅子*, 江崎 勝一*,國方 徹也*,鈴木 啓二*,

側島 久典*,田村 正徳*

緒言

未熟児,特に極低出生体重児は,出生直後より子宮外環境への突然の移行に加え,未熟性あるいは様々な合併症等から,特に超急性期と呼ばれる生後72時間内では,頭蓋内出血や虚血性低酸素性脳症などの頭蓋内病変の発症のリスクが高く,短期,長期予後に多大な影響を及ぼすことが知られている¹⁾.

現在NICUにおいては、呼吸心拍モニター、観血、非観血的動脈血圧測定、尿量測定、血中乳酸値測定、心エコー検査などを指標として、厳重な循環管理が行われているが、これらの循環指標を用いた循環管理により予後が改善したという明確な報告はない。そこで著者は、末梢循環の異常そのものが循環不全の原因となりうること、あるいは循環不全時に末梢循環に最も早期に変化が現れることに着目し、これらの児を主たる対象として、レーザードップラー装置を用いて末梢血流量の評価を行っている。これまでに、極低出生体重児の超急性期における生理的末梢血流の変化の特徴を明らかにし、末梢血流量が新たな循環指標の一つとして有用であることを報告してきた。

本研究報告では、医原性高体温が原因と考えられる 病的な循環動態の変動について評価したので報告 する.

材料と方法

2008年10月から2009年5月までに当院総合周産期母子医療センターNICUに入室した極低出生体重児に対して、両親の同意が得られ次第、前額部および右または左足背にレーザードップラー血流量計を装着、*埼玉医科大学総合医療センター新生児科

最低 48 時間の血流量測定を行った。このうち,生後 24 時間以内に高体温を来した症例 8 例を対象とした。さらに,連続した 2 ポイントで皮膚温 38 \mathbb{C} 以上の高体温が持続した症例を高体温持続群 (n=4), 1 ポイントのみ 38 \mathbb{C} 以上となりすぐに解熱した症例をコントロール群 (n=4) に分類し,高体温時および解熱時の心拍数,血圧,前額部および下肢末梢血流量の変化を比較検討した。

統計学的検討にはStudentのT検定を用いた. 有意水準はp<0.05とした.

結 果

患者背景を表1に示す. 高体温持続群において出生体重が大きい傾向があったが,在胎週数,カテコラミン投与量には有意な差を認めなかった. 研究期間中,対象時において敗血症など発熱の原因となりうる疾患の合併を認めなかった.

心拍数, 平均血圧の変化 心拍数

コントロール群, 高体温持続群ともに, 解熱に伴って心拍数の減少を認めた(コントロール群; 高体温時

表 1. 対象背景

	コントロール群	高体温持続群	p 値
症例数	4	4	
在胎週数(週)	29. 9 (26. 7-32. 3)	27. 5 (25. 4-29. 7)	0.12
出生体重(g)	823 (720-948)	1020 (906–1221)	0.04
カテコラミン投与量(γ)	5.1±6.2	3.6±2.8	0. 63

 168 ± 11 回/分,解熱時 156 ± 12 回/分;p = 0.047, 高体温持続群;高体温時174±7回/分,解熱時147± 11回/分;p = 0.02) (図1).

平均血圧

コントロール群では解熱に伴う血圧の変動を認め なかった(高体温時 40 ± 14 mmHg, 解熱時 40 ± 14 mmHg; p = 0.07). 高体温持続群では有意差を認めな かったものの全例で解熱に伴って平均血圧が上昇した (高体温時 34 ± 7 mmHg, 解熱時 40 ± 4mmHg; p = 0.06) (図2).

末梢血流量の変化

前額部血流量

コントロール群では解熱に伴う一定の血流量の変動 を認めなかった(高体温時 16.9 ± 2.4 ml / 分,解熱時 $18.5 \pm 2.5 \text{ ml } / \text{分}; p = 0.92)$. 一方,高体温持続群で は有意差を認めなかったものの全例で解熱に伴って血 流量が減少した(高体温時 16.9 ± 2.4 ml/分, 解熱時 $18.5 \pm 2.5 \,\text{ml}$ /分;p=0.29) (図3).

下肢末梢血流量

コントロール群においては解熱に伴う一定の血流量 の変動を認めなかった(高体温時 17.2 ± 2.8 ml/分, 解熱時 16.8 ± 2.5 ml /分;p = 0.58).一方,高体温持続 群においては有意差を認めなかったものの全例で解熱に 伴って血流量が減少した(高体温時27.2±10.3 ml/分. 解熱時 $18.2 \pm 5.5 \text{ ml } / \text{分}; p = 0.08$) (図4).

考察

コントロール群では、 高体温時に有意な心拍数増加 を認めたものの、平均血圧や末梢血流量に一定の変

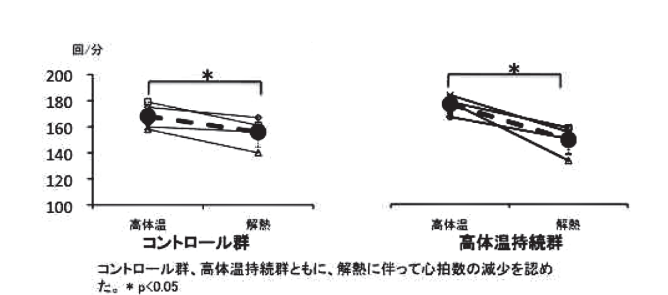
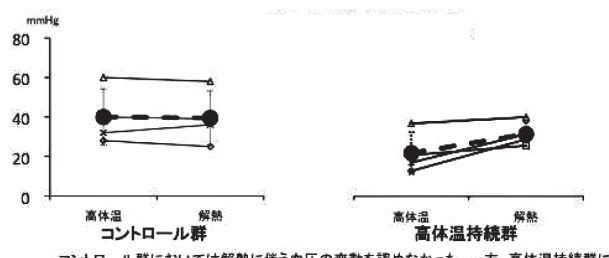


図1. 心拍数の変化.



トロール群においては解熱に伴う血圧の変動を認めなかった。一方、高体温持続群に いては有意差を認めなかったものの全例で解熱に伴って平均血圧が上昇した。 コントロール群においては解熱に伴う血圧の変動を認めなかった。

図2. 平均血圧の変化.

動は認められなかった. 一方, 高体温持続群では, 高 体温時に有意な心拍数増加を認め、また、全例で前 額および下肢末梢血流は増加し, 平均血圧は低下し ていた.

一般に,外的要因により体温が上昇すると,体温調 節中枢の働きにより体温を低下させる反応として、皮 膚血管拡張,発汗亢進,心拍数増加が引き起こされる.

体温が維持できなくなり高体温が持続するように なると,発汗および末梢血管拡張により,絶対的,相 対的循環血液量の減少をきたし低血圧となりうる. 本 研究において高体温持続群では、解熱とともに末梢血 流は減少し、同時に血圧はコントロール群と同レベル まで上昇していることから、 高体温時の血圧低下は、 発汗による水分喪失ではなく, 末梢血管拡張による相 対的循環血液量減少によるものであることが示唆さ れた.

高体温時に限らず、末梢血管の異常血管拡張による 循環不全は、極低出生体重児の超急性期における循環 不全の原因の一つと考えられている². Yanowitzら³は 絨毛羊膜炎合併母体から出生した児における異常な血 管拡張を伴う循環不全について報告している.

レーザードップラー装置により測定された末梢血流 量は、このような病態の評価に有用な指標となりうる と考えられる.

今回の研究では、レーザードップラー装置により末 梢血流量の変化を鋭敏にとらえることが可能であり、 末梢血流量が循環不全の病態をより詳細に評価する上 で有用な指標となりうることが示された. 今後, 循環 不全児の末梢血流に関するデータを蓄積して従来の循

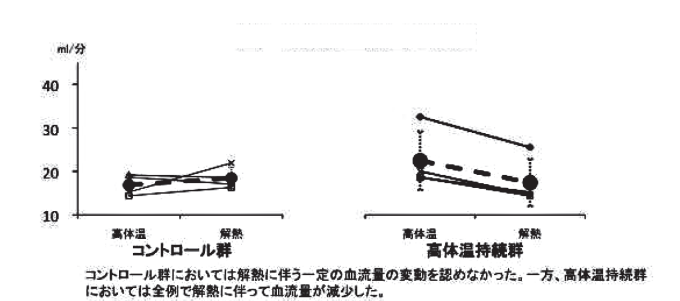


図3. 前額部血流量の変化.

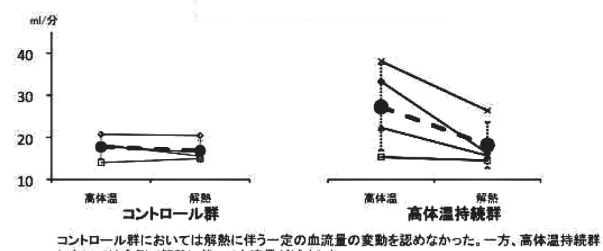


図4.下肢末梢血流量の変化.

環パラメータとの関連を明らかにし、新たな循環モニタリングシステムの構築を目指す.

参考文献

- 1) Seri I, Evans J. Controversies in the diagnosis and management of hypotension in the newborn infant. Curr Opin Pediatr. 2001;13:116-23.
- 2) Seri I. Systemic and pulmonary effects of
- vasopressors and inotropes in the neonate. Biol Neonate 2006;89:340-2.
- 3) Yanowitz TD, Jordan JA, Gilmour CH, Towbin R, Bowen A, Roberts JM, Brozanski BS. Hemodynamic disturbances in premature infants born after chorioamnionitis: association with cord blood cytokine concentrations. Pediatr Res. 2002;51:310-6.

© 2009 The Medical Society of Saitama Medical University http://www.saitama-med.ac.jp/jsms/